

UNIVERZA V LJUBLJANI
BIOTEHNIŠKA FAKULTETA
ODDELEK ZA BIOLOGIJO

Brigita NOGRAŠEK

**MIKROBIOLOŠKO-GENETSKA ANALIZA ČREVESNE VSEBINE
KOPENSKEGA RAKA ENAKONOŽCA *Porcellio scaber***

DIPLOMSKO DELO
Univerzitetni študij

**MICROBIOLOGICAL AND GENETIC ANALYSIS OF INTESTINE
CONTENT OF TERRESTRIAL ISOPOD CRUSTACEAN
*Porcellio scaber***

GRADUATION THESIS
University studies

Ljubljana, 2010

Diplomsko delo je zaključek Univerzitetnega študija biologije. Opravljeno je bilo na Katedri za molekularno genetiko in biologijo mikroorganizmov Oddelka za biologijo Biotehniške fakultete Univerze v Ljubljani.

Študijska komisija Oddelka za biologijo je za mentorico diplomskega dela imenovala doc. dr. Jernejo Ambrožič Avguštin in recenzenta prof. dr. Miklavža Grabnarja.

Komisija za oceno in zagovor:

Predsednik: doc. dr. Rok Kostanjšek
Univerza v Ljubljani, Biotehniška fakulteta, Oddelek za biologijo

Članica: doc. dr. Jerneja Ambrožič Avguštin
Univerza v Ljubljani, Biotehniška fakulteta, Oddelek za biologijo

Član: prof. dr. Miklavž Grabnar
Univerza v Ljubljani, Biotehniška fakulteta, Oddelek za biologijo

Podpisana se strinjam z objavo svoje naloge v polnem tekstu na spletni strani Digitalne knjižnice Biotehniške fakultete. Izjavljam, da je naloga, ki sem jo oddala v elektronski obliki, identična tiskani verziji.

Datum zagovora:

Naloga je rezultat lastnega raziskovalnega dela.

Brigita Nograšek

KLJUČNA DOKUMENTACIJSKA INFORMACIJA

ŠD Dn
DK UDK 579:575:595.3(043.2)=163.6
KG kopenski raki enakonožci / mikrobiota prebavil / 16S rRNA / celulaze / hitinaze /
Stenotrophomonas sp. / hemolizin
AV NOGRAŠEK, Brigita
SA AMBROŽIČ AVGUŠTIN Jerneja (mentorica)
KZ SI-1000 Ljubljana, Večna pot 111
ZA Univerza v Ljubljani, Biotehniška fakulteta, Oddelek za biologijo
LI 2010
IN MIKROBIOLOŠKO-GENETSKA ANALIZA ČREVESNE VSEBINE
KOPENSKEGA RAKA ENAKONOŽCA *Porcellio scaber*
TD Diplomsko delo
OP XII, 73 str., 10 pregl., 9 sl., 4 pril., 90 vir
IJ sl
JI sl / en
AI Iz vzorcev vsebine prebavnega trakta smo na prilagojenih in redčenih gojiščih za izolacijo mikoplazem poskušali osamiti predstavnike nedavno opisanih paličastih bakterij '*Candidatus Bacilloplasma*', ki so pritrjene na kutikularne trne papilatne regije zadnjega dela črevesa navadnega prašička (Crustacea, Isopoda, *Porcelio scaber*). Pri padnikov mikoplazem nismo uspeli vzgojiti, smo pa osamili vrsto zanimivih bakterijskih izolatov, domnevno predstavnikov indigene mikrobiote. S primerjalno analizo nukleotidnih zaporedij genov za 16S rRNA smo izolate uvrstili v tri bakterijska debla (*Proteobacteria*, *Actinobacteria* in *Firmicutes*) in znotraj teh v 10 rodov. Ugotovili smo, da večina sevov slabo ali sploh ne raste pri 37°C, da so širje sevi fotokromogeni in da večina izolatov razgrajuje CMC-celulozo, en izolat pa tudi hitin. Pri dveh sevih smo odkrili hemolitično aktivnost in genski zapis, ki hemolizin kodira pri sevu *Stenotrophomonas* sp. P7a-A1, molekulsко klonirali in ga opredelili. Ugotovili smo, da nobeden od kloniranih odprtih bralnih okvirjev ni podoben že opisanim hemolizinom, s subkloniranjem in aktivnostnimi testi pa smo pokazali, da hemolitično aktivnost posreduje dva oz. trije od 12 *orf*. Preučili smo tudi občutljivost oz. odpornost izolatov na nekatere antibiotike in ugotovili, da so izolati iz rodov *Stenotrophomonas* in *Ochrobactrum* odporni proti večini testiranih antibiotikov, izolati iz rodov *Enhydrobacter* in *Microbacterium* pa nasprotno občutljivi za vse oz. večino antibiotikov. Vsi izolati so občutljivi za rifampin.

KEY WORDS DOCUMENTATION

DN Dn
DC UDC 579:575:595.3 (043.2)=163.6
CX terrestrial isopod crustacean / intestine microbiota / 16S rRNA / cellulase / chitinase / *Stenotrophomonas* sp. / hemolysin
AU NOGRAŠEK, Brigita
AA AMBROŽIČ AVGUŠTIN, Jerneja (supervisor)
PP SI-1000 Ljubljana, Večna pot 111
PB University of Ljubljana, Biotechnical Faculty, Department of Biology
PY 2010
TI MICROBIOLOGICAL AND GENETIC ANALYSIS OF INTESTINE
CONTENT OF TERRESTRIAL ISOPOD CRUSTACEAN *Porcellio scaber*
DT Graduation Thesis (University studies)
NO XII, 73 p., 10 tab., 9 fig., 4 ann., 90 ref.
LA sl
AL sl / en
AB Samples from the gastrointestinal tract contents were used for isolation attempts of recently described rod-shaped bacteria '*Candidatus Bacilloplasma*' that attach to the cuticular spines of the papillate region of the *Porcelio scaber* (Crustacea, Isopoda) hindgut. Since these bacteria were affiliated to the microbial group of mycoplasmas, adapted and diluted media for isolation of mycoplasmas were used. The isolation of mycoplasmas was not successful, however, other interesting bacterial isolates, apparently members of the indigenous microbiota, were recovered. The isolates were identified as members of 10 different microbial genera belonging to three bacterial phyla (*Proteobacteria*, *Actinobacteria*, and *Firmicutes*) by comparative sequence analysis of 16S ribosomal RNA genes. Most of the isolated strains grew poorly or not at all at 37°C, four of them were photochromogenic, and most of them hydrolyzed CMC-cellulose. One isolate hydrolyzed chitin, too. Two isolates were found to possess hemolytic activity and the gene, coding for the hemolysis in *Stenotrophomonas* sp. P7a-A1 was cloned and sequenced. None of the identified open reading frames was found to be similar to already known hemolysins, however, subcloning and subsequent activity tests showed that two or three of the identified *orf*'s confer hemolytic activity. Susceptibility and resistance towards antibiotic drugs was tested too and isolates from the genera *Stenotrophomonas* and *Ochrobactrum* were found to be resistant to most of the used antibiotics. In contrast, isolates from the genera *Enhydrobacter* and *Microbacterium* were susceptible to most of the used antibiotics. All of them were susceptible to rifampin, however.

KAZALO VSEBINE

KLJUČNA DOKUMENTACIJSKA INFORMACIJA	III
KEY WORDS DOCUMENTATION	IV
KAZALO VSEBINE	V
KAZALO PREGLEDNIC	VIII
KAZALO SLIK	IX
KAZALO PRILOG	X
OKRAJŠAVE IN SIMBOLI	XI
1 UVOD	1
2 PREGLED OBJAV	2
2.1 NAVADNI PRAŠIČEK (<i>Porcellio scaber</i>)	2
2.2 ZGRADBA PREBAVILA IN PREBAVA <i>P. scaber</i>	3
2.3 MIKROORGANIZMI V PREBAVILIH KOPENSKIH ENAKONOŽCEV	5
2.3.1 Bakterije v prebavilih	6
2.3.2 Mikroorganizmi v prebavnih žlezah	8
2.4 NOVI NAČINI IZOLACIJE MIKROORGANIZMOV IZ OKOLJA	8
3 MATERIALI IN METODE	10
3.1 POSKUSNE ŽIVALI	10
3.2 IZOLACIJA BAKTERIJ IN GOJENJE ČISTIH KULTUR	10
3.3 FENOTIPSKA OPREDELITEV BAKTERIJSKIH IZOLATOV	12
3.3.1 Barvanje po Gramu	12
3.3.2 Rast pri temperaturi 37°C	12
3.3.3 Fotokromogenost	13
3.3.4 Hemolitična aktivnost	13
3.3.5 Celulazna in hitinolitična aktivnost	13
3.3.6 Občutljivost za protimikrobne snovi	14
3.4 IZOLACIJA KROMOSOMSKE DNA	14
3.5 POMNOŽEVANJE 16S rDNA V VERIŽNI REAKCIJI S POLIMERAZO (PCR)	15
3.6 HORIZONTALNA AGAROZNA GELSKA ELEKTROFOREZA PRODUKTOV VERIŽNE REAKCIJE S POLIMERAZO	16

3.7	UGOTAVLJANJE NUKLEOTIDNEGA ZAPOREDJA GENA OZ. DELA GENA ZA 16S rRNA	17
3.8	GENETSKA OPREDELITEV ZAPISA ZA HEMOLITIČNO AKTIVNOST BAKTERIJSKEGA IZOLATA <i>Stenotrophomonas</i> sp. P7a-A1	18
3.8.1	Kloniranje	18
3.8.2	Restrikcija plazmidnega vektorja pUC19 in kromosomske DNA	18
3.8.3	Ligacija	19
3.8.4	Priprava kompetentnih celic <i>E. coli</i> DH5	19
3.8.5	Transformacija	19
3.8.6	Izolacija plazmidne DNA s CTAB in Tritonom X-100 (Del Sal in sod., 1988)	20
3.8.7	Restrikcija plazmidne DNA	20
3.8.8	Ugotavljanje nukleotidnega zaporedja DNA vključka pHEM	21
3.8.9	Subkloniranje	22
3.8.9.1	Priprava plazmidne DNA klena pHEM	22
3.8.9.2	Restrikcija 11,3 kbp DNA fragmenta	22
3.8.9.3	Ligacija, transformacija in ugotavljanje velikosti vključka DNA	24
3.9	GOJIŠČA, RAZTOPINE, PUFRI, ENCIMI	25
3.9.1	Gojišča	25
3.9.2	Raztopine, pufri, encimi	28
3.9.2.1	Barvanje po Gramu	28
3.9.2.2	Celulazna aktivnost	29
3.9.3	Kemikalije, pufri in encimi za izolacijo DNA	29
3.9.3.1	Izolacija kromosomske DNA	29
3.9.3.2	Izolacija plazmidne DNA	30
3.9.4	Kemikalije za verižno reakcijo s polimerazo (PCR)	30
3.9.5	Horizontalna agarozna gelska elektroforeza	30
3.9.6	Kemikalije, encimi in pufri, ki smo jih uporabili za kloniranje in subkloniranje zapisa za hemolitično aktivnost seva	
	<i>Stenotrophomonas</i> sp. P7a-A1	31
3.10	BAKTERIJSKI SEVI	33
4	REZULTATI	34

4.1	IZOLACIJA BAKTERIJ IN GOJENJE ČISTIH KULTUR	34
4.2	IDENTIFIKACIJA BAKTERIJSKIH IZOLATOV	36
4.3	FENOTIPSKA OPREDELITEV BAKTERIJSKIH IZOLATOV	41
4.3.1	Rast pri temperaturi 37°C	41
4.3.2	Fotokromogenost	41
4.3.3	Hemolitična aktivnost	44
4.3.4	Celulazna in hitinolitična aktivnost	44
4.3.5	Občutljivost za protimikrobne snovi	46
4.4	GENETSKA OPREDELITEV ZAPISA ZA HEMOLITIČNO AKTIVNOST IZOLATA <i>Stenotrophomonas P7A-A1</i>	48
4.4.1	Kloniranje in analiza nukleotidnega zaporedja regije, ki kodira hemolitično aktivnost	48
4.4.2	Subkloniranje	52
5	RAZPRAVA IN SKLEPI	55
5.1	RAZPRAVA	55
5.1.1	Izolacija in identifikacija bakterijskih izolatov	55
5.1.2	Fenotipska opredelitev bakterijskih izolatov	56
5.1.3	Celulolitična aktivnost	57
5.1.4	Hitinolitična aktivnost	58
5.1.5	Hemolitična aktivnost	59
5.1.6	Občutljivost protimikrobne snovi	61
5.2	SKLEPI	62
6	POVZETEK	63
7	VIRI	66
	ZAHVALA	
	PRILOGE	

KAZALO PREGLEDNIC

str.

Preglednica 1: Bakterije v prebavilu kopenskih rakov enakonožcev	5
Preglednica 2: Gojišča, ki smo jih uporabili za izolacijo bakterij iz različnih vzorcev zadnjega črevesa sedmih kopenskih rakov enakonožcev <i>P. scaber</i>	11
Preglednica 3: Začetni oligonukleotidi, uporabljeni v PCR in reakcijah ugotavljanja nukleotidnega zaporedja	16
Preglednica 4: Uporabljene restriktaze, organizmi, od koder so bile izolirane, restriktijska mesta, tip koncov, ki nastanejo po restrikciji in pripadajoči pufri	23
Preglednica 5: Sestava gojišč za izolacijo bakterij, ki so temeljila na gojišču za mikoplazme (MBB)	26
Preglednica 6: Aerobni izolati iz zadnjega črevesa <i>P. scaber</i> , ter Makromorfološki opis domnevno čistih kultur	35
Preglednica 7: Aerobni izolati iz zadnjega črevesa navadnega prašička <i>P. scaber</i> , gojišče, s katerega so bili izolirani, uvrstitev v taksonomsko kategorijo	38
Preglednica 8: Pigmentiranost kolonij, rezultati barvanja po Gramu, mikromorfološki opis, rast pri temperaturi 37°C ter hemolitična, celulolitična in hitinolitična aktivnost bakterijskih izolatov iz navadnega prašička (<i>P. scaber</i>)	43
Preglednica 9: Občutljivost za protimikrobne snovi bakterijskih izolatov iz zadnjega črevesa navadnega prašička (<i>P. scaber</i>)	47
Preglednica 10: Analiza 11239 bp dolgega nukleotidnega zaporedja pHEM	50

KAZALO SLIK

Slika 1:	Prebavilo navadnega prašička (<i>Porcellio scaber</i>)	4
Slika 2:	Fotokromogenost bakterijskih izolatov iz črevesa navadnega prašička (<i>P. scaber</i>)	42
Slika 3:	Celulazna aktivnost bakterijskih izolatov iz črevesa navadnega prašička (<i>P. scaber</i>)	45
Slika 4:	Sposobnost razgradnje hitina bakterijskega izolata <i>Stenotrophomonas</i> sp. P4-X3	46
Slika 5:	Plazmidni vektor pUC19 z 11,3 kbp dolgim vključkom kromosomske DNA izolata <i>Stenotrophomonas</i> sp. P7a-A1	48
Slika 6:	Elektroforetska ločitev fragmentov plazmidne DNA klona pHEM po restrikciji z restriktazo <i>PstI</i>	49
Slika 7A:	Predvideni odprti bralni okvirji DNA vključka pHEM	51
Slika 7B :	Shematski prikaz subkloniranja 11,3 kbp DNA fragmenta	51
Slika 8:	Elektroforetska ločitev fragmentov DNA, nastalih po restrikciji z ustreznimi restriktazami oz. pari restriktaz	52
Slika 9:	Hemoliza klona pHEM in subklonov pTAP ter pLIP na krvnem agarju z Ap	53

KAZALO PRILOG

- Priloga A1:** Nukleotidno zaporedje gena za 16S rRNA bakterijskih izolatov, ugotovljeno s parom začetnih oligonukleotidov fD1/1392r
- Priloga A2:** Nukleotidno zaporedje gena za 16S rRNA bakterijskih izolatov, ugotovljeno z začetnim oligonukleotidom fD1
- Priloga B:** Nukleotidno zaporedje 11,3 kbp dolgega fragmenta klena pHEM
- Priloga C:** Plazmidni vektor pUC19

OKRAJŠAVE IN SIMBOLI

Ap	antibiotik ampicilin
BLAST	Basic Local Alignment Search Tool
bp	bazni par
CH	hitin (<i>angl.</i> chitin)
CIP	antibiotik ciprofloxacin
CMC	karboksimetil celuloza (<i>angl.</i> carboxymethylcellulose)
CTAB	heksadeciltrimetilamonijev bromid
DNA	deoksiribonukleinska kislina (<i>angl.</i> deoxyribonucleic acid)
E	antibiotik eritromicin
EDTA	etilendiaminetetraocetna kislina (<i>angl.</i> ethylenediaminetetraacetic acid)
EtBr	etidijev bromid
EtOH	etanol
KA	krvni agar
KS	konjski serum
LB	Luria-Bertani
MBB	gojišče za mikoplazme (<i>angl.</i> mycoplasma broth base)
MBB+J	gojišče za mikoplazme z jajcem
MH	Mueller-Hinton
NCBI	National Centre for Biotechnology Information
orf	odprt bralni okvir (<i>angl.</i> open reading frame)
P	antibiotik penicilin
PCR	verižna reakcija s polimerazo (<i>angl.</i> polymerase chain reaction)
RA	antibiotik rifampin
RDP II.10	Ribosomal Database Project II, Release 10
RNA	ribonukleinska kislina (<i>angl.</i> ribonucleic acid)
rRNA	ribosomska RNA (<i>angl.</i> ribosomal RNA)
S	antibiotik streptomicin
SDS	natrijev dodecil sulfat (<i>angl.</i> sodium dodecylsulphate)
TBE	tris-borat-EDTA
TE	tris-EDTA

Tris tris(hidroksimetil)-aminometan

TMP antibiotik trimetoprim

UV ultravijolična svetloba

X-Gal 5-bromo-4-kloro-3-indolil- β -D-galaktozid

1 UVOD

Kopenski raki enakonožci, med njimi tudi navadni prašiček (*Porcellio scaber*) so pogosti in splošno razširjeni predstavniki talne makrofavne, katerih osnovna biologija je dobro poznana. V zmernih klimatih so pogosto dominantna komponenta združbe primarnih razkrojevalcev in imajo pomembno vlogo pri razgradnji rastlinskega materiala in kroženju snovi.

Kopenski raki enakonožci so rastlinojedi in se večinoma prehranjujejo z odmrlimi organskimi snovmi rastlinskega izvora, ki so bogate s celulozo in drugimi težko razgradljivimi polisaharidi. Za razliko od termitov in ščurkov, kjer avtohtoni simbiontski mikroorganizmi omogočajo razkroj lignoceluloze, cevasto prebavilo kopenskih enakonožcev nima predelov, kjer bi se hrana zadrževala dalj časa. Zato nekateri avtorji domnevajo, da v prebavilu navadnih prašičkov ne živi simbiontska avtohtonata mikrobiota. Hepatopankreas je edini del prebavila, ki ga kopenski raki enakonožci ne levijo in je zato primerno mesto za razvoj mikrobne združbe, ki bi lahko s svojo celulolitično aktivnostjo pomembno prispevala pri razgradnji strukturnih polisaharidov.

Pozornost raziskovalcev so pritegnile paličaste bakterije v papilatni regiji, ki so s konci pritrjene na kutikularne trne stene zadnjega črevesa. Z molekularnim pristopom so avtorji ugotovili, da le-te tvorijo samostojno skupino v redu *Mycoplasmatales*. Zaradi njihovih morfoloških značilnosti in filogenetske pozicije je bilo zanje predlagano ime '*Candidatus Bacilloplasma*' (Kostanjšek in sod., 2007).

Ker razen filogenetsko taksonomskeh in morfoloških podatkov o omenjenih mikoplazmah ne vemo ničesar, smo nameravali v tej nalogi s tradicionalnimi mikrobiološkimi metodami, ki temeljijo na osamitvi in gojenju mikroorganizmov, ter uporabo različnih bogatitvenih gojišč, iz zadnjega črevesa kopenskega raka enakonožca izolirati paličaste mikoplazme in jih fenotipsko in genotipsko preučiti.

2 PREGLED OBJAV

2.1 NAVADNI PRAŠIČEK (*Porcellio scaber*)

Enakonožci (*Isopoda*) sodijo med ekološko najpestrejše skupine rakov in so razširjeni po vsem svetu. Znanih je več kot 10000 vrst, med katerimi jih večina živi v morju in celinskih vodah. Več kot tretjina vrst - približno 3500 - je uspešno poselila kopensko okolje (zbral Ramel, 2010). Ti spadajo v skupino t.i. kopenskih enakonožcev (*Isopoda*, *Oniscidea*), kamor sodi tudi zelo razširjena in najbolj znana med sinatropnimi vrstami, t.j. navadni oz. kletni prašiček (*Porcellio scaber*). Čeprav poseljuje različne biotope, je njegovo življenjsko okolje pogosto vezano na bližino človeških bivališč, zato ga človek nehote razširja po celem svetu. Veliko jih živi v tleh, zlasti v gozdni stelji, kjer imajo pomembno vlogo pri predelavi odpadlega listja v humus (Sket in sod., 2003).

Značilno zanj je široko in nekoliko plosko telo brez koša, s sedmimi pari paličastih nog hodilk in listastimi zadkovimi nožicami, ki služijo kot dihalo. Telo navadnih prašičkov je izrazito obokano z navzdol upognjenimi bočnimi ploščami, epimerami, ki prekrivajo tudi noge. Obokana telesna oblika zmanjša izhlapevanje vode skozi kožo in preprečuje izsušitev telesa (Sket in sod., 2003).

Kopenski enakonožci so rastlinojedi in se večinoma prehranjujejo z odmrlimi rastlinami, glivami in algami, obenem pa aktivno in učinkovito sodelujejo pri razgrajevanju organskih snovi, zato so pomembni v procesu kroženja energije in organskih snovi v kopenskih okoljih (Hopkin, 1991; Zimmer in Topp, 1997). Zaradi pomembne vloge v ekosistemu, pa tudi zaradi njihove sposobnosti preživetja v onesnaženih okoljih, so strokovnjaki precejšnji delež raziskav namenili prav njim. Vrste, kot sta navadni prašiček (*Porcellio scaber*) in pozidni prašiček (*Oniscus asellus*), sodijo med najbolj raziskane organizme v kopenski ekofiziologiji in ekotoksikologiji (Hopkin, 1989; Drobne, 1997) (povzeto po Kostanjšek in sod., 2006).

Njihove prehranjevalne navade so raznolike, tako med kopenskimi enakonožci najdemo tudi koprophage, občasno pa naletimo tudi na kanibalizem (Carefoot, 1993; Slavecz in Maiorana, 1998) (povzeto po Kostanjšek in sod., 2006)

Vloga izopodov kot organizmov, ki učinkovito razgrajujejo organske snovi, je v kopenskih okoljih predvsem posredna. Z mehanskim drobljenjem rastlinskih ostankov povečujejo aktivno površino za poselitev mikrobov. Z izbrano hrano v telo pridobijo nove mikroorganizme, s čimer se poveča število le-teh v njihovih prebavilih, sodelujejo pa tudi pri razporeditvi mikroorganizmov v kopenskem ekosistemu (Hanlon 1981a; Hassall in sod, 1987; Neuhauser in Hartenstein 1978; Gunnarsson in sod. 1988; van Wensem in sod 1993). Zaužite mikroorganizme koristno izrabljajo kot vir hranljivih snovi, encimov in vitaminov (Neuhauser in sod, 1974; Hassall in Jennings, 1975; Neuhauser in Hartenstein, 1976; Kozlovskaia in Striganova, 1977; Kaplan in Hartenstein, 1978; Carefoot, 1984; Gunnarsson in Tunlid, 1986; Kukor in Martin, 1986; Ullrich in sod., 1991) (povzeto po Kostanjšek in sod., 2006).

2.2 ZGRADBA PREBAVILA IN PREBAVA *P. scaber*

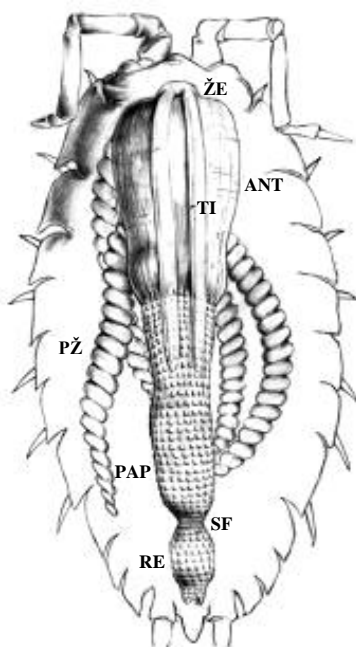
Tridelni prebavni sistem kopenskih enakonožcev (**Slika 1**) sestavlja kratko sprednje črevo (*stomodeum*), ki obsega požiralnik (*oesophagus*) in mišičasti želodec (*proventriculus*), endodermalno srednje črevo, katerega glavni del predstavlja prebavne žleze (*hepatopancreas*), ter cevasto zadnje črevo (*proktodeum*), ki zavzema skoraj 90% dolžine črevesa. Slednjemu pripadata dva anatomska in funkcionalno različna dela; sprednji del ali anteriorna regija ter srednji del oziroma papilatna regija, ki se zaključi s sfinktrom, za katerim leži kratek rektum z anusom (Hopkin in Martin, 1984). Dorzalno v anteriorni regiji črevesa poteka vzdolžni tiflosolis, sestavljen iz osrednje gube in dveh lateralnih kanalov. Tiflosolis je anteriorno povezan z želodcem, posteriorno pa sega do papilatne regije (Hames in Hopkin, 1989). Hepatopankreas je sestavljen iz dveh parov zaprtih cevi, ki ležita ob zadnjem črevesu in se odpirata v želodec. Prebavne žleze potekajo ob črevesu in se slepo končajo na distalnem delu. Sprednje in zadnje črevo sta prekrita s kutikulo, ki jo živali pogosto levijo (povzeto po Kostanjšek, 2002).

Glavni del prebave poteka v anteriorni regiji, v katero vstopa predhodno mehansko obdelana hrana prepojena z encimi. Prebavljena hrana potuje iz anteriorne regije po tiflosolisu nazaj v želodec, od tam pa v srednje črevo, kjer se absorbira. Neprebavljena hrana nadaljuje pot skozi papilatno regijo (kjer poteka absorbcija vode, ionov in ostankov

hranil) do rektuma kjer se oblikujejo iztrebki, ki jih žival izloči skozi anus (povzeto po Kostanjšek in sod., 2000).

Morfološke značilnosti prebavila enakonožcev ter prisotnost zračnih mehurčkov, ki so ujeti med delce hrane, kažejo na aerobno okolje v prebavilu. Molekularne študije strukture mikrobne združbe v prebavnem traktu *P. scaber*, t.j. pomnoževanje, kloniranje, sekvenciranje in analiza bakterijskih genov za 16S rRNA pa so potrdila prisotnost tudi anaerobnih bakterij v črevesu (Kostanjšek in sod., 2002).

Posebnost prebavila kopenskih enakonožcev je vzdrževanje podobnih kemijskih razmer v različnih delih prebavila. Stopnje pH vrednosti nihajo od kislosti v žlezah srednjega črevesa in anteriorne regije do rahle kislosti v papilatni regiji. Te majhne razlike v vrednostih pH pa omogočajo delovanje prebavnih encimov tudi v pankreasu in papilatni regiji (Zimmer in Topp, 2002). Kopenski izopodi proizvajajo prebavne sokove v hepatopankreasu, ki je osrednji organ presnove in opravlja funkcije absorpcije, skladiščenja in izločanja (Zimmer, 2002).



Slika1: Prebavilo navadnega prašička (*P. scaber*) (ŽE...želodec; ANT... anteriorna regija; TI... tiflosolis; PŽ... prebavne žleze; PAP...papilatna regija; SF... sfinkter; RE...rektum) (povzeto po Kostanjšek in sod., 2006)

2.3 MIKROORGANIZMI V PREBAVILIH KOPENSKIH ENAKONOŽCEV

Kot pri ostalih členonožcih je tudi pri kopenskih izopodih sprednje črevo bolj redko poseljeno z mikroorganizmi. Povsem drugače je z mikrobioto v cevastem zadnjem črevesu, ki je zelo bogata in raznolika, še posebno v predelu papilatne regije (Bignell 1984; Drobne 1995; Kostanjšek in sod. 2003). Kopenski izopodi raje izbirajo v snovi, ki so bogato poseljene z mikroorganizmi (Soma in Saito 1983; Gunnarsson 1987; Zimmer in sod. 1996). Del zaužitih mikroorganizmov, predvsem gliv in po Gramu negativnih bakterij, se prebavi že med potjo čez prebavni sistem (Reyes in Tiedje 1976b; Coughtrey in sod 1980; Hanlon in Anderson 1980; Hanlon 1981b; Gunnarsson in Tunlid 1986; Clegg in sod 1994, 1996; Kayang in sod 1994; Zimmer in Topp 1998b; Kostanjšek 2002), ugodne razmere v zadnjem črevesu pa omogočijo razmnoževanje bakterij.

Preglednica 1: Bakterije v prebavilu kopenskih rakov enakonožcev (povzeto po Kostanjšek in sod., 2006)

Preglednica 1 se nadaljuje na naslednji strani.

Bakterija	Č	ŽS	I	Vrsta enakonožca	Vir
<i>Aeromonas</i> sp.	-	+	-	<i>Porcellio scaber</i>	Ullrich in sod. (1993)
<i>Acinetobacter calcoaceticus</i>	-	-	-	<i>Oniscus asellus</i>	Ullrich in sod. (1991)
<i>Arthrobacter</i> sp.	+	-	+	<i>Oniscus asellus</i>	Ullrich in sod. (1991)
<i>Azotobacter agilis</i>	+	-	-	<i>Oniscus asellus</i>	Beerstecher in sod. (1954)
<i>Bacillus</i> sp.	+	-	-	<i>Porcellio scaber</i>	Kostanjšek in sod. (2002)
<i>Bacillus cereus</i>	+	-	-	<i>Porcellio scaber</i>	Jorgensen in sod. (1997)
		+		<i>Porcellio scaber</i>	Margulis in sod. (1998)
<i>Bacteroides</i> sp.	+	-	-	<i>Porcellio scaber</i>	Kostanjšek in sod. (2002)
<i>Chromobacterium violaceum</i>	-	-	+	<i>Oniscus asellus</i>	Ullrich in sod. (1991)
<i>Citrobacter freundii</i>	-	+	-	<i>Oniscus asellus</i>	Ullrich in sod. (1993)
		+		<i>Porcellio scaber</i>	Ullrich in sod. (1993)
<i>Corynebacteriaceae</i>	+	-	+	<i>Oniscus asellus</i>	Ullrich in sod. (1991)
<i>Corynebacterium</i> sp.	+	-	-	<i>Oniscus asellus</i>	Ineson in Anderson (1985)
<i>Cytophaga</i> sp.	-	-	+	<i>Oniscus asellus</i>	Hassall in sod. (1987)
		+		<i>Porcellio scaber</i>	Hassall in sod. (1987)
		+		<i>Armadillidium vulgare</i>	Hassall in sod. (1987)
<i>Desulphotomaculum ruminis</i>	+	-	-	<i>Porcellio scaber</i>	Lapanje in sod. (2003); Kostanjšek in sod. (2004a)
<i>Enterobacteriaceae</i>		+	-	<i>Oniscus asellus</i>	Ullrich in sod. (1991)
<i>Enterobacter agglomerans</i>	+		-	<i>Oniscus asellus</i>	Griffiths in Wood (1985)
		+	-	<i>Porcellio scaber</i>	Ullrich in sod. (1993)
<i>Enterobacter intermedium</i>	-	+	-	<i>Porcellio scaber</i>	Ullrich in sod. (1993)
<i>Enterococcus faecium</i>	+	-	-	<i>Porcellio scaber</i>	Kostanjšek in sod. (2002)
<i>Enterococcus</i> sp.	+	-	-	<i>Porcellio scaber</i>	Kostanjšek in sod. (2002)
<i>Flavobacterium</i> sp.	+	-	+	<i>Tracheoniscus rathkei</i>	Reyes in Tidje (1976)
<i>Klebsiella pneumoniae</i>	+		+	<i>Oniscus asellus</i>	Ineson in Anderson (1985)
		+		<i>Porcellio scaber</i>	Ullrich in sod. (1993)
<i>Micrococcaceae</i>	+	-	-	<i>Oniscus asellus</i>	Ullrich in sod. (1991)

Bakterija	Č	ŽS	I	Vrsta enakonožca	Vir
<i>Mollicutes</i>	+	+	+	<i>Porcellio scaber</i>	Kostanjšek (2002); Kostanjšek in sod. (2004a)
<i>Mycobacteriaceae</i>	-	-	+	<i>Oniscus asellus</i>	Ullrich in sod. (1991)
<i>Neisseria</i> sp.	+	-	-	<i>Porcellio scaber</i>	Kostanjšek in sod. (2002)
<i>Paracoccus</i> sp.	+	-	-	<i>Porcellio scaber</i>	Kostanjšek in sod. (2006)
<i>Plesiomonas</i>	+	-	-	<i>Oniscus asellus</i>	Griffiths in Wood (1985)
<i>Pseudomonadaceae</i>	+	-	+	<i>Oniscus asellus</i>	Ullrich in sod. (1991)
<i>Pseudomonas fluorescens</i>	+	-	-	<i>Oniscus asellus</i>	Griffiths in Wood (1985)
<i>Pseudomonas</i> sp.	+		-	<i>Porcellio scaber</i>	Kostanjšek in sod. (2002)
	+			<i>Tracheoniscus rathkei</i>	Reyes in Tidje (1976a)
			+	<i>Porcellio scaber</i>	Kostanjšek (2002)
<i>Rhabdochlamydia porcellionis</i>		+		<i>Porcellio scaber</i>	Kostanjšek in sod. (2004b)
<i>Shevanella</i> sp.	+	-	-	<i>Porcellio scaber</i>	Kostanjšek in sod. (2006)
<i>Spirilaceae</i>	-	-	+	<i>Oniscus asellus</i>	Ullrich in sod. (1991)
<i>Streptomyces humidus</i>	-	-	+	<i>Protracheoniscus amoneus</i>	Márialigeti in sod. (1984)
<i>Streptomyces moderatus</i>	-	-	+	<i>Protracheoniscus amoneus</i>	Márialigeti in sod. (1984)
<i>Streptomyces nodosus</i>	-	-	+	<i>Protracheoniscus amoneus</i>	Márialigeti in sod. (1984)
<i>Streptomyces pluricolorescens</i>	-	-	+	<i>Protracheoniscus amoneus</i>	Márialigeti in sod. (1984)
<i>Streptomyces spadicis</i>	-	-	+	<i>Protracheoniscus amoneus</i>	Márialigeti in sod. (1984)

Č... črevo, ŽS...žleze srednjega črevesa, I...iztrebki;

2.3.1 Bakterije v prebavilih

Čeprav nekateri raziskovalci menijo, da večino bakterij v prebavilih navadnega prašička predstavljajo predvsem tiste bakterije, ki jih žival zaužije s hrano, ostaja dejstvo, da so v teh živalih, kot je to značilno tudi za druge, ki se hranijo z lignocelulozo, naseljene tudi indigene in/ali avtohtone bakterije. Prebavila kopenskih enakonožcev se zaradi nekaterih lastnosti, kot so preprosta anatomija prebavil, pogosto obnavljanje povrhnjice in kratek čas zadrževanja hrane v telesu, zdijo na prvi pogled precej neprimerno okolje za razvoj takšnih, avtohtonih mikroorganizmov (Hassall in Jennings, 1975). Toda nekatera poročila, ki slonijo na tradicionalnih mikrobioloških metodah (Reyes in Tiedje, 1976a; Griffiths in Wood, 1985; Ineson and Anderson, 1985; Gunnarsson in Tunlid, 1986; Hassall in sod., 1987; Ullrich in sod., 1991), predvsem pa tista, ki temeljijo na molekularnih pristopih, ki ne vključujejo izolacije in gojenja mikroorganizmov (Kostanjšek in sod., 2002a, 2004b, 2007), kažejo, da v prebavnem traktu navadnega prašička vendarle živijo pravi indigeni in avtohtoni mikroorganizmi, tako kot v prebavilih drugih živali, ki se hranijo pretežno s t.i.

lignoceluloznim kompleksom. Pri vrsti *P. scaber* so, pritrjene na povrhnjico papilatne regije v zadnjem črevesu, opazili dolge, paličaste bakterije (Drobne 1995; Kostanjšek in sod. 2003). S filogenetsko analizo sekvenc genov za 16S rRNA, so ugotovili, da te bakterije tvorijo samostojno filogenetsko skupino '*Candidatus Bacilloplasma*' sodijo v red znotraj bakterijskega razreda *Mollicutes* (Kostanjšek in sod., 2007). Preučevanje strukture je razkrilo prisotnost kroglaste strukture na konici te bakterije, ki ji služi za pritrditev na povrhnjico v prebavilu. Razvoj tovrstne strukture je verjetno posledica prilagoditve okolju, zato bi lahko ta bakterija predstavljala pravo avtohtonu črevesno bakterijo vrste *P. scaber* (Kostanjšek in sod., 2003).

Prisotnost te črevesne bakterije, ki je sicer ni mogoče najti v zemlji ali hrani (Kostanjšek, 2002), nakazuje tudi druge možnosti bakterijske kolonizacije prebavnega sistema navadnega prašička (ne le prek zaužitja snovi). Paličasto bakterijo so opazili tudi na novo oblikovani kutikuli v zadnjem črevesu, ko je bilo le-to še obloženo s staro, nedotaknjeno povrhnjico (Kostanjšek, 2002). Bakterija se lahko obdrži v prebavilu med levitvijo, kar ji omogoča preživetje in nastanitev na novi črevesni povrhnjici že zelo kmalu po njenem nastanku. Tako koprophagija in zaužitje stare povrhnjice zadnjega dela prebavila morda nista edina načina vnovičnega poseljevanja bakterij po levitvi.

Kljub predvidevanjem, da je okolje v zadnjem črevesu večinoma aerobno, bi lahko zaradi velike količine mukopolisaharidov na površini črevesa, nastale tudi tako imenovane mikroniše oziroma mikrookolja, primerna za razvoj anaerobnih bakterij. Ti biopolimeri namreč upočasnujejo difuzijo kisika in obenem nudijo dodatno površino za pritrditev bakterij (Hartenstein, 1964; Savage, 1978). Sicer obstaja nekaj zapisov o neuspeilih poskusih izolacije in gojenja črevesnih mikrobov pri izopodih v anaerobnih razmerah (Reyes in Tiedje, 1976a; Ullrich in sod., 1991), a so prisotnost anaerobne bakterije, ki sodeluje pri metilaciji živega srebra v prebavnem traktu navadnega prašička opisali Jereb in sodelavci (2003).

Metilacija živega srebra je eden izmed stranskih učinkov metabolnega procesa sulfat reducirajočih bakterij (v nadaljevanju SRB); pri tem se več kot 95% razpoložljivega živega srebra pretvori v tako imenovano metil živo srebro, ki je izjemno strupeno (Compeau in

Bartha, 1984, 1985; Pak in Bartha, 1998a, b). S filogenetsko analizo sekvence gena za 16S rRNA so prvo anaerobno bakterijo, opaženo v prebavnem sistemu kopenskega enakonožca, identificirali kot *Desulfotomaculum ruminis* (Lapanje in sod. 2003). Možnosti obstoja anaerobnih mikroniš v zadnjem črevesu izopodov tako ne gre zanemariti, saj jih nakazujeta tako prisotnost anaerobnih SRB (Lapanje in sod. 2003) kot tudi odkritje ribosomskih genov drugih anaerobnih bakterij na povrhnjici v zadnjem delu prebavila, kjer je okolje verjetno res pretežno aerobno, saj se kisik dovaja v obrobni obroč zadnjega črevesa neposredno iz hemolimfe skozi povrhnjico (Kostanjšek in sod., 2002a).

2.3.2 Mikroorganizmi v prebavnih žlezah

Mikrobom, ki iz želodca potujejo v smeri prebavnih žlez, naj bi vstop v le-te onemogočil sistem hitinastih filtrov (Hames in Hopkin, 1989; Storch in Štrus, 1989), ki prepušča zgolj tekočine in delce, manjše od 40 nm (Hames in Hopkin 1989). Vendar pa so pri vrstah *Porcellio dilatatus* (Donadey in Besse, 1972), *O. asellus* (Hopkin in Martin, 1982; Wood in Griffiths, 1988; Hames in Hopkin, 1989, 1991; Ullrich in sod., 1991; Clegg in sod., 1996), *P. scaber* (Wood in Griffiths 1988; Hames in Hopkin 1989, 1991; Ullrich in sod., 1991; Zimmer in Topp, 1998a, b; Kostanjšek, 2002) in *L. pallasii* (Zimmer in sod., 2001) (**Preglednica 1**) kljub temu opazili prisotnost bakterij v lumnu prebavnih žlez. Med njimi so bile paličaste hepatopankreatske bakterije pri *P. scaber* in *O. asellus*, ki jih opisujeta Wood in Griffiths (1988), morfološko dokaj podobne paličastim mikoplazmam, ki se pritrjajo na kutikularne trne povrhnjice v zadnjem črevesu pri *P. scaber* (Kostanjšek, 2002). Poleg tega so na apikalno površino epitelnih celic opazili pritrjene žlez srednjega črevesa pri *L. italica*, *T. albus* in *P. scaber* opazili tudi spirohete.

2.4 NOVI NAČINI IZOLACIJE MIKROORGANIZMOV IZ OKOLJA

V zadnjih letih so mikrobiologi ponovno obudili zanimanje za izolacijo in gojenje novih, še nepoznanih mikrobov iz najrazličnejših okolij. Intenzivno so pričeli razvijati nove metode, ki omogočajo izolacijo bistveno večjega števila mikrobnih vrst iz naravnih okolij kot doslej. Temu je botrovalo spoznanje o izjemni pestrosti (zaenkrat predvsem taksonomski) mikroorganizmov, ki naseljujejo različne ekosisteme, ki so jo raziskovalci

zaznali s t.i. metagenomskimi študijami (Rappe in Giovannoni, 2002). Izkazalo se je tudi, da večina doslej gojenih mikroorganizmov v okoljih, iz katerih so jih izolirali, predstavlja le manjšinsko populacijo, t.i. redko biosfero (Pedros-Alio, 2006). Zato so nujno potrebni novi pristopi, metode in gojišča, ki bodo omogočili izolacijo in gojenje tudi tistih mikrorganizmov, ki v lastnih okoljih predstavljajo dominantne populacije, ki so vsaj na prvi pogled zelo verjetno tudi najbolj pomembne za delovanje celotnega ekosistema. Nove metode temeljijo na novih gojiščih, primerni pripravi vzorcev s t.i. redčenjem do izginotja (Connon in Giovannoni, 2001), omogočaju kroženja metabolitov in signalnih komunikacijskih molekul ob sočasnem preprečevanju neposrednega fizičnega stika mikrobnih celic različnih vrst (Keberlein in sod. 2002, Zangler in sod., 2002), ter nenazadnje na modernih molekularnih postopkih, ki omogočajo hitro in zanesljivo identifikacijo izolatov, brez potrebe po pridobitvi večjih količin mikrobne biomase (Amann in sod., 1995).

Tudi v naši diplomske nalogi smo zato nameravali uporabiti nekatere od omenjenih pristopov, predvsem večje število redčenih gojišč in hitro identifikacijo zraslih kultur s sekvenciranjem in analizo genov za 16S rRNA.

3 MATERIALI IN METODE

3.1 POSKUSNE ŽIVALI

Poskusne živali (*Porcellio scaber* Latreille, 1804) smo gojili v steklenih terarijih na Katedri za zoologijo, Oddelka za biologijo Biotehniške fakultete pri temperaturi 22-23°C in visoki vlažnosti, ki smo jo vzdrževali s škropljenjem z destilirano vodo ter izmenjavi dnevno-nočnega cikla v razmerju dan/noč = 16/18 ur. Živali smo hrаниli z listno steljo, nabранo na nekontaminiranih lokalitetah v okolici Ljubljane. V poskusu je bilo žrtvovanih sedem odraslih zdravih samcev, težkih med 40 in 80 mg v medlevitveni fazi. Spol in levitveno fazo živali je določil doc.dr. Rok Kostanjšek.

3.2 IZOLACIJA BAKTERIJ IN GOJENJE ČISTIH KULTUR

Za izolacijo mikroorganizmov iz zadnjega črevesa navadnega prašička smo uporabili štiri različna agarizirana gojišča, ki so temeljila na gojišču za mikoplazme (MBB, *angl. Mycoplasma Broth Base*). V dveh primerih smo osnovnemu gojišču po sterilizaciji dodali humani serum oz. bogatitev s konjskim serumom, v enem primeru pa ubito kokošje jajce.

Priprava preparatov in vzorcev zadnjega črevesa poskusnih živali je potekala na Katedri za zoologijo Oddelka za biologijo Biotehniške fakultete, ki jo je opravil doc. dr. Rok Kostanjšek.

Poskusne živali smo uspavali z etrom. Zadnje črevo petih rakov smo izvlekli s sterilno pinceto skozi zadnji del živali in ga aseptično prenesli v tekoče gojišče Z_j . Črevo smo s sterilno volframovo iglo odprli po dolžini, odstranili sfinkter in rektum ter notranjo površino črevesa sprali s gojiščem Z_j . Tkivo smo prenesli na objektno steklo (Tlos, Zagreb), očiščeno s 96-odstotnim etanolom, ga pokrili s krovnim stekelcem (Tlos, Zagreb) in opazovali s fazno kontrastnim mikroskopom (BX 50; Olympus Optical Co., Japonska in Zeiss NU 2, Nemčija). Iskali smo paličaste bakterije, pritrjene na kutikularne trne stene zadnjega črevesa, kot je to opisal Kostanjšek (2002).

Po mikroskopiranju smo z objektivnega stekla previdno odstranili krovno stekelce, na katerega smo nanesli 20 µl tekočega gojišča Z_j , narahlo premešali in mešanico s spatulo po

Drigalskem enakomerno razmazali na površino gojišča z jajcem (MBB+J). Vzorce P1-P5 smo pripravili tako, da smo na objektno steklo kanili 160 µl tekočega gojišča Z_j in narahlo premešali. 15 µl mešanice z objektnega stekla s črevesom, kjer smo opazili veliko pritrjenih paličastih bakterij (označili smo ga z zaporedno številko 4), smo nanesli na plošče z gojiščem B, C, E, F, W, X, Y, S, R in J v petrijevkah. Z ostalih objektnih stekel smo nanesli po 20 µl mešanice na različna agarizirana gojišča, kot prikazuje **Preglednica 2.**

Vzorca P6 in P7 smo pripravili tako, da smo s sterilno pinceto aseptično prenesli odstranjeno črevo v 1,5-mililitrsko mikrocentrifugirko (Eppendorf, Nemčija). Dodali smo 200 µl sterilnega tekočega gojišča Z_j, mešali z vibracijskim mešalom (EV-100; Tehnica Železniki) 2 minuti in pustili, da se črevo in večji delci samodejno posedejo. Za gojenje mikroorganizmov smo uporabili suspenzijo in posedeni material. Na agarizirano gojišče W in Z v petrijevkah smo nacepili 80 µl suspenzije šestega vzorca (P6a), črevo (P6b) pa smo s sterilno cepilno zanko nanesli po celotni površini gojišča Z. 80 µl suspenzije sedmega vzorca (P7a) smo s spatulo po Drigalskem razmazali na plošče A in B, črevo (P7b) pa le na gojišče B. Sestava in priprava gojišč je prikazana v podpoglavlju 3.9.1.

Preglednica 2: Gojišča, ki smo jih uporabili za izolacijo bakterij iz različnih vzorcev zadnjega črevesa sedmih kopenskih rakov enakonožcev *Porcellio scaber*

Vzorec	Gojišče														
	A	B	C	D	E	F	Z	W	X	Y	V	T	S	R	J ^a
P1	•	•		•		•	•	•		•		•		•	
P2		•		•		•		•	•		•		•		•
P3	•		•		•		•		•		•		•		•
P4	•	•		•	•			•	•	•			•	•	•
P5	•	•		•			•		•		•	•	•		
P6a								•	•						
P6b									•						
P7a	•	•													
P7b		•													

J^a...gojišče MBB+J

P1-P5...mikroskopski preparati zadnjega črevesa petih rakov, pomešanih s tekočim gojiščem Z_j

P6a, P7a...suspenzija nad črevesom

P6b, P7b...črevo

Plošče smo oblepili z zaščitnim filmom (Parafilm "M", Pechiney Plastic Packaging Company, ZDA), jih inkubirali v aerobnih pogojih pri temperaturi 22°C in jih pregledovali nekajkrat tedensko 2 meseca. Poljubno izbrane, makromorfološko zanimive zrasle kolonije smo popisali in precepili na istovrstno gojišče.

Kulture mikroorganizmov smo preverjali s pregledovanjem plošč in medsebojnim primerjanjem kolonij, mikromorfološko pa z barvanjem po Gramu in opazovanjem pod svetlobnim mikroskopom (Option, Zahodna Nemčija). Čiste kulture smo shranjevali s subkultiviranjem na trdnem gojišču po Lurii in Bertaniju (LB) in jih precepljali na 21 dni. Devetnajst morfološko različnih ali/in domnevno najbolj pogosto zastopanih bakterijskih izolatov smo identificirali z molekularno biološkimi metodami in jih nadalje fenotipsko opredelili.

3.3 FENOTIPSKA OPREDELITEV BAKTERIJSKIH IZOLATOV

3.3.1 Barvanje po Gramu

Posušen in nad plamenom plinskega gorilnika fiksiran razmaz sveže bakterijske kulture na objektnem steklu smo 30 sekund barvali z raztopino kristal vijoličnega (Sigma). Barvilo smo sprali z rahlim curkom destilirane vode in preparat prelili z lugolovo raztopino (Merck). Pustili smo 1 minuto, sprali z rahlim curkom destilirane vode in razbarvali s 96-odstotnim etanolom (Merck). Po ponovnem spiranju z destilirano vodo smo preparat odcedili in prelili z raztopino safranina. Barvali smo 30 sekund, nato sprali z destilirano vodo in posušili. Preparat smo opazovali pod svetlobnim mikroskopom (Option, Zahodna Nemčija) pri 1000-kratni povečavi (imerzijski objektiv).

3.3.2 Rast pri temperaturi 37°C

Čiste bakterijske kulture smo aseptično cepili na svežo ploščo gojišča po Lurii in Bertaniju (LB) (priprava gojišča je prikazana v podpoglavlju 3.9.1) in inkubirali 3-7 dni pri temperaturi 37°C. Da bi preprečili izsušitev gojišč, smo plošče oblepili z zaščitnim filmom in jih (med inkubacijo) hranili v plastičnih vrečkah. Po inkubaciji smo cepljena gojišča pregledali in označili rast.

3.3.3 Fotokromogenost

Bakterijske izolate smo s sterilno cepilno zanko cepili na 2 sveži plošči gojišča po LB. Plošči smo inkubirali v različnih svetlobnih razmerah; v prvem primeru smo ploščo inkubirali na svetlobi, v drugem primeru pa v temi (ploščo smo popolnoma prekrili z aluminijasto folijo). Po končani inkubaciji (3-7 dni, 22°C) smo aluminijasto folijo odstranili in primerjali barvo kolonij bakterijskih izolatov.

3.3.4 Hemolitična aktivnost

Bakterijske kulture smo s sterilno cepilno zanko cepili do posameznih kolonij na plošče krvnega agarja (KA) (priprava gojišča je prikazana v podoglavlju 3.9.1), jih inkubirali 3-7 dni pri temperaturi 22°C in opazovali pojav lize eritrocitov okoli posameznih kolonij bakterijskih izolatov.

3.3.5 Celulolitična in hitinolitična aktivnost

Čiste bakterijske kulture smo s sterilnim zobotrebcem točkovno nanesli na gojišče s karboksimetilcelulozo (CMC, *angl. carboxymethylcellulose*) (sestava in priprava gojišč sta prikazani v podoglavlju 3.9.1) in plošče oblepili z zaščitnim filmom. Po končani inkubaciji pri temperaturi 22°C 10-14 dni smo površino plošč prelili z raztopino kongo rdečega barvila (1 mg/ml) in pustili stati 15 minut. Nato smo barvilo odlili in plošče prelili z 1 M NaCl za 15 minut (Teather in Wood, 1982). Pojav neobarvanih območij okoli posameznih kolonij bakterijskih izolatov je potrdil celulazno produkcijo.

Za ugotavljanje hitinolitične aktivnosti smo bakterijske izolate s sterilnim zobotrebcem aseptično nanesli na modificirano gojišče s hitinom (CH, *angl. chitin*) (Popavath in sod., 2008) (sestava in priprava gojišč sta prikazani v podoglavlju 3.9.1). Plošče smo oblepili z zaščitnim filmom. Med 14-dnevno inkubacijo pri temperaturi 22°C smo plošče pregledovali in iskali pojav zbistritvenih con okoli bakterijskih kolonij v sicer motnem gojišču (cona zbistritve je pomenila prisotnost hitinaz).

Pri nanosu bakterij na gojišča s CMC oz. CH smo pazili, da skupaj s kulturo nismo prenesli še izhodnega gojišča.

3.3.6 Občutljivost za protimikrobne snovi

Občutljivost bakterijskih izolatov za protimikrobne snovi smo ugotavljali z metodo difuzijskega antibiograma. Na plošče z gojiščem po Mueller-Hinton-u (MH) (priprava gojišča je prikazana v podpoglavlju 3.9.1) smo z vatenko nanesli v fiziološki raztopini resuspendirano svežo kulturo preiskovanega seva. Inokulum smo cepili po vsej površini plošče iz treh smeri pod kotom 60°. Na osušeno površino gojišča smo s sterilno pinceto v primerni medsebojni oddaljenosti položili diske z antibiotiki: rifampin 15 µg (RA-15), ciprofloxacim 5 µg (CIP-5), trimetoprim 5 µg (TMP-5), eritromicin 2 µg (E-2), streptomicin 10 µg (S-10), ampicilin 10 µg (AM-10) in penicilin 10 U (P-10) (vse BBL®; Becton Dickinson and Company, ZDA). Po inkubaciji 3-5 dni pri temperaturi 22°C smo odčitali inhibicijske cone in po navodilih proizvajalca (BBL™ Sensi-Disc™ Zone Interpretation Set) poskušali ugotoviti, ali je sev odporen, intermediaren ali občutljiv za preizkušani antibiotik.

3.4 IZOLACIJA KROMOSOMSKE DNA

Izolacijo kromosomske DNA iz bakterijskih izolatov smo izvedli s kompletom Genomic DNA Purification Kit (Fermentas Life Sciences). Pri postopku izolacije smo sledili navodilom proizvajalca, ki smo jih nekoliko priredili.

Izhodiščni material je bila sveža bakterijska kultura, ki je zrasla na trdnem gojišču po LB. Kulturo smo s sterilno cepilno zanko postrgali s plošče in resuspendirali v 200 µl pufra TE (pH 8,0). Dodali smo 400 µl raztopine za lizo celic, premešali in inkubirali 5 minut pri temperaturi 65°C. Bakterijskemu lizatu smo dodali 600 µl kloroforma (Merck), zaprto mikrocentrifugirko nekajkrat nežno obrnili in centrifugirali 10 minut pri 12000 vrt./min in 4°C (centrifuga Beckmann). Vodno fazo smo prenesli v novo mikrocentrifugirko (Eppendorf, Nemčija) in dodali 800 µl sveže raztopine zaobarjanje DNA, ki smo jo pripravili po navodilih proizvajalca. Med dvominutno inkubacijo pri sobni temperaturi smo zaprto mikrocentrifugirko nekajkrat nežno obrnili. Po centrifugiranju v namizni centrifugi

(10000 vrt./min, 2 min, sobna temperatura) (Eppendorf Centrifuge 5417C) in odstranitvi supernatanta smo usedlino resuspendirali v 100 µl 1,2 M NaCl. Dodali smo 300 µl ohlajenega 96-odstotnega EtOH (Merck) in mešanico inkubirali 3 ure pri temperaturi -20°C. Oborjeno DNA smo centrifugirali (10000 vrt./min, 4 min, sobna temperatura), odlili supernatant in usedlino očistili s 500 µl 80-odstotnega ohlajenega EtOH. Ves EtOH smo odstranili, usedlino osušili in resuspendirali v 40 µl pufra TE z RNazo. Izolirano DNA smo do nadaljnje uporabe shranili pri temperaturi -20°C.

Pri bakterijskih izolatih P2-W2, P3-Z5, P3-Z6, P4-X3, P4-X6, P4-S3, P5-X1, P6a-Z2, P6a-Z4, P6a-W1, P7a-A1 smo postopek centrifugiranja (12000 vrt./min, 10 min, 4°C) in prenosa zgornje vodne faze v svežo mikrocentrifugirko večkrat ponovili, dokler nismo iz supernatanta odstranili večine nečistoč.

Med izolacijo kromosomske DNA izolatov P3-V1 in P4-X5 smo vodno fazo ob hkratnem merjenju volumna (V_{sn}) prenesli v svežo mikrocentrifugirko in dodali enak volumen ($1 \times V_{sn}$) mešanice kloroform:izoamilalkohol (Merck) v razmerju 24:1. Mikrocentrifugirko smo nekajkrat nežno obrnili in centrifugirali 10 min pri 12000 vrt./min in 4°C. Zgornjo vodno fazo smo prenesli v novo mikrocentrifugirko in nadaljevali po zgoraj opisanem postopku.

3.5 POMNOŽEVANJE 16S rDNA V VERIŽNI REAKCIJI S POLIMERAZO (PCR)

Reakcijske mešanice smo pripravili v 200-mikrolitrskih mikrocentrifugirkah (MicroAmp, Perkin Elmer). Posamezna reakcijska mešanica je vsebovala 12,5 µl izhodiščne zmesi (MasterMix; Fermentas Life Sciences), 1 µl (10 pmol) začetnega oligonukleotida (fD1; Jena Bioscience GmbH, Nemčija) in 1 µl (10 pmol) začetnega oligonukleotida (1392r; Jena Bioscience GmbH, Nemčija), 1 µl matrične DNA (kromosomska DNA bakterijskih izolatov) v TE z RNazo ter 9,5 µl sterilne deionizirane vode. Podatki o začetnih oligonukleotidih so prikazani v **Preglednici 3**.

Pomnoževanje je potekalo v cikličnem termostatu GeneAmp PCR System 2400 (Perkin Elmer, ZDA). Začetnemu 2,5-minutnemu segrevanju reakcijske mešanice pri 95°C je sledilo 30 ciklov pomnoževanja: 30 s pri 94°C (denaturacija), 30 s pri 60°C (prileganje

začetnih oligonukleotidov) in 1,5 minute pri 72°C (podaljševanje verige DNA), tem pa 7-minutna podaljšana polimerizacija pri 72°C.

Prisotnost produkta smo ugotavljali z agarozno gelsko elektroforezo v 0,8-odstotnem agaroznem gelu v 1×TBE.

Preglednica 3: Začetni oligonukleotidi, uporabljeni v PCR in reakcijah ugotavljanja nukleotidnega zaporedja

Tip	Poimenovanje	Zaporedje (5'→3')	Tarčno zaporedje (<i>E.coli</i> 16S rRNA)	Specifičnost	Vir
F	fD1	AGAGTTTGATCCTGGCTCA	8...26	Bakterijski	Weisburg in sod., 1991
R	1392r	ACGGGCGGTGTGTRC	1392...1406	Univerzalni	Olsen in sod., 1986

F...začetni oligonukleotid v smeri 5'→3' kodirajoče verige

R...začetni oligonukleotid v smeri 3'→5' kodirajoče verige

R=A ali G

3.6 HORIZONTALNA AGAROZNA GELSKA ELEKTROFOREZA PRODUKTOV VERIŽNE REAKCIJE S POLIMERAZO

Prisotnost, velikost in količino produkta verižne reakcije s polimerazo smo ugotavljali z agarozno gelsko elektroforezo v 0,8-odstotnem agaroznem gelu v 1×TBE. 0,24 g agaroze (SeaKem® LE Agarose, Cambrex Bioscience Rockland, Inc., ZDA) smo s segrevanjem v mikrovalovni pečici raztopili v 30 ml 1× Tris-boratnega pufra (1×TBE) in ohlajenemu gelu (50°C) dodali etidijev bromid (EtBr; 10 mg/ml) do končne koncentracije 0,5 µg/ml. Gel smo vlili v vpet nosilec z vstavljenim glavnikom za žepke. Ko se je agarozna mešanica pri sobni temperaturi ohladila in polimerizirala, smo glavnik odstranili, gel na nosilcu pa vstavili v posodo za elektroforezo z elektroforeznim pufrom (1×TBE). 5 µl mešanice vzorca in nanašalnega pufra (6×DNA Loading Dye; Fermentas Life Sciences) v razmerju 1:5 smo vnesli v jamice gela. Ob vzorcih smo na vsak gel nanesli velikostni standard, t.j. 1 kb lestvico (GeneRuler™ 1 kb DNA Ladder; Fermentas Life Sciences). Elektroforeza je potekala 45 minut pri napetosti 10 V/cm, ki smo jo zagotovili z virom napetosti (2301 Macrodrive 1, LKB Bromma). DNA v gelu smo odkrivali z vzbujanjem EtBr pri valovni dolžini 302 nm in sliko dokumentirali s sistemom UVI-tec Limited (Anglija).

3.7 UGOTAVLJANJE NUKLEOTIDNEGA ZAPOREDJA GENA OZ. DELA GENA ZA 16S rRNA

Produkte pomnoževanja genov za 16S rRNA s PCR in parom začetnih oligonukleotidov fd1/1392r smo po ločitvi z elektroforezo izrezali iz gela s sterilnim skalpelom (AESCLAP AG & CO.KG, Nemčija), jih očistili s kompletom QIAquick Gel Extraction Kit (QIAGEN) po navodilih proizvajalca in uporabili kot matrico za reakcije ugotavljanja nukleotidnega zaporedja z začetnim oligonukleotidom fD1 (očiščen pomnožek 16S rDNA bakterijskih izolatov P2-S5, P3-Z2, P3-Z5, P3-Z6, P4-X3, P4-X5, P4-X6, P4-S3, P6a-Z3, P6a-Z4, P6a-W1) oz. s parom začetnih oligonukleotidov fD1 in 1392r (očiščen pomnožek bakterijskih izolatov P2-W2, P3-E2, P3-V1, P5-X1, P6a-Z1, P7a-A1, P7a-A4, P7a-A16), ki so jih izvedli po naročilu v podjetju Microsynth (Švica) (<http://www.microsynth.ch>).

Nukleotidna zaporedja gena oz. dela gena za 16S rRNA bakterijskih izolatov smo analizirali z orodjem Sequence Utilities BCM Search Launcher-ja (<http://searchlauncherbcm.tcm.edu>) (Smith in sod., 1996) ter RDP Classifier (RDP Naïve Bayesian rRNA Classifier Version 2.0, julij 2007) (<http://rdp.cme.msu.edu/html>) (Wang in sod., 2007) in Sequence Match Ribosomal Database Project II, Release 10.19 (RDP II 10.19) (<http://rdp.cme.msu.edu/html>) (Cole in sod., 2009). Z RDP Classifier-jem smo bakterijske izolate umestili v obstoječo hierarhično razporeditev, kot jo predlaga Bergeyev priročnik za sistematsko bakteriologijo.

Z orodjem Sequence Match smo v bazi podatkov poiskali nukleotidna zaporedja sorodnih bakterijskih vrst v zbirki sekvenč 16S rDNA daljših in krajiših od 1200 bp, tipskih in netipskih ter gojenih in negojenih mikrobnih sevov, prikazanih v obliki hierarhične razporeditve, kot jo predlaga Bergeyev priročnik za sistematsko bakteriologijo. Iskanje je zajelo sekvenče, ki so bile v bazi podatkov 4. aprila 2010; na ta dan je baza obsegala 1 396 793 sekvenč.

3.8 GENETSKA OPREDELITEV ZAPISA ZA HEMOLITIČNO AKTIVNOST BAKTERIJSKEGA IZOLATA *Stenotrophomonas* sp. P7a-A1

3.8.1 Kloniranje

Fragmente kromosomske DNA bakterijskega izolata *Stenotrophomonas* sp. P7a-A1, nastale po delni restrikciji z restriktivno endonukleazo *PstI*, smo vključili v plazmidni vektor pUC19. Linealizirani plazmid pUC19 je dolg 2686 bp, nosi zapis za odpornost proti ampicilinu in funkcionalen gen *lacZ'*, v katerega je vstavljen poliklonsko mesto (Priloga C). Transformacija vektora v bakterijski sev z okvarjenim genom za β -galaktozidazo omogoča ločevanje med rekombinantno in nerekombinantno DNA. Na gojiščih z ampicilinom (Ap) in dodanim X-Galom (5-bromo-4-kloro-3-indolil- β -D-galaktozid) so nerekombinantne kolonije obarvane modro, rekombinantne bakterije pa ostanejo neobarvane (t.i. modro-bela selekcija).

3.8.2 Restrikcija plazmidnega vektorja pUC19 in kromosomske DNA

Plazmidno DNA pUC19 smo izolirali iz seva CL247 (genotip je prikazan v podpoglavlju 3.10) s kompletom GeneJet™ Plasmid Miniprep Kit (Fermentas Life Sciences) po priporočilih proizvajalca in jo raztopili v 50 μ l pufra EB (Elution Buffer).

Plazmidni vektor pUC19 in kromosomsko DNA seva *Stenotrophomonas* sp. P7a-A1 smo rezali z restriktivno endonukleazo *PstI* (CTGCA↓G, 10 U/ μ l; Fermentas Life Sciences). Reakcijski mešanici smo pripravili v 1,5 ml mikrocentrifugirkah (Eppendorf, Nemčija) tako, da smo zmešali 1 μ l (10 U) *PstI*, 2 μ l 10×pufra O (oboje Fermentas Life Sciences), 14 μ l kromosomske DNA seva *Stenotrophomonas* sp. P7a-A1 v TE z RNazo in 3 μ l sterilne deionizirane vode oz. 5 μ l plazmidne DNA pUC19 v pufru EB in 12 μ l sterilne deionizirane vode. Pokrovčke mikrocentrifugirk smo oblepili z zaščitnim filmom. Restriktivno mešanico s kromosomsko DNA bakterijskega izolata smo inkubirali 8 min v vodni kopeli pri 37°C, restriktivno mešanico s plazmidno DNA pUC19 pa 1 uro. Reakciji smo zaustavili z 20-minutno inkubacijo pri 68°C.

3.8.3 Ligacija

Ligacijsko mešanico smo pripravili v 1,5-mililitrski mikrocentrifugirki in je vsebovala: 1 μ l ligaze T4 (5 U), 4 μ l 5× T4 DNA Ligase Buffer (oboje Fermentas Life Sciences), 13 μ l z restriktazo *Pst*I delno rezane kromosomske DNA seva *Stenotrophomonas* sp. P7a-A1 in 2 μ l s *Pst*I popolnoma razrezanega plazmidnega vektorja pUC19. Pokrovček mikrocentrifugirke smo oblepili z zaščitnim filmom in jo inkubirali 1 uro pri 22°C v vodni kopeli. Ligacijsko mešanico smo do uporabe hranili pri 4°C.

3.8.4 Priprava kompetentnih celic *E. coli* DH5

Svežo prekonočno bakterijsko kulturo *E. coli* DH5 (genotip je prikazan v podpoglavlju 3.10) smo nacepili v 20 ml tekočega gojišča LB, ogretega na 37°C. Kulturo smo inkubirali pri 37°C s stresanjem na rotacijskem stresalniku (300 vrt./min) (New Brunswick Scientific, Innova® 2300, ZDA), dokler suspenzija ni dosegla optične gostote 0,37 pri valovni dolžini 590 nm. 1 ml bakterijske kulture smo aseptično prenesli v ohljene mikrocentrifugirke ter jih 10 minut inkubirali na ledu. Nato smo jih 2 min centrifugirali pri 12000 vrt./min in 4°C (centrifuga Beckmann). Po centrifugiranju smo supernatant previdno odstranili, usedlino pa počasi resuspendirali v 500 μ l ledeno hladne 0,1 M raztopine CaCl₂. Po 10-minutni inkubaciji na ledu smo resuspendirane celice centrifugirali 2 min pri 12000 vrt./min in 4°C. Postopek spiranja bakterijskih celic z ledeno hladno 0,1 M raztopino CaCl₂ smo dvakrat ponovili. Po zadnjem centrifugiranju (12000 vrt./min, 2 min, 4°C) in odstranitvi supernatanta smo bakterijsko usedlino previdno resuspendirali v 50 μ l ledeno hladnega 0,1 M CaCl₂ in jih do uporabe hranili na ledu.

3.8.5 Transformacija

Ledenohladno suspenzijo kompetentnih celic *E. coli* DH5 v 0,1 M CaCl₂ smo prenesli v svežo mikrocentrifugirko, dodali 6 μ l ligacijske mešanice in narahlo premešali. Po 10-minutni inkubaciji na ledu smo mešanico za 2 minuti prenesli v vodno kopel, ogreto na 42°C. Mešanici smo dodali 500 μ l tekočega gojišča po LB, nežno premešali in inkubirali 45 minut pri 37°C z rahlim stresanjem na rotacijskem stresalniku (50 vrt./min). Po

inkubaciji smo na površino 10 plošč krvnega agarja z antibiotikom ampicilinom (120 µg/ml) s spatulo po Drigalskem enakomerno nanesli 50 µl suspenzije transformiranih celic DH5 in jih gojili pri 37°C 48 ur. Transformanto s hemolitično aktivnostjo, ki smo jo poimenovali pHEM, smo hkrati nacepili na svežo ploščo krvnega agarja z Ap (120 µg/ml) in ploščo po LB z Ap (100 µg/ml) ter X-Gal.

3.8.6 Izolacija plazmidne DNA s CTAB in Tritonom X-100 (Del Sal in sod., 1988)

Polno cepilno zanko kulture klona pHEM, ki smo jo posneli s plošče krvnega agarja z Ap, smo resuspendirali v 200 µl pufra STET. Dodali smo 4 µl lizocima (50 mg/ml) in previdno premešali. Po 5-minutni inkubaciji pri sobni temperaturi smo mikrocentrifugirko za 45 sekund postavili v vrelo vodo. Sledilo je 10-minutno centrifugiranje pri 12000 vrt./min in sobni temperaturi v namizni centrifuggi (Eppendorf Centrifuge 5417C). Precipitat smo odstranili s sterilnim zobotrebcem, supernatantu pa dodali 8 µl raztopine CTAB (5% (w/v) v vodi) ter narahlo premešali. Po ponovnem centrifugiranju (12000 vrt./min, 5 minut, sobna temperatura) in odstranitvi supernatanta smo nastalo oborino resuspendirali v 300 µl 1.2 M NaCl. Dodali smo 750 µl 96-odstotnega EtOH in centrifugirali 10 minut pri 12000 vrt./min in sobni temperaturi. Po odstranitvi supernatanta smo usedlino očistili s 500 µl 80-odstotnega EtOH. Ves etanol smo odstranili, usedlino osušili in resuspendirali v 30 µl pufra TE z RNazo (50 µg/ml). Velikost plazmidne DNA z vključkom smo ugotavljali z agarozno gelsko elektroforezo razrezane plazmidne DNA.

3.8.7 Restrikcija plazmidne DNA

Plazmidno DNA klona pHEM smo razrezali z restriktijsko endonukleazo *PstI* (CTGCA↓G) (10 U/µl; Fermentas Life Sciences). Restrikcija je potekala v mešanici: 1 µl *PstI*, 1 µl 10×pufra O (oboje Fermentas Life Sciences), 2 µl plazmidne DNA pHEM v TE z RNazo in 6 µl sterilne deionizirane vode. Pokrovček mikrocentrifugirke smo oblepili z zaščitnim filmom in restriktijsko mešanico inkubirali 45 minut pri 37°C v vodni kopeli. Prisotnost in velikost plazmidne DNA z vključkom smo ugotavljali z agarozno gelsko elektroforezo v 0,9-odstotnem agaroznem gelu v 1×TBE. Za pripravo gela smo uporabili 0,27 g agaroze (SeaKem® LE Agarose, Cambrex Bioscience Rockland, Inc., ZDA) in 30

ml 1× Tris-boratnega pufra (1×TBE). Nadaljnji potek je bil enak, kot je opisan v podpoglavlju 3.6. Ob vzorcu smo nanesli velikostni standard, t.j. 1 kb lestvico (GeneRuler™ 1 kb DNA Ladder, Fermentas Life Sciences) in plazmidni vektor pUC19, rezan z restriktazo *PstI* (ostanek restrikcijske mešanice po ligaciji, shranjen pri -20°C).

3.8.8 Ugotavljanje nukleotidnega zaporedja DNA vključka pHEM

Plazmidno DNA z vstavljenim fragmentom kromosomske DNA seva *Stenotrophomonas* sp. P7a-A1 z zapisom za hemolitično aktivnost smo izolirali s kompletom GeneJet™ Plasmid Miniprep Kit (Fermentas Life Sciences) po navodilih proizvajalca in jo raztopili v 40 µl pufra EB (Elution Buffer). Uporabili smo jo kot matrico za reakcije ugotavljanja nukleotidnega zaporedja, ki so jih izvedli po naročilu v podjetju Microsynth (Švica) (<http://www.microsynth.ch>) z metodo sprehajanja z začetnimi oligonukleotidi (angl. "primer walking"). Pri tem so za začetek uporabili standardne začetne oligonukleotide M13 (TGTAAAACGACGGCCAG) in M13rev (CAGGAAACAGCTATGACC) (<http://www.microsynth.ch>), ki se vežejo na vektor tik ob vključku na levi in desni strani. Nadaljnje začetne oligonukleotide so pripravili na osnovi dobljenih predhodnih zaporedij. Sekvenciranje je bilo končano, ko smo dobili prekrivajoča se zaporedja na sredini vključka.

Nukleotidno zaporedje DNA vključka pHEM smo analizirali z orodji BCM Search Launcher-ja (<http://searchlauncher.bcm.tcm.edu>) (Smith in sod., 1996) in NCBI (National Centre for Biotechnology Information) (<http://www.ncbi.nlm.nih.gov>). Z algoritmom ORF Finder (<http://www.ncbi.nlm.nih.gov/gorf/orfig.cgi>) smo z iskalnimi parametri bakterijski genski kod in ATG ter alternativnimi iniciacijskimi kodoni poiskali potencialne odprte bralne okvirje (*orf*, angl. open reading frame) na + in - verigi DNA. Vse možne *orf*-e smo analizirali z algoritmom BLAST (angl. Basic Local Alignment Search Tool) (Altschul in sod., 1990) v bazi neredundantnih proteinskih zaporedij. V rezultatih smo prikazali le homologne zadetke, ki so bili daljši od 100 aminokislin. *orf*-e smo primerjali s podatki, dobljenimi z orodjem FGENESB (Bacterial Operon and Gene Prediction) SoftBerry-ja (<http://linux1.softberry.com/berry.phtml>).

3.8.9 Subkloniranje

3.8.9.1 Priprava plazmidne DNA klona pHEM

Plazmidno DNA klona pHEM smo hkrati razrezali z dvema restrikcijskima endonukleazama *BamHI* ($G\downarrow GATCC$)(10 U/ μ l) in *HindIII* ($A\downarrow AGCTT$)(10 U/ μ l) (oboje Fermentas Life Sciences), ki smo ju izbrali na podlagi rezultatov restrikcijskega mapiranja s programom NEBcutter V2.0 (<http://tools.neb.com/NEBcutter2/index.php>) (Vincze in sod., 2003). Izbrana encima nimata prepoznavnega zaporedja znotraj vključka DNA, režeta pa v poliklonskem mestu plazmidnega vektorja pUC19 pred (*HindIII*; v smeri 5'→3') oz. za (*BamHI*; v smeri 5'→3') prepoznavnim mestom za restrikcijsko endonukleazo *PstI*. Reakcijsko mešanico za dvojno restrikcijo smo pripravili v 1,5-mililitrski mikrocentrifugirki tako, da smo zmešali 3 μ l (30 U) *BamHI*, 3 μ l (30 U) *HindIII* (oboje Fermentas life Sciences), 6 μ l 10×pufer B (Boehringer, Nemčija), 40 μ l plazmidne DNA pHEM v pufru EB in 8 μ l sterilne deionizirane vode. Pokrovček mikrocentrifugirke smo oblepili z zaščitnim filmom in restrikcijsko mešanico inkubirali preko noči pri 37°C v vodni kopeli.

Po končani inkubaciji smo fragmente DNA ločili z agarozno gelsko elektroforezo v 0,8-odstotnem agaroznem gelu v 1×TBE. Fragmente velikosti 11,3 kbp smo s sterilnim skalpelom izrezali iz agaroznega gela, jih očistili s kompletom QIAquick Gel Extraction Kit (QIAGEN) po navodilih proizvajalca in raztopili v 30 μ l pufra EB.

3.8.9.2 Restrikcija 11,3 kbp DNA fragmenta

Restrikcijske endonukleaze oz. pare restrikcijskih endonukleaz za reakcije subkloniranja zapisa za hemolitično aktivnost pHEM smo izbrali glede na razpoložljivost v laboratoriju, kjer je poskus potekal in rezultatov restrikcijske *in silico* analize nukleotidnega zaporedja DNA vključka s programom NEBcutter V2.0 (<http://tools.neb.com/NEBcutter2/index.php>). Pri tem smo upoštevali velikost izbranega fragmenta oz. enostavnost razlikovanja fragmentov po restrikciji z agarozno gelsko elektroforezo, prisotnost prepoznavnega mesta za restriktazo v plazmidnem vektorju pUC19 ter pozicijo prepoznavnega mesta za restrikcijsko endonukleazo v vključku (subklonirani fragment naj

bi poleg nukleotidnega zaporedja z zapisom za izbrani protein vseboval nič oz. malo ostalih kodirajočih regij).

Preglednica 4: Uporabljeni restriktaze, organizmi, od koder so bile izolirane, restriktijska mesta, tip koncov, ki nastanejo po restrikciji in pripadajoči puferi

Restriktijski encim	Vir	Prepoznavno zaporedje (5'→3')	Mesto restrikcije	Tip koncov	Pripadajoči pufer
<i>BamHI</i>	<i>Bacillus amyloliquefaciens</i> H	GGATCC	G↓GATCC CCTAGC	5'-ostri	<i>BamHI</i>
<i>EcoRI</i>	<i>Escherichia coli</i> RY13	GAATTTC	G↓AATTC CTAA↑G	5'-ostri	<i>EcoRI</i>
<i>HindIII</i>	<i>Haemophilus influenzae</i> Rd	AAGCTT	A↓AGCTT TTCGA↑A	5'-ostri	<i>HindIII</i>
<i>KpnI</i>	<i>Klebsiella pneumoniae</i> OK8	GGTACC	GGTAC↓C C↑CATGG	3'-ostri	<i>KpnI</i>
<i>PstI</i>	<i>Providencia stuarti</i>	CTGCAG	CTGCA↓G G↑ACGTC	3'-ostri	O
<i>SaII</i>	<i>Streptomyces albus</i> G	GTCGAC	G↓TCGAC CAGCT↑G	5'-ostri	O

DNA fragmente, nastale po restrikciji očiščenega DNA fragmenta s parom restriktijskih endonukleaz oz. restriktijsko endonukleazo (vse Fermantas Life Sciences) smo vključili v plazmidni vektor pUC19, razrezan z ustreznimi (enakimi) pripadajočimi restriktazami in vnesli v kompetentne celice DH5. Shema subkloniranja je prikazana na str. 52.

Restriktijska mešanica je vsebovala: 17 µl očiščenega 11,3 kbp DNA fragmenta, 1 µl restriktijske endonukleaze (10 U) (*EcoRI* oz. *KpnI*) in 2 µl 10×pufer (*EcoRI* oz. *KpnI*) (oboje Fermentas Life Sciences).

Restriktijsko mešanico za dvojno restrikcijo smo pripravili po priporočilu proizvajalca (DoubleDigest™Engine, Fermentas Life Sciences) tako, da smo zmešali 16 µl očiščenega 11,3 kbp DNA fragmenta, 1 µl (10 U) restriktijske endonukleaze *EcoRI*, 1 µl (10 U) restriktijske endonukleaze *SaII* in 2 µl 10×pufer O (vse Fermentas Life Sciences).

Restriktijska mešanica za razrez plazmidnega vektorja pUC19 je vsebovala: 3 µl pUC19 v pufru EB, 1 µl (10 U) restriktijske endonukleaze *KpnI*, 1 µl 10×pufer *KpnI* (oboje Fermentas Life Sciences) in 5 µl sterilne deionizirane vode.

Restriktijsko mešanico za dvojno restriktcijo plazmidnega vektorja smo pripravili tako, da smo zmešali 3 µl pUC19 v pufru EB, 1 µl (10 U) restriktijske endonukleaze *EcoRI*, 1 µl (10 U) restriktijske endonukleaze *SalI* ter 10×pufer O (vse Fermentas Life Sciences) oz. 1 µl (10 U) restriktijske endonukleaze *EcoRI*, 1 µl (10 U) restriktijske endonukleaze *BamHI* (oboje Fermentas Life Sciences) ter 10×pufer B (Boehringer, Nemčija) in dopolnili do 10 µl s sterilno deionizirano vodo.

Restriktijske mešanice smo oblepili z zaščitnim filmom in inkubirali 1 uro pri 37°C v vodni kopeli.

Restriktijsko reakcijo pUC19 s parom restriktijskih endonukleaz *EcoRI* in *SalI* smo zaustavili z 20-minutno inkubacijo pri 68°C v vodni kopeli.

Preostale restriktijske mešanice smo nanesli na 0,9-odstotni agarozni gel v 1×TBE in fragmente ločili z agarozno gelsko elektroforezo. Ob vzorcih smo kot velikostni standard nanesli 1 kb lestvico. Izbrane fragmente velikosti 3114 bp, 1618 bp, 3110 bp ter plazmidni vektor pUC19, razrezan s *KpnI* oz. *EcoRI* in *BamHI* smo izrezali iz gela s sterilnim skalpelom, očistili s kompletom QIAquick Gel Extraction Kit (QIAGEN) po navodilih proizvajalca in raztopili v 20 µl oz. 10 µl pufra EB.

3.8.9.3 Ligacija, transformacija in ugotavljanje velikosti vključka DNA

Ligacijska mešanica je vsebovala 4 µl 5×pufra, 1 µl ligaze T4 (oboje Fermentas Life Sciences), 13 µl očiščenega fragmenta velikosti 1618 bp in 2 µl očiščenega, s *KpnI* razrezanega pUC19 oz. 13 µl očiščenega fragmenta velikosti 3110 bp in 2 µl očiščenega, z *EcoRI* in *BamHI* razrezanega pUC19 oz. 14 µl očiščenega fragmenta velikosti 3114 bp in 1 µl pUC19, razrezanega s parom restriktaz *EcoRI* in *SalI*.

Ligacijske mešanice smo inkubirali 1 uro pri 22°C v vodni kopeli in jih transformirali v kompetentne celice DH5 po postopku, ki je opisan v podpoglavlju 3.8.4. 100 µl posamezne

transformacijske mešanice smo po končani inkubaciji v tekočem gojišču po LB pri 37°C s spatulo po Drigalskem enakomerno nanesli na površino 2 plošč po LB z dodanim Ap (100 µg/ml) in X-Gal. Po prekonočni inkubaciji pri 37°C smo neobarvane kolonije z vsake plošče posamezne transformacijske mešanice hkrati cepili na sveže gojišče po LB z Ap in X-Galom ter plošče krvnega agarja z Ap (120 µg/ml). Po 48 urah inkubacije pri 37°C smo na slednjih opazovali pojav lize eritrocitov.

Plazmidno DNA klonov pLIP z DNA vključkom velikosti 3114 bp, pARP z DNA vključkom velikosti 1618 bp in pTAP z DNA vključkom velikosti 3110 bp smo izolirali s CTAB in Tritonom X-100 (postopek je prikazan v podpoglavlju 3.8.6) in jo razrezali z ustreznimi restrikcijskimi endonukleazami: plazmidno DNA pARP z restriktazo *KpnI*, plazmidno DNA pLIP s parom restrikcijskih endonukleaz *EcoRI* in *SaI* ter plazmidno DNA pTAP s parom restrikcijskih endonukleaz *EcoRI* in *BamHI*.

Prisotnost in velikost DNA vključka smo ugotavljali z agarozno gelsko elektroforezo razrezane plazmidne DNA pARP, pLIP, pTAP v 0,9-odstotnem agaroznem gelu v 1×TBE.

3.9 GOJIŠČA, RAZTOPINE, PUFRI, ENCIMI

3.9.1 Gojišča

Osnovo gojišč za izolacijo bakterij je predstavljalo gojišče za mikoplazme, ki smo ga pripravili po navodilih proizvajalca (Mycoplasma Broth Base, Oxoid Ltd., Anglija). 25,5 g sestavin v prahu smo med mešanjem z magnetnim mešalom raztopili v 11 destilirane vode. Tako pripravljeno osnovo (MBB) smo alikvotirali v štirinajst 250-mililitrskih erlenmajeric, gojiščem Z,W,X,Y,V,T,S,R pa dodali tudi ustrezen volumen destilirane vode (količino alikvotiranega gojišča in dodane destilirane vode prikazuje **Preglednica 5**). V vseh primerih smo dodali 1,7 ut.% agarja Noble (Difco Laboratories, ZDA) in gojišča sterilizirali z avtoklaviranjem (15 min, 121°C, tlak 1,2 bar) (avtoklav Kambič).

Za pripravo gojišč s konjskim serumom (gojišča B, C, D, E in F) smo izvornemu gojišču (MBB), ohljenemu na 55°C, dodali različne volumne bogatitve (BBL™ Mycoplasma Enrichment without Penicillin s sestavo: 20 ml konjskega seruma, 10 ml kvasnega ekstrakta, 50 mg talijevega acetata). Za pripravo gojišč s humanim serumom pa 5 ml

(gojišči S in R) oz. 10 ml (gojišča W, X, Y, V in T) humanega seruma. Humani serum smo pripravili tako, da smo 0,2 µl filtriranega in liofiliziranega humanega seruma (Sigma Aldrich) raztopili v 90 ml sterilne destilirane vode.

Gojiščem A, C, E ter Z, X, V in S smo sterilno dodali 80 µl antimikotika amfotericina B (5 mg/ml v sterilni destilirani vodi; SQUIBB-von Heyden GmbH, Nemčija). Po 15-25 ml posameznega gojišča smo alikvotirali v sterilne plastične petrijevke.

Preglednica 5: Sestava gojišč za izolacijo bakterij, ki so temeljila na gojišču za mikoplazme (MBB) (KS...konjski serum)

Gojišče ^a	Sestava [ml]		Gojišče ^a	Sestava [ml]		
	MBB	Bogatitev s KS		MBB	Humani serum	Dest. H ₂ O
A	100	/	Z ^b	20	/	80
B	70	30	W	20	10	70
C ^b	80	20	X ^b	30	10	60
D	90	10	Y	40	10	50
E ^b	95	5	V ^b	55	10	35
F	98	2	T	70	10	20
			S ^b	30	5	65
			R	70	5	25

^b gojišču je dodan antimikotik amfotericin B (4 µg/ml)

^a vsem gojiščem dodan 1,7 ut. % agarja Noble

Tekoče gojišče (Z_j) za odvzem in pripravo vzorca smo pripravili tako, da smo zmešali 10 ml osnovnega gojišča MBB (pripravljeno po zgoraj opisanem postopku) in 40 ml destilirane vode.

Osnova gojišča z jajcem (MBB+J) je bilo z avtoklaviranjem (15 minut, 121°C, tlak 1,2 bar) sterilizirano osnovno gojišče (MBB). Ohljenemu gojišču na 55°C smo dodali kokošje jajce (površino jajca smo očistili s 96-odstotnim EtOH ter ga ubili v sterilno čašo), vsebino premešali z magnetnim mešalom in razlili v sterilne petrijevke premera 7 cm. Gojišču smo prav tako dodali 1,7 ut. % agarja Noble (Difco).

Tekoče gojišče po Lurii in Bertaniju (LB) smo pripravili po navodilih proizvajalca (Roth). 12,5 g sestavin v prahu (LB-Medium (Luria/Miller); Roth, GMBH&CO) smo med mešanjem z magnetnim mešalom raztopili v 500 ml destilirane vode, alikvotirali po 20 ml

v steklene (150 ml) erlenmajerice in sterilizirali z avtoklaviranjem (15 minut, 121°C, tlak 1,2 bar).

Za pripravo tekočih gojišč po LB z dodanim antibiotikom ampicilinom (Ap) (100 µg/ml) smo gojišču pred uporabo dodali 20 µl Ap (100 mg/ml v sterilni destilirani vodi; Roth).

Trdno gojišče po LB smo pripravili tako, da smo 25 g sestavin v prahu (LB-Medium (Luria/Miller); GMBH&CO, Roth, Nemčija) in 15 g agarja (Roth, Nemčija) raztopili v 1 l destilirane vode med mešanjem z magnetnim mešalom ter sterilizirali z avtoklaviranjem (15 minut, 121°C, tlak 1,2 bar). Po 15-20 ml ohlajenega gojišča smo alikvotirali v sterilne plastične petrijevke premera 15 cm.

Za pripravo gojišč LB z dodanim antibiotikom Ap (100 µg/ml gojišča) in X-Gal (5-bromo-4-kloro-3-indolil-β-D-galaktozid) smo kot osnovo uporabili gojišče po LB, ki smo ga pripravili po zgoraj opisanem postopku. Ohlajenemu gojišču na 55°C smo sterilno dodali 1 ml ampicilina (100 mg/ml v sterilni destilirani vodi; Roth, Nemčija), premešali z magnetnim mešalom in alikvotirali v petrijevke. Gojišča smo uporabili najkasneje dan po pripravi. Pred uporabo smo na površino gojišč s spatulo po Drigalskem enakomerno nanesli 40 µl X-Gal (5-bromo-4-kloro-3-indolil-β-D-galaktozid; 20 mg/ml v dimetilformamidu; Fermentas Life Sciences).

Gojišče po Mueller-Hinton-u (MH) smo pripravili po navodilih proizvajalca (Biolife S.r.l., Italija). 21 g sestavin v prahu in 15 g agarja (Roth, Nemčija) smo raztopili v 1 l destilirane vode med mešanjem z magnetnim mešalom in sterilizirali z avtoklaviranjem (15 minut, 121°C, tlak 1,2 bar; avtoklav Kambič). 15-20 ml ohlajenega gojišča smo razlili v plastične sterilne petrijevke premera 15 cm.

Krvni agar smo pripravili po navodilih proizvajalca (Biolife S.r.l., Italija) tako, da smo 40,5 g sestavin v prahu (Blood Agar Base) med mešanjem z magnetnim mešalom raztopili v 1 litru destilirane vode. Avtoklaviranemu gojišču (15 minut, 121°C, tlak 1,2 bar), ohlajenemu na 55°C, smo sterilno dodali 5% goveje krvi (IVZ; Inštitut za varovanje zdravja, Ljubljana), premešali z magnetnim mešalom in razlili v sterilne plastične petrijevke premera 15 cm.

Za pripravo krvnih gojišč z antibiotikom ampicilinom (Ap) (120 µg/ml) smo 1 l osnovnega gojišča po sterilizaciji poleg goveje krvi dodali še 1,2 ml antibiotika Ap (100 mg/ml).

Za pripravo modificiranega gojišča s hitinom (CH, *angl.* chitin) (Popavath in sod., 2008) smo v destilirani vodi raztopili 0,081 g Nutrient Broth (Difco Laboratories, ZDA), 0,15 g NaCl (Merck), 1,7 g Na₂HPO₄ (Merck), 0,75 g KH₂PO₄ (Kemika, Zagreb), 0,25 g NH₄Cl (Merck) in 0,65 g agarja Noble (Difco), dopolnili do 50 ml ter dodali 0,2 g v terilnici strtega koloidnega hitina (Sigma Aldrich). Avtoklavirano (15 min, 121°C, tlak 1,1 bar) in ohlajeno gojišče smo alikvotirali v sterilne plastične petrijevke premera 7 cm.

Za pripravo 500 ml trdnega gojišča s karboksimetilcelulozo (CMC) smo posebej pripravili 1 M MgSO₄ in osnovno gojišče (0,5 g NaNO₃ (Merck), 0,5 g K₂HPO₄ (Merck), 0,5 g KCl (Merck), 0,25 g kvasnega ekstrakta (Difco), 0,5 g glukoze (Kemika), 2,5 g karboksimetil celuloze (CMC, *angl.* carboxymethylcellulose) (Sigma Aldrich) in 7,5 g agarja Noble (Difco)) ter ju sterilizirali z avtoklaviranjem (15 min, 121°C, tlak 1,1 bar). 1M MgSO₄ smo pripravili tako, da smo 24,65 g MgSO₄·7H₂O (Merck) raztopili v destilirani vodi in dopolnili do 100 ml. Avtoklaviranemu gojišču, ohlajenemu na 55°C smo dodali 2 ml 1M MgSO₄, narahlo premešali in alikvotirali v sterilne plastične petrijevke.

3.9.2 Raztopine, pufri, encimi

3.9.2.1 Barvanje po Gramu

Raztopina **kristalvijoličnega** (Sigma Aldrich): 2,3% kristalvijoličnega, 0,1% amonijevega oksalata, 20% (v/v) etilnega alkohola

Lugolova raztopina (Merck): razredčena vodna raztopina I₂ in KI

Safranin (Safranin O, Merck): 0,5% (w/v) v vodi

3.9.2.2 Celulazna aktivnost

Kongo rdeče (0,1% vodna raztopina konga rdeče): 0,05 g kongo rdečega barvila (Merck) smo raztopili v 50 ml destilirane vode, zavili v aluminijasto folijo in shranili pri 4°C

1M NaCl: 58,44 g NaCl (Merck) smo raztopili v 800 ml destilirane vode, dopolnili do 1000 ml in stelizirali z avtoklaviranjem

3.9.3 Kemikalije, pufri in encimi za izolacijo DNA

3.9.3.1 Izolacija kromosomske DNA

1× TE Tris EDTA (TE) pH 8,0

10 mM Tris-Cl (pH 8,0)

1 mM EDTA (etilendiaminotetraocetna kislina) (pH 8,0) (Kemika, Hrvaška)

1 M Tris-Cl pH 8,0

121,1 g Tris baze (Tris(hidroksimetil)-aminometan) (Roth)

800 ml H₂O

pH uravnamo z dodatkom 42 ml koncentrirane HCl (Merck) in dopolnimo s H₂O do 1000 ml

TE z RNazo (50 µg/ml): 5µl raztopine RNaze A (10 mg/ml) smo raztopili v 995 µl pufera TE.

RNaza A

10 mg/ml; shranjena v 50 mM Tris-HCl (pH 7,4) in 50% (v/v) glicerolu; Fermentas Life Sciences

3.9.3.2 Izolacija plazmidne DNA

STET

8% saharoza (Kemika, Hrvaška)

0,1% Triton X-100 (Sigma)

50 mM EDTA (etilendiaminotetraocetna kislina) (Kemika, Hrvaška)

50 mM Tris-HCl pH 8,0

Lizocim (50 mg/ml): 50 mg lizocima (100000 U/mg, Fluka) smo raztopili v 1 ml sterilne destilirane vode in shranili pri -20°C

CTAB/H₂O: 5% (w/v) heksadeciltrimetilamonijev bromid (Fluka)

1,2 M NaCl: 70,13 g NaCl (Merck) smo raztopili v 800 ml destilirane vode, dopolnili do 1000 ml in stelirizirali z avtoklaviranjem

TE z RNAAzo (50 µg/ml): priprava opisana v podpoglavlju 3.9.3.1

3.9.4 Kemikalije za verižno reakcijo s polimerazo (PCR)

Izhodiščna zmes (Master Mix)

0,05 U/µl rekombinantne Taq DNA-polimeraze v reakcijskem pufru, 4 mM MgCl₂, 0,4 mM posameznega deoksiribonukleotida (dATP, dCTP, dGTP, dTTP); Fermentas Life Sciences

3.9.5 Horizontalna agarozna gelska elektroforeza

5×TBE

54 g Tris-baze (Tris(hidroksimetil)-aminometan) (Roth)

27,5 g H₃BO₃ (Roth)

20 ml 0,5M EDTA (pH 8,0) (Kemika, Hrvaška)

destilirana voda do 1000 ml

1×TBE (1-kratni Tris-boratni pufer):

100 ml 5×TBE

400 ml destilirane vode

Nanašalni pufer (6× Loading Dye)

10 mM Tris-HCl (pH 7,6), 0,03% ksilencianol FF, 60% glicerol, 60 mM EDTA, 0,03% bromofenol modro; Fermentas Life Sciences

Etidijev bromid (EtBr): založna raztopina EtBr (Sigma) v vodi (10 mg/ml)

1 kb lestvica (GeneRuler™ 1 kb DNA Ladder, ready-to-use)

0,1 µg/µl; shranjena v 10 mM Tris-HCl (pH 7,6), 10 mM EDTA, 0,005% bromofenol modro, 0,005% ksilen cianol FF, 10% glicerol; Fermentas Life Sciences

3.9.6 Kemikalije, encimi in pufri, ki smo jih uporabili za kloniranje in subkloniranje zapisa za hemolitično aktivnost seva *Stenotrophomonas* sp.

P7a-A1

0,1 M CaCl₂: 7,35 g CaCl₂×2H₂O (Merck) smo raztopili v 500 ml destilirane vode, raztopino sterilizirali z avtoklaviranjem in shranili pri 4°C

Restriktionska endonukleaza **BamHI**

10 U/µl; shranjena v 10 mM Tris-HCl (pH 7,4 pri 25°C), 200 mM NaCl, 1 mM DTT, 0,1 mM EDTA, 0,15% Triton X-100, 0,2 mg/ml BSA in 50% (v/v) glicerolu; Fermentas Life Sciences

Restriktionska endonukleaza **EcoRI**

10 U/µl; shranjena v 10 mM kalijevem fosfatu (pH 7,4 pri 25°C), 300 mM NaCl, 1 mM EDTA, 1 mM DTT, 0,2 mg/ml BSA, 0,15% Triton X-100 in 50% (v/v) glicerolu; Fermentas Life Sciences

Restriktijska endonukleaza *HindIII*

10 U/ μ l; shranjena v 10 mM Tris-HCl (pH 7,5 pri 25°C), 250 mM KCl, 1 mM DTT, 0,1 mM EDTA, 0,2 mg/ml BSA in 50% (v/v) glicerolu; Fermentas Life Sciences

Restriktijska endonukleaza *KpnI*

10 U/ μ l; shranjena v 10 mM Tris-HCl (pH 7,5 pri 25°C), 50 mM KCl, 1 mM DTT, 0,1 mM EDTA, 0,2 mg/ml BSA in 50% (v/v) glicerolu; Fermentas Life Sciences

Restriktijska endonukleaza *PstI*

10 U/ μ l; shranjena v 10 mM Tris-HCl (pH 7,4 pri 25°C), 200 mM NaCl, 1 mM DTT, 0,1 mM EDTA, 0,15% Triton X-100, 0,2 mg/ml BSA in 50% (v/v) glicerolu; Fermentas Life Sciences

Restriktijska endonukleaza *SalI*

10 U/ μ l; shranjena v 10 mM Tris-HCl (pH 7,4 pri 25°C), 100 mM KCl, 1 mM DTT, 0,1 mM EDTA, 0,2 mg/ml BSA in 50% (v/v) glicerolu; Fermentas Life Sciences

10×Pufer B

10 mM Tris-HCl (pH 8 pri 37°C), 5 mM MgCl₂, 100 mM NaCl in 1 mM 2-merkaptetoanol; Boehringer Manheim Biochemicals

Ligaza T4

5U/ μ l; shranjena v 20 mM Tris-HCl (pH 7,5), 1 mM DTT, 50 mM KCl, 0,1 mM EDTA in 50% (v/v) glicerolu; Fermentas Life Sciences

10 X T4 DNA pufer za ligacijo

400 mM Tris-HCl, 100 mM MgCl₂, 100 mM DTT, 5 mM ATP (pH 7,8 at 25°C); Fermentas Life Sciences

3.10 BAKTERIJSKI SEVI

Laboratorijski sev *E.coli* DH5 recA1 endA1 thi-1 hsdR17 supE44 gyrA96 (Nal^r) relA1 Δ(*lacZYA-argF*) (φ 80*lacZ* ΔM15); zbirka Katedre za molekularno genetiko in biologijo mikroorganizmov Oddelka za biologijo Biotehniške fakultete.

Laboratorijski sev **CL 247** (DH5) recA1 endA1 thi-1 hsdR17 supE44 gyrA96 (Nal^r) relA1 Δ(*lacZYA-argF*) (φ 80*lacZ* ΔM15) *pUC19 Ap*^r; zbirka Katedre za molekularno genetiko in biologijo mikroorganizmov Oddelka za biologijo Biotehniške fakultete (vir DSMZ, Deutsche Sammlung von Mikroorganismen und Zellkulturen GmbH)

4 REZULTATI

4.1 IZOLACIJA BAKTERIJ IN GOJENJE ČISTIH KULTUR

S fazno kontrastno mikroskopijo smo med pregledovanjem papilatnih regij spranih čreves petih navadnih prašičkov *P. scaber* na dveh preparatih (iz katerih smo pripravili vzorca P2 in P4) opazili prisotnost posameznih ali v rozetah razporejenih paličastih bakterij, ki so bile pritrjene na kutikularne trne stene zadnjega črevesa. Kljub natančnemu pregledovanju trdnih gojišč (katerih osnova je temeljila na gojišču za mikoplazme), ki smo jih hranili več mesecev, dokler niso postala neuporabna, predstavnikov iskanih mikoplazem nismo odkrili. Smo pa izolirali in uspešno gojili druge predstavnike indigene črevesne mikroflore *P. scaber* iz vseh sedmih vzorcev (P1-P5 (P1k-P5k), P6 (a,b), P7 (a,b)) zadnjega črevesa navadnega prašička. Večina bakterijskih kolonij in posledično tudi večina izbranih izolatov je zrasla na osnovnih gojiščih za mikoplazme, ki niso bila obogatena s konjskim ali humanim serumom (t.j. gojišče A in Z). Na teh gojiščih je bila številčnost bakterij največja, ni pa nikoli presegala 50 kolonij/ploščo. Makromorfološka raznolikost zraslih kolonij je bila majhna. Na gojiščih E in F ter Z, X in S, ki so vsebovala manjše volumne bogativte s konjskim serumom oziroma razredčeno osnovno gojišče s humanim serumom je zraslo manjše število kolonij, do 10. Izjema je bil vzorec P3, na katerem je zraslo več makromorfološko podobnih kolonij ne glede na vrsto uporabljenega gojišča (A, E, Z, X, V in J). Bakterij na močno obogatenih gojiščih (B, C, D ter Y, V(z izjemo vzorca P3), T in R) nismo uspeli izolirati.

Skupaj smo izolirali 19 izolatov. Izvor izolatov, gojišče, na katerem so zrasli v postopku izolacije in makromorfološki opis izolatov so podani v **Preglednici 6**. Poskušali smo izolirati čim bolj različne izolate in tako povečati verjetnost, da izoliramo tudi iskane paličaste mikoplazme.

Preglednica 6: Aerobni izolati iz zadnjega črevesa *P. scaber*, ter makromorfološki opis domnevno čistih kultur.

Izolat	Vir	Gojišče	Makromorfološki opis
P2-S5	P2	S	Rumena,okrogla
P2-W2	P2	W	Velika, bela, mazava, nepravilne oblike
P3-E2	P3	E	Svetlo oranžna, neprosojna, okrogla, dvignjena
P3-V1	P3	V	Bela,okrogla, mazava z mokro površino
P3-Z2	P3	Z	Oranžna, neprosojna, okrogla, dvignjena
P3-Z5	P3	Z	Rumena, okrogla
P3-Z6	P3	Z	Rumena, umbilicirana, z nepravilnim robom
P4-S3	P4	S	Rumena, neprosojna, okrogla, dvignjena
P4-X3	P4	X	Svetlorumena, svetleča, okrogla
P4-X5	P4	X	Bela, nepravilna, sluzasta
P4-X6	P4	X	Svetlorumena, rizoidna
P5-X1	P5	X	Drobna, bela, umbilicirana
P6a-Z1	P6a	Z	Svetlorjava, ploska, drobna
P6a-Z3	P6a	Z	Svetlorumena, z mokro povšino
P6a-Z4	P6a	Z	Svetlorumena, svetleča, z gladkim robom
P6a-W1	P6a	W	Rumena, rizoidna, dvignjena
P7a-A1	A1	A	Svetlorumena, svetleča, okrogla, dvignjena
P7a-A4	P7a	A	Prosojna, drobna, svetleča, nepravilne oblike
P7a-A16	P7a	A	Bela, ploska, nepravilna

Mikromorfologijo celic bakterijskih izolatov smo opazovali na gramsko obarvanih preparatih. Devet bakterijskih izolatov se je po Gramu barvalo nedvoumno pozitivno (P7a-A16, P3-E2, P2-S5, P3-Z2, P2-W2, P6a-W1, P4-S3, P3-Z5, P3-Z6), nadaljnjih sedem po Gramu negativno (P3-V1, P4-X5, P7a-A1, P4-X3, P4-X6, P6a-Z3, P6a-Z1), izolata P6a-Z4 in P7a-A4 spremenljivo, izolat P5-X1 pa se je obarval po Gramu šibko pozitivno oz. se ni barval.

Celice so bile mikromorfološko podobne; prevladovale so podaljšane kroglaste oblike ali kratke paličice v skupkih; posamične celice smo redko opazili. Pri izolatu P6a-Z1 so prevladovale pravilne kroglaste oblike, razporejene v parih in obdane z ovojnico. Celice izolata P2-S5 so bile prav tako kroglaste oblike v tetradih ali skupkih. Drobne podaljšane kroglaste celice so prevladovale pri izolatih P3-V1 in P4-X5. Celice izolata P7a-A4, ki se je po Gramu barval spremenljivo, so bile posamične kroglaste in kratke paličaste oblike,

občasno povezane v verige. Mikroskopski preparat izolata P5-X1, ki se po Gramu ni barval (oz. se je barval šibko pozitivno), je razkril drobne kroglaste oblike v verižicah, med katerimi so bili nameščeni filamenti.

Rezultati barvanja po Gramu in mikromorfološki opis so podani v **Preglednici 8**, skupaj z rezultati ostalih fenotipskih testov.

4.2 IDENTIFIKACIJA BAKTERIJSKIH IZOLATOV

Devetnajst izbranih bakterijskih izolatov smo na podlagi analize celotnega nukleotidnega zaporedja gena za 16S rRNA (izolati P2-S5, P3-Z2, P3-Z5, P3-Z6, P4-X3, P4-X5, P4-X6, P4-S3, P6a-Z3, P6a-Z4, P6a-W1) oziroma le dela gena (izolati P2-W2, P3-E2, P3-V1, P5-X1, P6a-Z1, P7a-A1, P7a-A4, P7a-A16) (Priloga A1 in Priloga A2) identificirali z orodjem Classifier RDP II.10 (RDP Naïve Bayesian rRNA Classifier Version 2.0, julij 2007) (<http://rdp.cme.msu.edu/html>) (Wang in sod., 2007) (z mejo zaupanja 80%). Izolate smo uvrstili v deset različnih rodov znotraj treh bakterijskih debel (*Proteobacteria*, *Firmicutes* in *Actinobacteria*). Osem izolatov smo uvrstili v deblo *Proteobacteria* (*Alphaproteobacteria* ter *Gammaproteobacteria*) in sicer predstavnika rodu *Ochrobactrum* (P3-V1 in P4-X5), *Enhydrobacter* (P6a-Z1) ter *Stenotrophomonas* (P7a-A1, P4-X3, P4-X6, P6a-Z3, P6a-Z4). V deblo *Actinobacteria* smo uvrstili devet izolatov in sicer predstavnike rodu *Microbacterium* (P6a-W1, P4-S3, P3-Z5, P3-Z6) in po en predstavnik rodu *Leucobacter* (P7a-A4), *Micrococcus* (P2-S5), *Brevibacterium* (P3-Z2), *Janibacter* (P2-W2) ter *Mycobacterium* (P5-X1). Deblo po Gramu pozitivnih bakterij z nizko vsebnostjo G+C *Firmicutes*, sta zastopala dva izolata iz rodu *Staphylococcus* (P7a-A16 in P3-E2).

V bazi RDP II.I0 (Cole in sod., 2009) smo z orodjem Sequence Match poiskali najbolj podobna nukleotidna zaporedja v zbirki sekvenc 16S rRNA (daljših in krajših od 1200 bp, tipskih in netipskih ter gojenih in negojenih mikrobnih sevov). Iskanje je zajemalo nukleotidna zaporedja, ki so bila v bazi podatkov 4. aprila 2010. Najbolj podobna nukleotidna zaporedja so pripadala izoliranim ali neizoliranim bakterijam iz različnih okolij (sedimentov, prsti, jezer, morij, rastlin, biofilmov, spužev, želv, dinoflagelatov,

gastrointestinalnega trakta rib, hroščev, morskih konjičkov) z raznoliko geografsko distribucijo (jezero na Filipinih, arktični led, puščava v Tibetu ...).

Nukleotidna zaporedja nekaterih bakterijskih izolatov so bila identična sekvencam v zbirki zaporedij 16S rRNA; nukleotidno zaporedje P3-V1 je bilo identično zaporedju izolata *Ochrobactrum cystisi* (EU1874959), sposobnemu razgradnje kinolonov; P7S-A1 sevu *S. maltophilia* (FJ772015) iz rizosfere ginsenga; P6a-Z1 izolatu *Moraxella* sp. (FJ006859) iz močvirja Wopo; P7a-A16 oz. P3-E2 neizolirani bakteriji iz ostrigarja (AY838464) oz. izolatu (AY669172) iz tropskega morskega sedimenta; P2-Z2 izolatu rodu *Terrabacter* sp. (EU741152) oz. neizoliranemu predstavniku *Janibacter* sp. (FN582323) iz črevesa morskega konjička.

Nekatere sekvence, podobne sekvencam naših izolatov, izvirajo iz prebavil, npr. hrošča *Dendroctonus valens* (*S. maltophilia* FJ811851) in larve *Agrilus planipennis* neizolirane bakterije (EU149115), rib *Epinephelus cosoides* izolat (EU5203322) in *Danio rerio* (neizolirana bakterija DQ814775) ter morskih konjičkov (*Hippocampus guttulatus*) (neizolirani *Janibacter* sp. FN582323), vendar nobena iz prebavila kopenskih rakov enakonožcev.

Rezultati analize nukleotidnih zaporedij 16S rRNA bakterijskih izolatov so prikazani v **Preglednici 7.**

Preglednica 7: Aerobni izolati iz zadnjega črevesa navadnega prašička *P. scaber*, gojišče, s katerega so bili izolirani, uvrstitev v taksonomsko kategorijo (gis...genus/rod) (rezultati analize 16S rRNA z orodjem RDP II.10 Classifier); najbolj podobna zaporedja v zbirkki sekvenc 16S rRNA (rezultati iskanja z orodjem RDP II.10 Sequence Match), točke podobnosti z izolati ter vir izolacije. **Preglednica 7** se nadaljuje na naslednjih straneh.

Gojišče	Izolat	Klasifikacija (gis)	Najbolj podobna zaporedja v bazi podatkov	Vrednosti podobnosti	Vir
V	P3–V1	<i>Ochrobactrum</i> sp.	<i>Ochrobactrum cytisi</i> (EU1874959)	1,000	biofilm, ki razgrajuje kinolon
			<i>Ochrobactrum</i> sp. (GU248309)	0,998	/
			<i>Alpha proteobacterium</i> (AY162044)	0,997	prst
			<i>Ochrobacterium anthropi</i> (AJ242576)	0,997	kmetijska prst
			<i>Ochrobactrum lupini</i> (T) (AY457038)	0,997	koreninski vršiček zrnate stročnice (<i>Lupinus albus</i>)
X	P4–X5	<i>Ochrobactrum</i> sp.	n.i.; <i>Ochrobactrum</i> sp. (EU560928)	1,000	združba, ki razgrajuje atrazin
			<i>Ochrobactrum</i> sp. (AY368533)	1,000	morska spužva (<i>Porifera</i>)
			<i>Ochrobactrum</i> sp. (EF025738)	1,000	kontaminiran sediment s PAH
			n.i. (EU675764)	1,000	globokomorski sediment
			<i>Ochrobactrum anthropi</i> (AY917113)	1,000	/
A	P7a–A1	<i>Stenotrophomonas</i> sp.	<i>Stenotrophomonas maltophilia</i> (FJ772015)	1,000	rizosfera (<i>Panax</i> sp.)
			<i>Stenotrophomonas</i> sp. (AJ870967)	0,992	obalna morska voda
			<i>Stenotrophomonas</i> sp. (EF178465)	0,989	riž (<i>Oryza sativa</i>)
			<i>Stenotrophomonas maltophilia</i> (FJ811851)	0,988	črevo hrošča (<i>Dendroctonus valens</i>)
			n.i. (DQ256347)	0,987	podtalnica (Kalahari, Južna Afrika)
X	P4–X3	<i>Stenotrophomonas</i> sp.	<i>Stenotrophomonas</i> sp. (AM403590)	0,983	/
			<i>Stenotrophomonas</i> sp. (AY826522)	0,947	hladilna voda jedrske elektrarne
			Izolat (FJ789666)	0,942	sojino steblo (<i>Glycine max</i>)
			n.i. (AB483258)	0,936	komunalne odplake
			<i>Stenotrophomonas</i> sp. (DQ664206)	0,933	sladkovodni ribnik
X	P4–X6	<i>Stenotrophomonas</i> sp.	<i>Stenotrophomonas</i> sp. (AM403590)	0,983	/
			<i>Stenotrophomonas</i> sp. (AY826522)	0,947	hladilna voda jedrske elektrarne
			<i>Stenotrophomonas</i> sp. (DQ208664)	0,939	/
			<i>Stenotrophomonas</i> sp. (AB461716)	0,930	sojino steblo (<i>Glycine max</i>)
			izolat (AY822507)	0,920	obmorski plotni slak (<i>Calystegia soldanella</i>)
Z	P6a–Z3	<i>Stenotrophomonas</i> sp.	<i>Stenotrophomonas</i> sp. (AM403590)	0,983	/
			n.i. (AB483258)	0,951	sojino steblo (<i>Glycine max</i>)
			<i>Stenotrophomonas</i> sp. (AY826522)	0,947	hladilna voda jedrske elektrarne
			Izolat (FJ789666)	0,938	komunalne odplake
			<i>Stenotrophomonas</i> sp. (GQ985466)	0,938	korenina bambusa (<i>Phyllostachys pubescens</i>)
Z	P6a–Z4	<i>Stenotrophomonas</i> sp.	<i>Stenotrophomonas</i> sp. (AM403590)	0,986	/
			<i>Stenotrophomonas</i> sp. (EU374956)	0,983	z oljem kontaminiran pesek
			n.i. (AB483258)	0,957	sojino steblo (<i>Glycine max</i>)
			<i>Stenotrophomonas</i> sp. (DQ208664)	0,955	/
			<i>Stenotrophomonas maltophilia</i> (DQ201397)	0,955	/
Z	P6a–Z1	<i>Enhydrobacter</i> sp.	<i>Moraxella</i> sp. (FJ006859)	1,000	močvirška voda (Wopo, Kitajska)
			n.i. (FJ790606)	0,995	roženec (puščava v Tibetu)
			n.i. <i>Enhydrobacter</i> sp. (EU305591)	0,980	čistilna naprava (Sanwayao, Kitajska)
			<i>Moraxella osloensis</i> (AJ505859)	0,976	jezerska voda
			n.i. (AB193927)	0,966	hidrotermalna voda

Gojišče	Izolat	Klasifikacija (gis)	Najbolj podobna zaporedja v bazi podatkov	Vrednosti podobnosti	Vir
A	P7a–A16	<i>Staphylococcus</i> sp.	n.i. (AY838464)	1,000	ostrigar (<i>Pleurotus eryngii</i>)
			<i>Staphylococcus</i> sp. (AM084016)	1,000	/
			Izolat (EU520332)	1,000	gastrointestinalni trakt ribe (<i>Epinephelus coioides</i>)
			n.i. (FM874433)	1,000	prah žimnice
			<i>Staphylococcus hominis</i> subsp. <i>Hominis</i> (AJ717375)	0,997	alkalna podtalnica
E	P3–E2	<i>Staphylococcus</i> sp.	Izolat (AY669172)	1,000	tropski morski sediment
			<i>Staphylococcus</i> sp. (AB166964)	1,000	globokomorski sediment (Kumano-nada, Japonska)
			<i>Staphylococcus</i> sp. (AJ551159)	0,997	vulkansko blato No.3, (Nankai Trough, Japonska)
			Izolat (AF468443)	0,995	led arktičnega morja
			<i>Staphylococcus</i> sp. (AM158918)	0,994	globokomorski sediment (Indijski ocean, Indija)
A	P7a–A4	<i>Leucobacter</i> sp.	<i>Leucobacter komagatae</i> (FJ544397)	0,854	/
			<i>Leucobacter</i> sp. (EU118777)	0,849	kontaminirana prst s težkimi kovinami
			n.i. <i>Leucobacter</i> sp. (EU371574)	0,837	lupina ostrige (<i>Ostrea edulis</i>)
			Izolat (AF479358)	0,831	12000 let star led (Sajama, Bolivija)
			<i>Leucobacter alluvii</i> (EU741108)	0,815	morski sediment
S	P2–S5	<i>Micrococcus</i> sp.	<i>Micrococcus</i> sp. (AY561623)	1,000	kontaminirani sediment z jedrskimi odpadki
			<i>Micrococcus</i> sp. (DQ4488770)	1,000	morski sediment
			<i>Micrococcus</i> sp. (FJ457276)	1,000	mahovnjaki (<i>Bryozoa</i>)
			<i>Micrococcus</i> sp. (FJ898316)	1,000	izvir (Kitajska)
			<i>Micrococcus</i> sp. (AJ871948)	0,995	sedimenti mangrov
Z	P3–Z2	<i>Brevibacterium</i> sp.	<i>Brevibacterium</i> sp. (DQ643097)	0,984	/
			n.i. <i>Brevibacterium</i> sp. (FJ493070)	0,977	naftni vzorec
			<i>Brevibacterium</i> sp. (AY949021)	0,976	obalna voda (Kitajska provinca Guangdong)
			Izolat (EU476029)	0,964	oralni izločki (<i>Ips pini</i>)
			Izolat (FJ223850)	0,953	spužva (<i>Porifera</i> , Mehniški zaliv)
W	P2–W2	<i>Janibacter</i> sp.	<i>Terrabacter</i> sp. (EU741152)	1,000	peščena plaža
			n.i. <i>Janibacter</i> sp. (FN582323)	1,000	črevesna vsebina gojenih morskih konjičkov (<i>Hippocampus guttulatus</i>)
			<i>Terrabacter</i> sp. (DQ060379)	0,997	arktični morski sediment
			<i>Intrasporangiaceae</i> bakterija (EF065608)	0,989	z Agent Orange in herbicidi kontaminirana zemlja
			<i>Janibacter</i> sp. (AY769994)	0,935	bakterija, ki razgraje dibenzofuran
W	P6a–W1	<i>Microbacterium</i> sp.	<i>Microbacterium</i> sp. (DQ350882)	0,992	vrtna zemlja (bakterija, ki razgraje ksantan)
			<i>Microbacterium</i> sp. (DQ785816)	0,958	bakterija, ki razgraje 4-klorobenzojsko kislino
			n.i. (DQ814775)	0,946	prebavni trakt gojene zebrike (<i>Danio rerio</i>)
			<i>Microbacterium</i> sp. (FJ999574)	0,940	spužva (<i>Haliclona simulans</i>)
			<i>Microbacterium</i> sp. (GQ284466)	0,940	vodni vzorec
S	P4–S3	<i>Microbacterium</i> sp.	<i>Streptomyces</i> sp. (GU223092)	0,995	morsko dno
			Izolat (AF125112)	0,969	voda
			n.i. aktinobakterija (EU626187)	0,965	tla
			n.i.; (EU418702)	0,951	blato iz čistilne naprave
			n.i. aktinobakterija (GQ144781)	0,950	morska spužva (Kitajsko morje)

Gojišče	Izolat	Klasifikacija (gis)	Najbolj podobna zaporedja v bazi podatkov	Vrednosti podobnosti	Vir
Z	P3-Z5	<i>Microbacterium</i> sp.	<i>Microbacterium</i> sp. (EF016520)	0,976	jezerska voda
			<i>Microbacterium</i> sp. (EF600004)	0,959	vrtna prst
			n.i. (EU149115)	0,952	črevo larve (<i>Agrilus planipennis</i>)
			n.i. <i>Actinobacterium</i> (EU140909)	0,951	morska spužva (<i>Hymeniacidon perleve</i>)
			<i>Microbacterium</i> sp. (AB192362)	0,946	jezerska voda
Z	P3-Z6	<i>Microbacterium</i> sp.	n.i. (FJ932396)	0,921	jezero Taal (Filipini)
			<i>Microbacterium</i> sp. (AB266564)	0,919	dinoflagelat
			<i>Microbacterium</i> sp. (DQ530119)	0,918	rizosfera (<i>Glycine max</i>)
			n.i. (AB483195)	0,911	sojino steblo (<i>Glycine max</i>)
X	P5-X1	<i>Mycobacterium</i> sp.	<i>Microbacterium</i> sp. (AF489290)	0,907	spužva (<i>Verongida</i> sp.)
			<i>Mycobacterium fortuitum</i> (AY509249)	0,981	želva (<i>Trionyx sinensis</i>)
			<i>Mycobacterium fortuitum</i> (AY513242)	0,981	siamska bojna ribica (<i>Betta splendens</i>)
			<i>Mycobacterium farcinogenes</i> (AF055333)	0,979	/
			<i>Mycobacterium conceptionense</i> (AM884286)	0,979	/
			<i>Mycobacterium fortuitum</i> (EU741213)	0,974	peščena plaža (Kostarika, Srednja Amerika)

n.i....neizolirana bakterija; /...vir izolacije ni podan; PAH...policiklični aromatski ogljikovodiki

4.3 FENOTIPSKA OPREDELITEV BAKTERIJSKIH IZOLATOV

Devetnajst bakterijskih izolatov, ki smo jih izbrali na podlagi zanimive ter edinstvene morfologije ali/in domnevne prisotnosti na vsaj treh različnih gojiščih smo v nadaljevanju naloge natančneje fenotipsko opredelili. Pigmentiranost kolonij, rezultati barvanja po Gramu, mikromorfološki opis, rast pri temperaturi 37°C ter hemolitična, celulazna in hitinolitična aktivnost bakterijskih izolatov iz navadnega prašička *P. scaber* so prikazani v **Preglednici 8.**

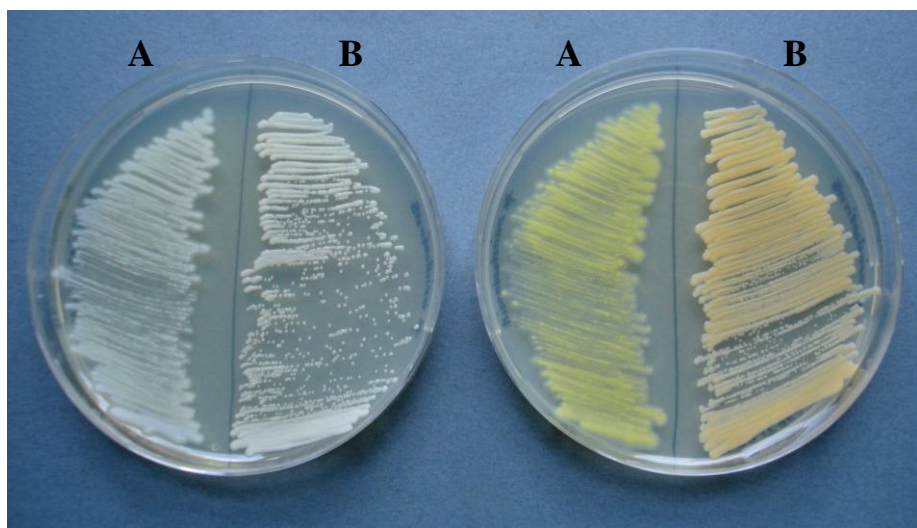
4.3.1 Rast pri temperaturi 37°C

Rast pri temperaturi 37°C na trdnih gojiščih po LB smo opazili pri osmih izolatih (*Ochrobactrum* sp. P3-V1, *Enhydrobacter* sp. P6a-Z1, *Staphylococcus* sp. P7a-A16 in P3-E2, *Leucobacter* sp. P7a-A4, *Micrococcus* sp. P2-S5 ter *Microbacterium* sp. P6a-W1 in P3-Z6). Pri izolatih *Staphylococcus* sp. P7a-A16 in P3-E2 ter *Micrococcus* sp. P2-S5 smo pri 37°C opazili nekoliko hitrejšo rast bakterijskih kolonij kot pri običajni temperaturi gojenja (22°C). Drugi izolati (vsi predstavniki rodu *Stenotrophomonas*: P7a-A1, P4-X3, P4-X6, P6a-Z3, P6a-Z4, izolat *Brevibacterium* P3-Z2, *Janibacter* P2-V2, *Mycobacterium* P5-X1 ter *Ochrobactrum* P4-X5) pri temperaturi 37°C niso rastli ali pa so bile njihove kolonije maloštevilne.

4.3.2 Fotokromogenost

Bakterijski izolati *Ochrobactrum* sp. P3-V1 in P4-X5, *Staphylococcus* sp. P7a-A16, *Leucobacter* sp. P7a-A4, *Janibacter* sp. P2-W2 in *Mycobacterium* sp. P5-X1 niso tvorili pigmenta; njihove kolonije so bile bele ne glede na svetlobne razmere inkubacije. Tvorbo pigmentov (fotokromogenost) smo opazili pri izolatih *Brevibacterium* sp. P3-Z2 ter *Microbacterium* sp. P6a-W1, P3-Z6 in P3-Z5. Kolonije so bile po inkubaciji v temi neobarvane oziroma bele, izpostavljenost svetlobi pa je povzročila tvorbo oranžnega oziroma rumenega pigmenta (**Slika 2**). Skotokromogeni bakterijski izolati so tvorili pigment neodvisno od svetlobnih razmer, v katerih smo jih inkubirali; kolonije petih sevov iz rodu *Stenotrophomonas* (P7a-A1, P4-X3, P4-X6, P6a-Z3 in P6a-Z4) so bile svetlo

rumeno obarvane, kolonije izolatov *Enhydrobacter* sp. P6a-Z1 in *Staphylococcus* sp. P3-E2 svetlo rjave oziroma oranžne, kolonije sevov *Micrococcus* sp. P2-S5 ter *Microbacterium* sp. P4-S3 pa izrazito rumene barve.



Slika2: Fotokromogenost bakterijskih izolatov iz črevesa navadnega prašička (*P.scaber*) (A...*Microbacterium* sp. P6a-W1; B...*Brevibacterium* sp. P3-Z2; plošča na levi je bila inkubirana v temi, plošča na desni pa na svetlobi)

Preglednica 8: Pigmentiranost kolonij, rezultati barvanja po Gramu, mikromorfološki opis, rast pri temperaturi 37°C ter hemolitična, celulolitična in hitinolitična aktivnost bakterijskih izolatov iz navadnega prašička (*P. scaber*).

Izolat	Pigmentiranost kolonij	Gram	Mikromorfološki opis	Rast pri	Hemoliza	Hidroliza	Hidroliza
				37°C	CMC	CH	
<i>Ochrobactrum</i> sp. P3–V1	–	–	majhne podaljšane kroglaste oblike v skupkih	+	–	++	–
<i>Ochrobactrum</i> sp. P4–X5	–	–	majhne podaljšane kroglaste oblike	–	–	+++	–
<i>Stenotrophomonas</i> sp. P7a–A1	svetlo oranžna	–	kratke paličice, posamične in v parih	–	+	–	–
<i>Stenotrophomonas</i> sp. P4–X3	Svetlo rumena	–	kratke paličice, posamične in v krajiših verigah	–	–	+	+
<i>Stenotrophomonas</i> sp. P4–X6	Svetlo rumena	–	kratke, ravne paličice; posamično ali v skupkih	–	–	–	–
<i>Stenotrophomonas</i> sp. P6a–Z3	Svetlo rumena	–	kratke, ravne paličice; posamično ali v skupkih	–	–	+	–
<i>Stenotrophomonas</i> sp. P6a–Z4	Svetlo rumena	var	podaljšane kroglaste oblike	–	–	–	–
<i>Enhydrobacter</i> sp. P6a–Z1	svetlo rjava	–	pravilne kroglaste celice v parih v ovojnici	+	–	+	–
<i>Staphylococcus</i> sp. P7a–A16	–	+	pravilne kroglaste celice v skupkih	+	–	++	–
<i>Staphylococcus</i> sp. P3–E2	svetlo oranžna	+	pravilne kroglaste celice v skupkih	+	–	++	–
<i>Leucobacter</i> sp. P7a–A4	–	var	kroglaste oblike, kratke paličice posamično, v kratkih verigah	+	+	–	–
<i>Micrococcus</i> sp. P2–S5	rumena	+	pravilne kroglaste oblike v tetradih in skupkih	+	–	++	–
<i>Brevibacterium</i> sp. P3–Z2	oranžna ^a	+	kratke paličice	–	–	++	–
<i>Janibacter</i> sp. P2–W2	–	+	podaljšane kroglaste oblike, posamično, občasno v nepravilnih gručah	–	–	+	–
<i>Microbacterium</i> sp. P6a–W1	rumena ^a	+	kroglaste in kratke paličaste oblike	+	–	++	–
<i>Microbacterium</i> sp. P4–S3	rumena	+	kratke paličice, skupki	+/-	–	+	–
<i>Microbacterium</i> sp. P3–Z5	rumena ^a	+	kratke paličice, skupki	+/-	–	+++	–
<i>Microbacterium</i> sp. P3–Z6	rumena ^a	+	posamične kratke paličice, v verigi	+	–	++	–
<i>Mycobacterium</i> sp. P5–X1	–	šibko+/neob.	drobne kroglaste oblike v verižicah; filamenti	–	–	–	–

Pigmentiranost kolonij: –...ni pigmenta, ^a...fotoinduktivna produkcija pigmenta (fotokromogenost); Gram...barvanje po Gramu: + (–)... celice se barvajo po Gramu pozitivno (negativno), var...celice se barvajo po Gramu spremenljivo, šibko+/neob. ...celice se barvajo po Gramu šibko pozitivno oz. se ne barvajo; Rast pri 37°C: + (–)...rast (ni rasti), +/-... šibka rast; Hemoliza: + (–)... hemoliza (ni hemolize); Hidroliza CMC (karboksimetil celuloze); velikost neobarvanega polja: +...do 5 mm, ++...0,5 mm-1 cm, +++...>1 cm, –...ni hidrolize; Hidroliza CH (hitina): + (–)...hidroliza (ni hidrolize)

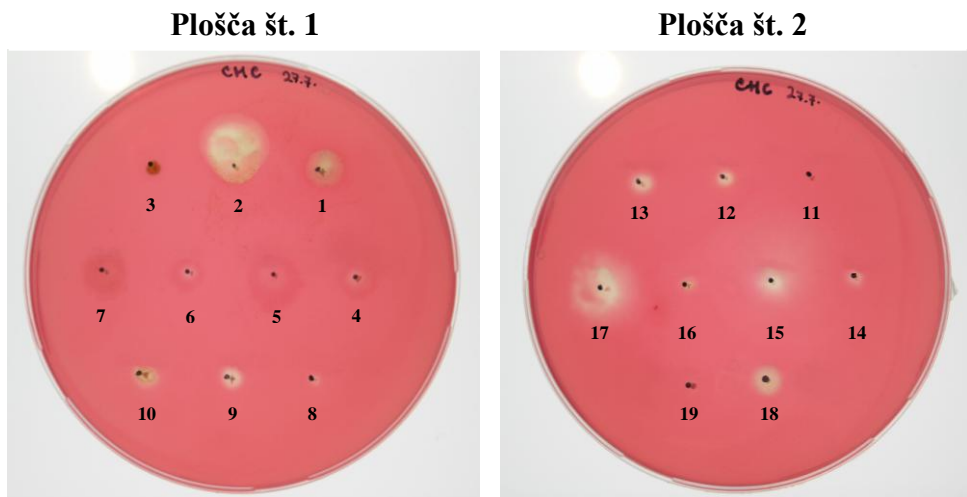
4.3.3 Hemolitična aktivnost

Pri devetnajstih izolatih smo pojav lize govejih eritrocitov na plošči krvnega agarja opazili le okoli kolonij sevov *Stenotrophomonas* sp. P7a-A1 in *Leucobacter* sp. P7a-A4. β – hemoliza (t. j. popolna liza eritrocitov, ki jo ponazarja prosojna cona) se je razvila šele po 96-tih oz. 130-tih urah inkubacije pri 22°C. Hemolitične aktivnosti, omejene le na področje pod kolonijo, ki je lahko zaradi dolgega inkubacijskega časa posledica metabolnih produktov, nismo upoštevali. Izolat *Stenotrophomonas* sp. P6a-Z3 tudi po večkratnem nacepljanju na plošči krvnega agarja ni rasel.

4.3.4 Celulazna in hitinolitična aktivnost

Sposobnost ekstracelularne razgradnje CMC-celuloze je imela večina bakterijskih izolatov. Neobarvana območja okoli oz. pod kolonijami preiskovanih sevov, ki so pomenila hidrolizo celuloze, so bila različno velika. Največje neobarvano območje (premera 1 cm) in s tem celulazno aktivnost smo opazili pri izolatih *Ochrobactrum* sp. P4-X5 in *Microbacterium* sp. P3-Z5. Le nekaj milimetrov veliko neobarvano polje ali polje vidno šele po odstranitvi bakterijske kolonije je bilo opaziti pri naslednjih izolatih: *Stenotrophomonas* sp. P4-X3, P6a-Z3, *Enhydromyces* sp. P6a-Z1, *Janibacter* sp. P2-W2 in *Microbacterium* sp. P4-S3. Izolati *Ochrobactrum* sp. P3-V1, *Staphylococcus* sp. P7a-A16 in P3-E2, *Micrococcus* sp. P2-S5, *Brevibacterium* sp. P3-Z2, *Microbacterium* sp. P6a-W1 ter P3-Z6 so imeli nekoliko večjo sposobnost hidrolize CMC-celuloze (premer neobarvanega polja manj kot 5 mm). Le pet izolatov, trije so pripadali rodu *Stenotrophomonas* sp. (P7a-A1, P4-X6, P6a-Z4), *Leucobacter* sp. P7a-A4 ter *Mycobacterium* sp. P5-X1 CMC-celuloze.

Slika 3 prikazuje celulazno aktivnost devetnajst bakterijskih izolatov.



Slika 3: Celulazna aktivnost bakterijskih izolatov iz črevesa navadnega prašička (*P.scaber*) (na plošči gojišča s karboksimetil celulozo št.1 si od desne proti levi sledijo: 1...*Ochrobactrum* P3-V1; 2...*Ochrobactrum* P4-X5; 3...*Stenotrophomonas* P7a-A1; 4...*Stenotrophomonas* P4-X3; 5...*Stenotrophomonas* P4-X6; 6...*Stenotrophomonas* P6a-Z3; 7...*Stenotrophomonas* P6a-Z4; 8...*Enhydrobacter* P6a-Z1; 9...*Staphylococcus* P7a-A16; 10...*Staphylococcus* P3-E29; na plošči gojišča s karboksimetil celulozo št.2 si od desne proti levi sledijo: 11...*Leucobacter* P7a-A4; 12...*Micrococcus* P2-S5; 13...*Brevibacterium* P3-Z2; 14...*Janibacter* P2-W2; 15...*Microbacterium* P6a-W1; 16...*Microbacterium* P4-S3; 17...*Microbacterium* P3-Z5; 18...*Microbacterium* P3-Z6; 19...*Mycobacterium* P5-X1)

Hidroliza celuloze je vidna kot neobarvano območje.

Sposobnost razgradnje koloidnega hitina smo opazili le pri izolatu *Stenotrophomonas* P4-X3. Kolonija izolata je po štirinajstdnevni inkubaciji pri 22°C dosegla velikost 1,5 cm; zbirstritvena cona pa 1 cm. (**Slika 4**).



Slika 4: Sposobnost razgradnje hitina bakterijskega izolata *Stenotrophomonas* sp. P4-X3 (kolonija levo spodaj) (hidrolizo hitina ponazarja zbistritvena cona v sicer motnem gojišču)

4.3.5 Občutljivost za protimikrobne snovi

Občutljivost posameznih bakterijskih izolatov za protimikrobne snovi je prikazana v **Preglednici 9**. Vsi izolati so bili občutljivi za rifampin; premer inhibicijske cone sevov *Ochrobactrum* sp. P4-X5 in *Staphylococcus* sp. P7a-A16 je meril več kot 6 cm.

Med najbolj občutljive lahko na podlagi rezultatov uvrstimo seve *Enhydrobacter* sp. P6a-Z1 ter tri predstavnike rodu *Microbacterium*, t.j. seve P6a-W1, P3-Z5 in P3-Z6. Med najbolj odporne pa sodijo po Gramu negativni predstavniki rodu *Ochrobactrum* sp. P3-V1 in P4-X5 ter sevi iz rodu *Stenotrophomonas* P7a-A1, P4-X3, P4-X6, P6a-Z3 ter P6a-Z4.

Večina izolatov je bila občutljivih za ciprofloxacin ali pa odpornosti proti oz. občutljivosti za ciprofloxacin nismo mogli določiti. Vsi predstavniki rodov *Ochrobactrum* (seva P3-V1 in P4-X5) in *Stenotrophomonas* (sevi P7a-A1, P4-X3, P4-X6, P6a-Z3 in P6a-Z4) ter sevi *Micrococcus* sp. P2-S5, *Brevibacterium* sp. P3-Z2 ter *Janibacter* sp. P2-W2 so bili odporni proti trimetoprimu. Zadnji trije so bili skupaj z izolati *Enhydrobacter* sp. P6a-Z1, *Staphylococcus* sp. P7a-A16 in *Microbacterium* sp. P3-Z6 občutljivi tudi za eritromicin. Predstavniki rodov *Ochrobactrum* sp. in *Stenotrophomonas* sp. ter *Brevibacterium* sp. P3-Z2, *Janibacter* sp. P2-W2 in *Mycobacterium* sp. P5-X1 so bili odporni proti β-laktamskim antibiotikoma ampicilinu in penicilinu medtem, ko sta bila izolata *Micrococcus* sp. P2-S5 ter *Microbacterium* sp. P3-Z5 občutljiva za obo omenjena antibiotika. Le trije izolati, in

sicer *Ochrobactrum* sp. P3-V1, *Leucobacter* sp. P7a-A4 ter *Microbacterium* sp. P4-S3 so bili odporni proti streptomycinu.

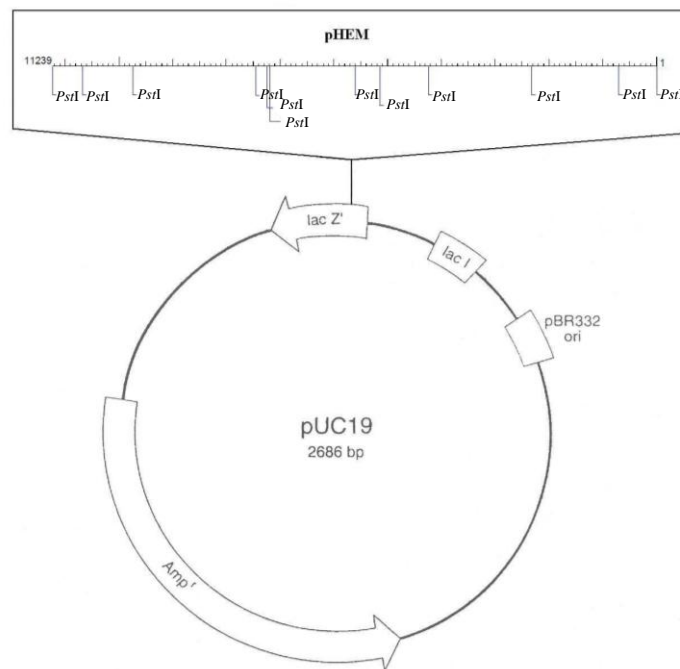
Preglednica 9: Občutljivost za protimikrobnne snovi bakterijskih izolatov iz zadnjega črevesa navadnega prašička *P. scaber* (RA-15...rifampin 15 µg, CIP-5...ciprofloxacim 5 µg, TMP-5...trimetoprim 5 µg, E-2...eritromicin 2 µg, S-10...streptomycin 10 µg, AM-10...ampicilin 10 µg, P-10...penicilin 10 U)

Izolat	RA-15	CIP-5	TMP-5	E-2	S-10	AM-10	P-10
<i>Ochrobactrum</i> sp. P3-V1	S	S	R	R	R	R	R
<i>Ochrobactrum</i> sp. P4-X5	S	S	R	R	S	R	R
<i>Stenotrophomonas</i> sp. P7a-A1	S	S	R	I	I	R	R
<i>Stenotrophomonas</i> sp. P4-X3	S	S	R	R	S	R	R
<i>Stenotrophomonas</i> sp. P4-X6	S	S	R	R	S	R	R
<i>Stenotrophomonas</i> sp. P6a-Z3	S	I	R	R	I	R	R
<i>Stenotrophomonas</i> sp. P6a-Z4	S	I	R	R	I	R	R
<i>Enhydrobacter</i> sp. P6a-Z1	S	S	S	S	S	S	I
<i>Staphylococcus</i> sp. P7a-A16	S	S	S	S	S	R	I
<i>Staphylococcus</i> sp. P3-E2	S	S	S	R	S	S	R
<i>Leucobacter</i> sp. P7a-A4	S	I	S	R	R	S	R
<i>Micrococcus</i> sp. P2-S5	S	S	R	S	S	S	S
<i>Brevibacterium</i> sp. P3-Z2	S	I	R	S	I	R	R
<i>Janibacter</i> sp. P2-W2	S	S	R	S	S	R	R
<i>Microbacterium</i> sp. P6a-W1	S	S	S	I	S	S	I
<i>Microbacterium</i> sp. P4-S3	S	I	I	I	R	S	R
<i>Microbacterium</i> sp. P3-Z5	S	S	S	I	S	S	S
<i>Microbacterium</i> sp. P3-Z6	S	S	S	S	S	S	I
<i>Mycobacterium</i> sp. P5-X1	S	S	I	R	S	R	R

R...odporen, S...občutljiv, I...intermediaren (nedoločljivo)

4.4 GENETSKA OPREDELITEV ZAPISA ZA HEMOLITIČNO AKTIVNOST IZOLATA *Stenotrophomonas* sp. P7a-A1

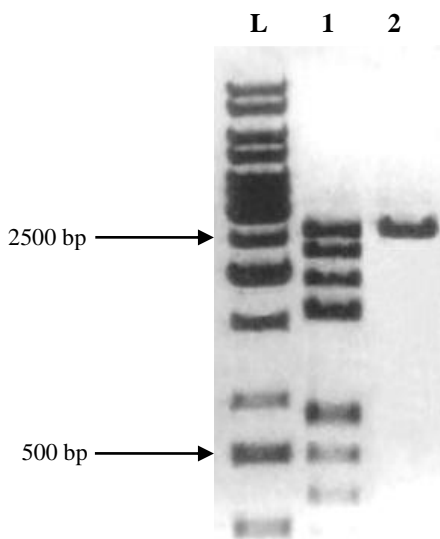
4.4.1 Kloniranje in analiza nukleotidnega zaporedja regije, ki kodira hemolitično aktivnost



Slika 5: Plazmidni vektor pUC19 z 11,3 kbp dolgim vključkom kromosomske DNA izolata *Stenotrophomonas* sp. P7a-A1

Med pregledovanjem in iskanjem rekombinantnih transformant z zapisom za hemolitično aktivnost na gojiščih krvnega agarja z Ap smo cono lize eritrocitov po 24-urni inkubaciji pri 37°C opazili le okoli kolonije klona, ki smo ga poimenovali pHEM. Neobarvane kolonije klona, ki so zrasle po nacepitvi na ploščah gojišča LB z Ap in X-Gal so potrdile prisotnost rekombinantnega plazmida. Velikost DNA vključka klona pHEM smo ugotovili z agarozno gelsko elektroforezo s *PstI* rezane plazmidne DNA (**Slika 6**). Ugotovili smo, da je vključek dolg približno 11,3 kbp. Nukleotidno zaporedje DNA vključka (Priloga B) smo

ugotovili s sekvenciranjem s postopkom sprehajanja z začetnimi oligonukleotidi (ang. "primer walking") (Švica).



Slika 6: Elektroforetska ločitev fragmentov plazmidne DNA klona pHEM po restrikciji z restriktazo *PstI* (od leve proti desni si sledijo: **L**...1 kb lestvica, **1**...s *PstI* rezana plazmidna DNA pHEM; **2**...s *PstI* rezana plazmidna DNA vektorja pUC19)

11239 bp dolgo nukleotidno zaporedje vključka pHEM vsebuje 11 popolnih odprtih bralnih okvirjev (ang. open reading frame): *orfA1*, *orfA2*, *orfA3*, *orfA4* (bralni okvir +1); *orfB1*, *orfB3* (bralni okvir +2); *orfC1*, *orfC2*, *orfC3* (bralni okvir +3); *orfF1* in *orfF2* (bralni okvir -3; komplementarna DNA veriga) ter delni odprti bralni okvir *orfB2* (**Preglednica 10**). Predvideni *orf*-i niso tesno kolinearno organizirani – dve večji nekodirajoči regiji sta med *orfA2* in *orfC1* (588 bp) ter *orfB3* in *orfF2* (803 bp).

OrfA1 in *orfB1* se delno prekrivata za 355 nukleotidov (**Slika 7**). Njuni homologi v bazah podatkov so iz sevov *Stenotrophomonas maltophilia* R551-3, *S. maltophilia* K279a in *Stenotrophomonas* sp. SKA14.

Med primerjavo kodirajočih regij z zaporedji v bazi podatkov GenBank se je pokazalo, da je prišlo do napačne religacije dveh *PstI* fragmentov kromosomske DNA seva *Stenotrophomonas* P7a-A1. Tako je 11,3 kbp dolg fragment v resnici sestavljen iz dveh nekolinearnih delov velikosti 5612 bp ter 5627 bp (prepoznavno mesto za *PstI* v fragmentu pHEM je na poziciji 5147/5143 v smeri 5'→3' kodirajoče verige).

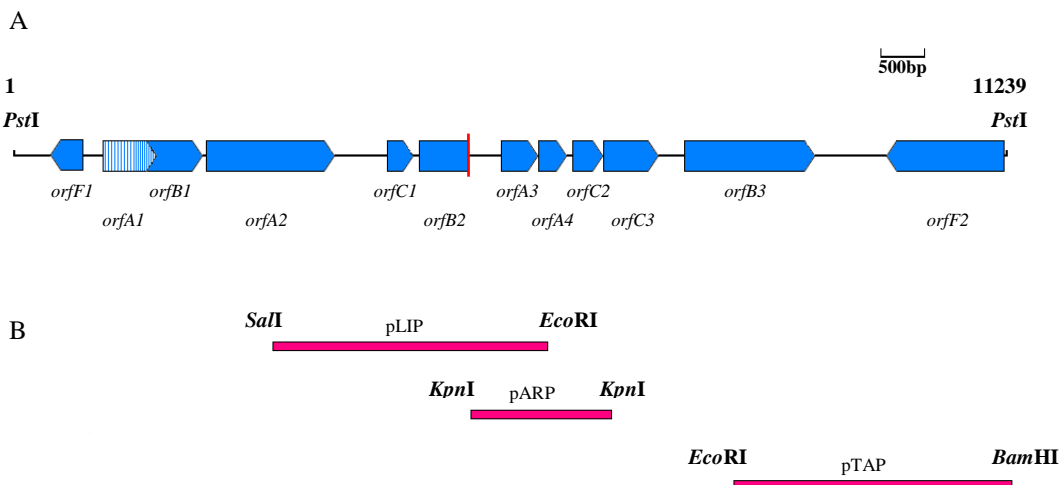
Preglednica 10: Analiza 11239 bp dolgega nukleotidnega zaporedja pHEM (*orf...*odprt bralni okvir; mesto nt...mesto v nukleotidnem zaporedju (v oklepaju so navedeni alternativni iniciacijski kodoni); število aa...število kodirajočih aminokislin) ter rezultati primerjave BLAST (homologni protein; številka v bazi proteinskih zaporedij UniProtKB oz. GenBank (homologni proteini *Stenotrophomonas* sp. SKA14) in odstotek podobnosti)

Orf	Mesto nt	Število aa	Homologni protein	Številka v banki	Organizem	% podobnosti
<i>orfF1</i>	411-779	122	signalna transdukcijska histidinska kinaza domnevni protein dvokomponentni senzor histidinske kinaze	Q025Y3 EAQ55833.1 EED25688.1	<i>Solibacter usitatus</i> Ellin6076 <i>Vibrio</i> sp. MED222 <i>Vibrio parahaemolyticus</i> 16	44 38 40
<i>orf A1</i>	1009-1614	201	RNA-metil transferaza ohranjen domnevni protein metiltransferaza	EED41037.1 B2FLW3 B4SS15	<i>Stenotrophomonas</i> sp.SKA14 <i>Stenotrophomonas maltophilia</i> K279a <i>Stenotrophomonas maltophilia</i> R551-3	80 80 77
<i>orfB1</i>	1343-2131	262	pantetein-fosfat adenililtransferaza fosfopanteteinfosfat adenililtransferaza domnevni fosfopanteteinfosfat adenililtransferaza	B4SS16 B2FLW4 CBA16429	<i>Stenotrophomonas maltophilia</i> R551-3 <i>Stenotrophomonas maltophilia</i> K279a <i>Xanthomonas albilineans</i>	92 91 88
<i>orfA2</i>	2176-3636	486	eksinukleaza ABC, podenota B eksinukleaza ABC, podenota B eksinukleaza ABC, podenota B	EED39542.1 B4SQN5 B0RRD9	<i>Stenotrophomonas</i> sp. SKA14 <i>Stenotrophomonas maltophilia</i> R551-3 <i>Xanthomonas campestris</i> pv. <i>campestris</i> str. B100	90 90 89
<i>orfC1</i>	4224-4532	102	NLP/P60 lipoprotein domnevni lipoprotein	B4SQZ1 EED38966.1 B2FP30	<i>Stenotrophomonas maltophilia</i> R551-3 <i>Stenotrophomonas</i> sp. SKA14 <i>Stenotrophomonas maltophilia</i> K279a	90 89 89
<i>orfB2</i>	4601-5362	253	zunanji membranski lipoprotein NLP/P60 hidrolaza v celični steni	EED38969.1 B4SQZ2 B2FP31	<i>Stenotrophomonas</i> sp. SKA14 <i>Stenotrophomonas maltophilia</i> R551-3 <i>Stenotrophomonas maltophilia</i> K279a	72 73 88
<i>OrfA3</i>	5518-5934 (GTG)	138	AtsE domnevni protein domnevni ARP protein	EED39968.1 B4SKZ9 B2FTQ6	<i>Stenotrophomonas</i> sp. SKA14 <i>Stenotrophomonas maltophilia</i> R551-3 <i>Stenotrophomonas maltophilia</i> K279a	74 73 72
<i>orfA4</i>	5938-6261	107	tioredoksinska domena domnevni tioredoksin tioredoksin	B4SKZ8 B2FTQ5 Q8PR57	<i>Stenotrophomonas maltophilia</i> R551-3 <i>Stenotrophomonas maltophilia</i> K279a <i>Xanthomonas axonopodis</i> pv. <i>citri</i> str.306	67 68 58
<i>orfC2</i>	6324-6674	116	domnevni protein domnevni protein ohranjen domnevni protein	B2FTR0 B4SL04 EED40506	<i>Stenotrophomonas maltophilia</i> K279a <i>Stenotrophomonas maltophilia</i> R551-3 <i>Stenotrophomonas</i> sp. SKA14	79 78 77
<i>orfC3</i>	6678-7304 (GTG)	208	domnevni protein ohranjen domnevni protein domnevni protein	B4SL03 EED37153.1 B2FTQ9	<i>Stenotrophomonas maltophilia</i> R551-3 <i>Stenotrophomonas</i> sp.SKA14 <i>Stenotrophomonas maltophilia</i> K279a	77 76 76
<i>orfB3</i>	7400-9082	495	prolinski/betainski transporter domnevni prolin/betain transporter splošni substratni transporter	EED39093.1 B2FTQ7 B4SL01	<i>Stenotrophomonas</i> sp. SKA14 <i>Stenotrophomonas maltophilia</i> K279a <i>Stenotrophomonas maltophilia</i> R551-3	87 87 86
<i>orfF2</i>	9885-11216 (ATC)	443	protein z domeno TAP domnevna ekstralcelularna proteaza cisteinska proteinaza	B4SMW4 B2FMJ5 EED37928.1	<i>Stenotrophomonas maltophilia</i> R551-3 <i>Stenotrophomonas maltophilia</i> K279a <i>Stenotrophomonas</i> sp. SKA14	69 68 67

AtsE...protein za pritrjevanje na gostiteljsko celico, ARP(*angl. attachment related protein*)...prolin, udeležen v pritrjevanju bakt. na gostiteljske celice

Večina *orf*-ov kaže visoko stopnjo homologije z aminokislinskimi zaporedji v bazi podatkov, ki kodirajo produkte velikosti od 102 do 495 aminokislinskih ostankov. Najbolj sorodna zaporedja izvirajo iz endofitske vrste seva *S. maltophilia* R551-3, dušik-fiksirajočega *Stenotrophomonas* sp. SKA-14 ter kliničnega izolata *S. maltophilia* K279a.

Enajst od dvanajstih *orf*-ov je ohranjenih v sevih P7a-A1 ter *S. maltophilia* R551-3, K279a in *Stenotrophomonas* sp. SKA14. Izjema je le *orfF1*, ki kodira 122 aminokislinskih ostankov velik produkt in se le delno ujema s histidinsko kinazo seva *Solibacter usitatus* Ellin6076 (44%) oz. *Vibrio parahaemolyticus* 16 (40%).



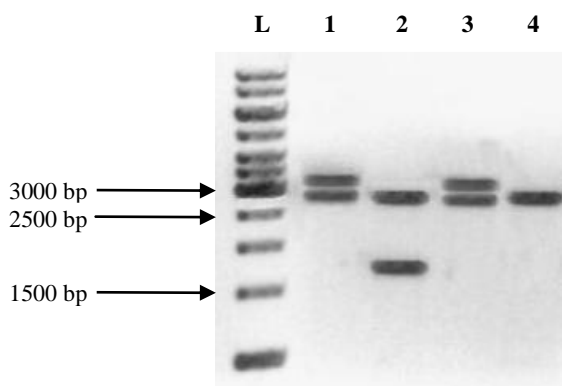
Slika 7: A Predvideni odprti bralni okvirji DNA vključka pHEM. *OrfA1* (označen z navpičnimi redkimi modrimi črtami) in *orfB1* se prekrivata (prekrivajoče mesto ponazarjajo navpične goste modre črte) (rdeča navpična črta ponazarja mesto v nukleotidnem zaporedju, kjer je prišlo do napačne religacije dveh DNA fragmentov)

B Shematski prikaz subkloniranja 11,3 kbp DNA fragmenta (rožnato obarvani pravokotniki ponazarjajo izbrane DNA fragmente, nastale po restrikciji z ustreznimi pari restriktaz, kot je prikazano na sliki, in vstavljene v plazmidni vektor pUC19)

4.4.2 Subkloniranje

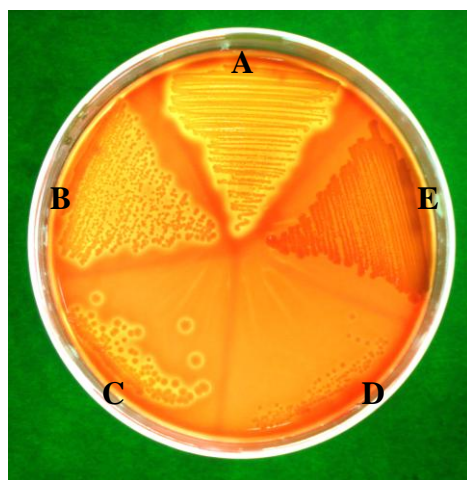
Med homolognimi proteini v bazi podatkov nismo odkrili hemolizina oziroma proteinov s citolitično funkcijo. Da bi ugotovili, kateri del kodirajočega zaporedja pHEM posreduje hemolitično aktivnost *E.coli* DH5, smo 11,3 kbp DNA fragment subklonirali. Izbrane fragmente DNA, nastale po restrikciji 11,3 kbp DNA vključka z restriktijskimi edonukleazami *BamHI-EcoRI* (3,1 kbp) (mesto v nukleotidnem zaporedju pHEM: 8130-11239 in del poliklonskega mesta vektorja pUC19 od prepoznavnega mesta za restriktazo *PstI* do prepoznavnega mesta za *BamHI*), *SalI-EcoRI* (3,1 kbp) (mesto v nukleotidnem zaporedju pHEM: 2906-6019) ter *KpnI* (1,6 kbp) (mesto v nukleotidnem zaporedju pHEM: 5122-6739) smo po ločitvi z agarozno gelsko elektroforezo klonirali v plazmidni vektor pUC19 in vnesli v celice *E.coli* DH5. Restrikcija izolirane plazmidne DNA iz posameznih rekombinantnih klonov z ustreznimi restriktazami je potrdila prisotnost DNA vključkov ustrezne velikosti, to je 3,1 kbp velik fragment *BamHI-EcoRI* v klonu pTAP, 3,1 kbp velik fragment *SalI-EcoRI* v klonu pLIP ter 1,6 kbp velik fragment *KpnI* v klonu pARP.

Slika 7B prikazuje shemo subkloniranja 11,3 kbp dolgega fragmenta pHEM.



Slika 8: Elektroforetska ločitev fragmentov DNA, nastalih po restrikciji z ustreznimi restriktazami oz. pari restriktaz (od leve proti desni si sledijo: **L**...1 kb lestvica; **1**...plazmidna DNA pLIP, rezana z *EcoRI* in *SalI*; **2**... plazmidna DNA pARP, rezana s *KpnI*; **3**... plazmidna DNA pTAP, rezana z *BamHI* in *EcoRI*; **4**... plazmidni vektor pUC19, rezan s *KpnI*)

Pri klonih pLIP in pTAP smo po 30 oz. 40 urah inkubacije pri 37°C zasledili hemolitično aktivnost na gojiščih s krvnim agarjem z Ap, vendar je bila cona lize eritrocitov okoli posameznih kolonij obeh klonov manjša in manj izrazita v primerjavi s klonom pHEM. Klon pARP z 1,6 kbp velikim DNA vključkom na plošči krvnega agarja z Ap ni imel hemolitične aktivnosti.



Slika 9: Hemoliza klona pHEM (A) in subklonov pTAP (B) ter pLIP (C) na krvnem agarju z ampicilinom (D...nehemolitičen fenotip klona pARP; E...negativna kontrola; nerekombinant pUC19 v celicah *E. coli* DH5)

1618 bp velik fragment *KpnI* subklona pARP vsebuje tri popolne *orf*-e: *orfA3*, *orfA4* ter *orfC2*, ki ne posredujejo hemolitične aktivnosti klona pHEM. 138 aminokislinskih ostankov velik produkt *orfA3* je homologen proteinom, udeleženim v pritrjevanju bakterij na gostiteljske celice, in sicer 74% AtsE *Stenotrophomonas* sp. SKA14; 73% domnevnuemu proteinu seva *S. maltophilia* R551-3 ter 72% ARP seva *S. maltophilia* K279a. *OrfA4* ter *orfC2* kodirata produkta s 107 oz. 116 aminokislinskimi ostanki, ki sta sorodna tioredoksinski domeni seva *S. maltophilia* R551-3 (67% stopnja identičnosti) (tioredoksinu seva K279a (68%) oz. tioredoksinu seva *Xanthomonas axonopodis* pv. citri str. 306 (58%)) oz. proteinu z ohranjeno domeno PhdYeFM z neznano funkcijo.

Subklon pLIP *SalI-EcoRI* poleg delnega *orfB2* in zapisa za protein, ki je udeležen v pritrjevanje na gostiteljske celice (*orfA3*) (ki je prisoten tudi na klonu pARP), kodira tudi

102 aminokislinskih ostankov velik polipeptid (*orfC1*) z visoko stopnjo identičnosti s proteinom NLP/P60 seva *S. maltophilia* R551-3 (90%) oz. lipoproteinom seva *Stenotrophomonas* sp. SKA14 (89%) in seva K279a (89%). 253 aminokislinskih ostankov velik produkt delnega *orfB2* je podoben lipoproteinu v zunanji membrani seva *Stenotrophomonas* sp. SKA14 (72%) oz. proteinu NLP/P60 seva *S. maltophilia* R551-3 (73%) ter hidrolazi v celični steni seva K279a (88%). Ohranjeni domeni NLP/P60 in COG0791 najdemo v številnih lipoproteinah in hidrolazah v celični steni bakterij, povezanih z invazijo v gostiteljske celice. Predvidevamo, da je sposobnost lize eritrocitov kodirana z *orfC1* ali pa *orfB2* (kljub napačni ligaciji fragmentov in posledično verjetne prisotnosti le delnega *orf*-a ne vemo, ali je protein nefunkcionalen), saj klon pARP, ki prav tako vsebuje *orfA3*, ni hemolitičen.

3110 bp dolgo nukleotidno zaporedje klena pTAP *EcoRI-BamHI* predvidoma kodira del proteina, homolognega prolinskemu/betainskemu transporterju (*orfB3*) ter 443 aminokislinskih ostankov velik polipeptid (*orfF2*), ki verjetno posreduje hemolizo subklona pTAP. Njegovi homologi v bazi aminokislinskih zaporedij so protein z domeno TAP seva *S. maltophilia* R551-3 (69% stopnja homologije) oz. ekstracelularna proteaza seva *S. maltophilia* K279a z iminopeptidazno aktivnostjo (68% stopnja homologije) oz. cisteinska proteinaza seva *Stenotrophomonas* SKA14 (67% stopnja homologije). Ohranjena domena COG0596 je prisotna v številnih hidrolazah oziroma aciltransferazah; protein z domeno TAP pa je del družine esteraz in lipaz, ki cepijo estrske vezi.

Primarne funkcije homologov (določene na podlagi homologije ali izolacije in opredelitve proteinov) produktov *orfC1*, *orfB2* in *orfF2*, ki glede na rezultate subkloniranja posredujejo hemolizo celicam *E.coli* DH5 in predvidoma sevu *Stenotrophomonas* P7a-A1, še niso bile povezane s citolitično aktivnostjo.

5 RAZPRAVA IN SKLEPI

5.1 RAZPRAVA

5.1.1 Izolacija in identifikacija bakterijskih izolatov

S tradicionalnimi mikrobiološkimi in nekaterimi preprostejšimi fenotipskimi metodami smo skušali opredeliti izolate iz zadnjega črevesa kopenskega raka enakonožca *P. scaber*. Za izolacijo bakterij smo uporabili različna agarizirana gojišča, katerih osnova je temeljila na gojiščih za mikoplazme, ki smo jim dodali različne volumne bogatitve s konjskim oz. humanim serumom. S tem smo poskušali povečati uspešnost izolacije paličastih mikoplazem, do sedaj opredeljenih le z molekularno biološkimi metodami. Te zaobidejo vse omejitve tradicionalnih mikrobioloških metod in teoretično zajamejo vse predstavnike mikrobne združbe (tradicionalne metode pa praviloma manj kot 1%) in so zato primernejše za raziskave raznolikosti in strukture združbe (Steven in sod., 2007). Tradicionalne metode, ki temeljijo na osamitvi in gojenju mikroorganizmov, so resda dolgotrajne, a na drugi strani omogočajo njihovo izolacijo in izvedbo preiskav, ki vodijo v razumevanje fiziologije in genetike le-teh. Paličastih bakterij, pritrjenih na kutikularne trne stene zadnjega črevesa sicer nismo uspeli izolirati, smo pa zato izolirali druge predstavnike črevesne združbe. Morfološko zanimive in edinstvene izolate smo izbrali za nadaljnjo opredelitev in identifikacijo na osnovi analize nukleotidnega zaporedja gena za 16S rRNA.

Devetnajst izbranih izolatov se je uvrstilo v 10 različnih rodov iz treh bakterijskih debel. Osem izolatov je pripadalo deblu *Proteobacteria* (*Alpha* ter *Gammaproteobacteria*): predstavnika rodov *Ochrobactrum* in *Enhydrobacter* ter pet izolatov iz rodu *Stenotrophomonas*. V deblu *Actinobacteria* se je uvrstilo devet izolatov in sicer štirje predstavniki iz rodu *Microbacterium* in po en predstavnik rodu *Leucobacter*, *Micrococcus*, *Brevibacterium*, *Janibacter* ter *Mycobacterium*. Deblo po Gramu pozitivnih bakterij z nizko vsebnostjo G+C (*Firmicutes*) sta zastopala le dva izolata iz rodu *Staphylococcus*. Med izbranimi izolati ni nobenega predstavnika črevesne mikrobiote, opisane z molekularno biološkimi metodami, kar pa ni presenetljivo, saj smo najverjetneje izolirali predstavnike t.i. redke biosfere (Pedros-Alio, 2006). S tradicionalnimi mikrobiološkimi

metodami, ki temeljijo na gojenju mikrobov na ali v gojiščih namreč praviloma izoliramo prav te, manjšinske populacije, zato ker je ključni dejavnik njihova sposobnost rasti v laboratorijskih razmerah na ponujenih gojiščih in ne npr. njihova številčnost v preučevanem ekosistemu.

Ko smo iskali podobna nukleotidna zaporedja v zbirki sekvenc 16S rRNA smo ugotovili, da so pripadala neizoliranim bakterijam ali redkeje izolatom, ki so ubikvitarno zastopani v najrazličnejših okoljih. Čeprav nismo uspeli izolirati predstavnika '*Candidatus Bacilloplasma*', je bilo med izbranimi izolati nekaj predstavnikov zanimivih bakterijskih rodov. Odločili smo se, da podrobnejše proučimo nekatere fenotipske in genotipske lastnosti teh izolatov in tako prispevamo nova znanja k razumevanju strukture in vloge mikrobne združbe, ki živi v prebavilu navadnega prašička.

5.1.2 Fenotipska opredelitev bakterijskih izolatov

Po nekajtedenskem precepljanju izoliranih bakterijskih sevov smo domnevno čiste kulture barvali po Gramu. Trije izolati so se po Gramu barvali variabilno oz. se niso barvali. Fenotipski test ne omogoča vedno nedvojumnega razlikovanja med grampozitivnimi in gramnegativnimi kulturami bakterij. Nekateri pripadniki po Gramu pozitivnih firmikutov se pogosto barvajo po Gramu variabilno ali pa celo po Gramu negativno, npr. člani vampnega rodu *Butyrivibrio* (Cheng in Costerton, 1977). Morfološke razlike smo opazili med svežimi kulturami, ki so bile običajno v obliki paličic in starejšimi kulturami, ki so bile pogosteje kroglaste oblike. Uporabnost barvanja po Gramu na nepoznanih ali slabo poznanih in neopredeljenih okoljskih vzorcih je tako omejena, zato je gramsko pripadnost nujno potrebno potrditi še z drugimi testi, npr. katalaznim testom s KOH.

Večina izolatov je pri temperaturi 37°C slabo zrasla oz. rasti nismo zaznali. Ker rasti pri drugih temperaturah nismo ugotavljali, izolatov ne moremo opredeljevati glede na njihovo sposobnost rasti pri različnih temperaturah.

Fotoinduktivno produkcijo pigmentov smo opazili pri izolatih *Brevibacterium* sp. P3-Z2 ter *Microbacterium* sp. P6a-W1, P3-Z6 in P3-Z5. Pojav fotokromogenosti – fotoinducibilne produkcije pigmentov je sicer najbolje opisan in raziskan pri

mikobakterijah, a je splošno razširjen fenomen tudi med aktinomicetami, kjer svetloba običajno inducira karotenogenezo. Ločimo dva tipa kromogeneze: prvi je t.i. eukromogeneza oz. sinteza pigmentov *de novo*, drugi pa pseudokromogeneza. Pri slednji se bodisi eksogeni substrat z delovanjem encimov pretvori v pigment (tip I) bodisi se predhodni metabolit v bakteriji pretvori v obarvano ali neobarvano komponento (tip II; t.i. fotokemično obarvanje oz. razbarvanje). Eukromogeneza je lahko inducibilna, kjer kot induktorji služijo svetloba, temperatura ali kemijske spojine ali pa konstitutivna, kjer je pigment vedno prisoten in je lahko pomemben fenotipski znak (Koyama 1991). Fotokromogenost je odvisna še od nekaterih drugih dejavnikov – temperature, kisika in pogojev oz. časa osvetljevanja oz. izpostavljenosti svetlobi. Tako so pri sevih iz rodu *Mycobacterium* opazili razlike v tvorbi pigmenta pri različnih temperaturah inkubacije – večina sevov pri 28°C ni tvorila pigmenta (Tsukamura, 1981). Zato se postavlja vprašanje – ali smo med izbranimi izolati zaradi razmer, v katerih smo fotoinducibilno produkcijo pigmentov testirali, morebiti spregledali še kakšen fotokromogeni izolat.

V nefotosintetskih organizmih fotokromogeni pigmenti običajno ščitijo pred reaktivnimi kisikovimi zvrstmi in s tem organizem pred poškodbami, lahko pa oz. so vključeni v patogenezo (npr. *Staphylococcus aureus*) – ščitijo pred uničujočo fagocitno obrambo.

5.1.3 Celulolitična aktivnost

Celuloza – primarni produkt fotosinteze v kopenskih okoljih, je najbolj razširjeni obnovljivi vir, ki nastaja v biosferi (Holtapple, 1993; Jarvis, 2003; Zhang in Lynd, 2004b). Skupaj z ligninom in hemicelulozo predstavlja glavno strukturno komponento višjih rastlin (Zgang in sod., 2006). Biološka razgradnja celuloze s celulazami, ki jih proizvajajo mnogi mikroorganizmi predstavlja glavni tok ogljika iz organsko fiksirane oblike v atmosferski CO₂. (Berner, 2003; Falkowski in sod., 2000; Melillo in sod., 2002).

Celuloza je linearni polimer D-anhidroglukopiranove, vezane z β-1,4-glikozidnimi vezmi. Ponavlajoča enota celuloze je anhidrocelobioza (Zgang in sod., 2006); število glukozidnih enot je v molekulah celuloze različno, niha pa tudi stopnja polimerizacije. Celuloza je kemično homogena, strukturno pa raznolika – z amorfnnimi predeli, kjer celulozne verige niso tesno povezane, in kristaliničnimi območji, kjer vodikove vezi znotraj in zunaj verige

povzročijo nastanek urejene strukture celuloznih mikrofibril. Prav pri slednji gre za obliko polisaharida, ki je najbolj odporna proti encimski razgradnji. (Gilbert in Hazlewood, 1993).

Celulolitični mikrobi v splošnem slabo izrabljajo proteine ali lipide kot vir energije za rast, poleg celuloze pa lahko zkoriščajo oz. razgrajujejo tudi druge ogljikove hidrate, bolj omejene so le anaerobne celulolitične vrste (Sukumaran in sod., 2005). Za izrabo oziroma razgradnjo netopne celuloze celulolitični mikrobi proizvajajo zunajcelične celulaze. V procesu hidrolize sinergistično sodelujejo endoglukanaze, eksoglukanaze ali cellobiohidrolaze ter β -glukozidaze (Henrissat, 1994; Knowles in sod., 1987; Lynd in sod., 2002; Teeri, 1997; Wood in Garcia-Campayo, 1990; Zhang in Lynd, 2004b).

Bakterije, ki zaidejo v prebavilo skupaj z zaužito hrano, so za kopenske enakonožce, ki se hranijo z lesom in listno steljo zelo pomembne. Bakterije lahko pomagajo vzdrževati ustrezne razmere v črevesu za razgradnjo (prebavo), so vir nutrientov ali ekstracelularnih encimov. Večina (kar 14 od 19 bakterijskih izolatov) je imela sposobnost razgradnje topne CMC-celuloze, kar do neke mere potrjuje predvidevanja nekaterih avtorjev, da bodisi zaužite bakterije bodisi indigene bakterije v prebavnem traktu s svojimi hidrolitičnimi encimi pomagajo pri razgradnji težko razgradljivih polisaharidov. Navsezadnje, tudi Kostanjšek in sod. (2010), ki so prvi uspešno klonirali in opredelili endogene endo- β -1,4-glukanaze v hepatopankreasnih celicah navadnega prašička, ne izključujejo vloge encimov zaužitih bakterij pri razgradnji celuloze oz. sinergističnega sodelovanja tako endogenih kot tudi eksogenih encimov.

5.1.4 Hitinolitična aktivnost

Hitin, ki je poleg celuloze eden izmed najbolj razširjenih polisaharidov na zemeljski obli, je netopni linearni homopolimer N-acetyl- β -D-glukozaminskih enot, povezanih z β -1,4-glikozidnimi vezmi (Shahidi in Abuzaytoun, 2005). Je pomembna strukturna komponenta rakov, gliv, praživali in insektov (Flach in sod., 1992), medtem ko ga rastline, vretenčarji in prokarionti ne vsebujejo.

Hitinaze - encime, ki katalizirajo razgradnjo hitina in jih najdemo v mnogih različnih organizmih: virusih, bakterijah, glivah, insektih, višjih rastlinah in živalih, tudi tistih, ki hitina nimajo. Imajo pomembno fiziološko in ekološko vlogo (Cody in sod., 1990; Duo-Chuan, 2006; Gooday, 1990); sodelujejo npr. pri morfogenezi celičnih sten in zunanjih skeletov (Gooday, 1977; Roberts in Selitrennikoff, 1987). Mnoge bakterije, predvsem predstavniki rodov *Aeromonas*, *Serratia*, *Vibrio*, *Streptomyces* in *Bacillus* (Cody, 1989) lahko uporabljajo hitin kot vir energije. Nekatere bakterijske hitinaze so pomembne za biološki nadzor rastlinskih bolezni, ki jih povzročajo različne fitopatogene glive (Chernin in sod., 1997; Downing in Thomson, 2000).

Sposobnost razgradnje hitina smo opazili le pri izolatu *Stenotrophomonas* sp. P4-X3. O prisotnosti hitinaz pri bakterijah tega rodu so že poročali in celo klonirali ter molekularno opisali odgovorni gen (Kobayashy in sod., 2002). Hitinaze naj bi skupaj z številnimi metaboliti, kot so maltofilin in ksantobaktin, ki so še posebej pogosto zastopani pri okoljskih izolatih, sodelovale v protiglivnem delovanju tega mikroorganizma in imajo velik biotehnološki potencial.

Vloga oz. prisotnost hitinolitičnih bakterij v črevesu navadnega prašička je nejasna. Morda sodelujejo pri razgradnji hitinskih struktur, ki pokriva zadnje in srednje črevo ter tako pomagajo pri levitvi, ali pa podobno kot v rizosferi sodelujejo pri nadzoru patogenih mikroorganizmov, t.j. gliv v črevesu.

5.1.5 Hemolitična aktivnost

Hemolizo govejih eritrocitov na krvnem agarju smo opazili le pri 2 izolatih, uvrščenih v rod *Leucobacter* (v literaturi o njegovi hemolitični naravi ne poročajo) in enem od petih izolatov iz rodu *Stenotrophomonas*.

Predstavniki rodu *Stenotrophomonas* so navzoči v izjemno raznovrstnih okoljih in geografskih regijah ter so izjemno fenotipsko in genotipsko heterogeni. Imajo pomembno vlogo pri kroženju snovi v naravi, v bioremediaciji in biotehnologiji. Številne vrste imajo nenavadno visok hidrolitičen potencial in producirajo raznovrstne ekstracelularne encime –

DNaze, RNaze, proteaze, lipaze, elastaze in kot že omenjeno hitinaze. *S. maltophilia* pa je tudi pomemben oportunističen patogen (Berg in sod., 2005).

O hemolitični naravi te izredno zanimive bakterije ne vemo kaj dosti; hemolizo so opazili tako pri kliničnih kot tudi okoljskih izolatih, vendar se mnenja avtorjev o tipu hemolize razlikujejo – medtem ko Denton in Kerr (1998) navajata α -hemolizo, večina drugih navaja β -hemolizo, ki se pojavi šele po 96 urah (Chhibber in sod., 2008; Garcia in sod., 2002). Sekvenca genomov sevov *S. maltophilia* R551-3 in K279a je razkrila prisotnost zapisa za hemolizin, soroden hemolizinu III iz vrste *Bacillus cereus*. Hemolizin III je trikomponentni bakterijski toksin, pri katerem sta vezava na celično membrano in tvorba por temperaturno odvisni, kasnejša liza eritrocitov pa je neodvisna od temperature (Baida in Kuzmin, 1996). Ker hemolizin predstavnikov rodu *Stenotrophomonas* še nikoli ni bil molekulsко kloniran in genetsko opredeljen, smo se odločili bolje spoznati genetsko ozadje citolizina izolata *Stenotrophomonas* sp. P7a-A1. Vendar pa kloniranje in analiza nukleotidnega zaporedja DNA vključka kromosomske DNA hemolitičnega seva *Stenotrophomonas* sp. P7a-A1 ni prinesla pričakovanih in predvsem jasnih rezultatov. Med homologi produktov *orf*-ov v bazi podatkov nismo odkrili hemolizina ali citolitičnih proteinov oz. komponent. Poleg porinov imajo namreč citolitične lastnosti tudi fosfolipaze in proteini z detergenskim delovanjem (Alouf, 2002).

Sukloniranje je pokazalo, da hemolitično aktivnost kodirata (kodirajo) *orfF2* in *orfC1* ali (in) *orfB2*. Homologi v proteinski bazi so bili protein z domeno TAP (esteraza/lipaza) in lipoprotein seva *S. maltophilia* R551-3 oz. zunanji membranski lipoprotein seva *Stenotrophomonas* SKA14. O hemolitični lastnostih le-teh je v literaturi malo podatkov – lipoprotein s hemolitično aktivnostjo so izolirali in opredelili Khowala in sod. (1993) iz glive *Termitomyces clypeatus*; gen za esterazo iz *Pasteurellle multocida* pa v anaerobnih razmerah posreduje hemolizo celicam *E. coli* (Hunt in sod., 2000). Potrebno pa je poudariti, da je raba izraza hemolizin omejena, saj številni proteini poleg eritrocitov lizirajo druge evkarijntske celice ali pa le druge celice in ne eritrocitov (Alouf 2002). Sev *Stenotrophomonas* sp. P7a-A1 pa za razliko od večine okoljskih izolatov ni imel niti celulolitične niti hitinolitične aktivnosti.

5.1.6 Občutljivost za protimikrobne snovi

Antibiotiki so kemijske spojine biološkega izvora, ki povzročajo smrt mikroorganizmov oz. zavirajo njihovo rast. Delujejo kot močan selekcijski pritisk na bakterijske populacije, ki so sposobne hitro razviti mehanizme za odpornost; ti vključujejo encime za razgradnjo učinkovin ali mutacije porinov, celičnih proteinov, ki onemogočajo vezavo antibiotikov in črpalk, ki antibiotike izčrpavajo. Naravne antibiotike označujemo s skupnim imenom protimikrobne unčinkovine.

Vzorec občutljivosti za oz. odpornosti bakterijskih izolatov proti testiranim protimikrobnim učinkovinam je v skladu z opazovanji mnogih avtorjev (Bhadra in sod., 2008; Martin in sod., 1997; Rantala in sod., 2004; Thoma in sod., 2009; Trujillo in sod., 2004).

Vsi izolati so bili občutljivi za rifampin in večina za ciprofloxacim. Med najbolj občutljive seve lahko na podlagi rezultatov uvrstimo izolat *Enhydrobacter* sp. ter tri predstavnike rodu *Microbacterium*. Najbolj odporni izolati pa so bili predstavniki rodov *Stenotrophomonas* in *Ochrobactrum*. V ta rodova sodijo znani oportunistični patogeni ki so zmožni bivalentnih interakcij tako z rastlinami kot tudi človeškim gostiteljem; mehanizmi, ki na eni strani omogočajo kolonizacijo rizosfere in posredujejo antagonizem proti rastlinskim patogenom, so namreč zelo podobni tistim, ki omogočajo kolonizacijo človeških tkiv in organov ter patogenost. Multipla odpornost proti antibiotikom pa ni omejena le na klinične izolate; pogosto je povezana tudi z okoljskimi sevi, še posebej izolati iz rizosfere. Kompeticija, prisotnost številnih različnih antibiotikov in horizontalni genski prenos v omenjenem mikrookolju pomembno prispevajo k naravni odpornosti (Berg in sod., 2005). Prisotnost multirezistentnih sevov v okoljih, kot so prebavilo kopenskega raka enakonožca ali voda Antarktike (De Souza in sod.) pa zastavlja nova vprašanja o izvoru in pomenu takšnih fenotipov.

5.2 SKLEPI

V sklopu naše naloge sicer nismo uspeli izolirati paličastih baciloplazem, ki se pritrjajo na kutikularne izraste papilatnega dela črevesa, smo pa zato izolirali in delno opisali nekatere druge zanimive in najverjetnejše indigene ali avtohtone predstavnike prebavne mikrobiote navadnega prašička:

- devetnajst sevov, ki smo jih izolirali iz prebavila navadnega prašička, smo po primerjalni analizi nukleotidnih zaporedij genov za 16S rRNA uvrstili v 10 različnih bakterijskih rodov, ki sodijo v tri bakterijska debla. Nobeden od izolatov se ne uvršča v katero od opisanih mikrobnih skupin, ki so jih odkrili z molekularno biološkimi pristopi. Verjetno zato, ker predstavljajo t.i. redko biosfero, torej manjšinske populacije, ki jih z običajnimi molekularnimi metodami ne zaznamo;
- pri nekaterih izolatih smo odkrili celulolitično aktivnost, pri enem pa tudi hitinolitično aktivnost. To kaže, da ti mikroorganizmi morda sodelujejo pri prehranskih procesih svojega gostitelja, ki se pretežno prehranjuje prav s strurnimi polisaharidi, ali pa sodelujejo v procesih biokontrole glivnih patogenov;
- pri dveh izolatih smo odkrili dokaj močno hemolitično aktivnost in pri enem, t.j. pri sevu *Stenotrophomonas* sp. P7a-A1 molekularno genetsko opisali zapis, ki to aktivnost domnevno kodira. Primerjalna analiza nukleotidnih zaporedij odprtih bralnih okvirjev, ki to aktivnost domnevno posredujejo, je pokazala, da klonirani »geni« niso podobni doslej opisanim in poznanim hemolizinom;
- pri izoliranih sevih smo preučili tudi občutljivost za oz. odpornost proti nekaterim protimikrobnim snovem. Izolati iz rodov *Stenotrophomonas* in *Ochrobactrum* so bili odporni proti večini testiranih antibiotikov, izolati iz rodov *Enhydrobacter* in *Microbacterium* pa so bili nasprotno občutljivi za vse oz. večino antibiotikov. Vsi izolati so bili občutljivi za rifampin.

6 POVZETEK

Navadni prašiček *P. scaber* je razširjena vrsta kopenskih rakov enakonožcev. Čeprav se – podobno kot nekateri drugi členonožci prehranjuje s celulozo in z drugimi kompleksnimi polimeri bogatim rastlinskim materialom, je podatkov o mikroorganizmih, ki naseljujejo njegov prebavni trakt in bi mu pri razgradnji kompleksnih polisaharidov pomagali, zelo malo.

Čeprav nekateri raziskovalci menijo, da je prebavilo navadnega prašička zaradi svoje anatomske preprostosti, domnevno aerobnih razmer in pogostih levitev kutikule, ki prekriva steno črevesa, neprimerno okolje za razvoj avtohtone oz. indigene mikrobiote, so z elektronsko mikroskopijo opazili paličaste bakterije, ki se s konci pritrjajo na kutikularne izrastke črevesne stene v t.i. papilatni regiji v zadnjem delu črevesa. Z molekularnimi metodami so nato ugotovili, da omenjene bakterije predstavljajo doslej še nepoznano vejo mikoplazem in jo poimenovali '*Candidatus Bacilloplasma*'. V naši diplomske nalogi smo poskušali s tradicionalnimi mikrobiološkimi metodami izolacije na primernih gojiščih omenjene mikroorganizme osamiti in gojiti v laboratorijskih razmerah, kar bi omogočilo nadaljnja preučevanja teh zanimivih bakterij.

Na različnih agariziranih gojiščih, ki so v osnovi temeljila na poznanem gojišču za izolacijo mikoplazem, smo osamili večje število bakterijskih izolatov. Po preliminarnih fenotipskih preiskavah smo izbrali 19 morfološko različnih in zanimivih izolatov in jih identificirali z modernim molekularnim pristopom, t.j. s primerjalno analizo sekvenc genov, ki kodirajo ribosomsko molekulo v manjši ribosomalni podenoti (16S rRNA). Izolate smo uvrstili v tri bakterijska debla (*Proteobacteria*, *Actinobacteria* in *Firmicutes*) in znotraj le teh v 10 različnih rodov – *Ochrobactrum*, *Stenotrophomonas*, *Enhydrobacter*, *Staphylococcus*, *Leucobacter*, *Micrococcus*, *Brevibacterium*, *Janibacter*, *Microbacterium* in *Mycobacterium*. Preučevani izolati ne spadajo v mikrobne skupine, ki so bile doslej že opažene v prebavnem traktu navadnega prašička, bodisi z molekularnimi bodisi s tradicionalnimi mikrobiološkimi metodami. To ne preseneča, ker smo najverjetneje izolirali predstavnike t.i. redke biosfere, torej manjšinskih populacij, ki jih z molekularnimi metodami običajno ne odkrijemo. Ker smo v naši nalogi izbrali dokaj specifična mikrobna gojišča, ki favorizirajo rast le nekaterih mikrobov, tudi to, da jih

doslej še niso odkrili v prebavnem traktu navadnega prašička s tradicionalnimi metodami, ne preseneča.

Izolate smo v nadaljevanju podrobnejše fenotipsko opredelili. Polovica izolatov ni rasla pri temperaturi 37°C; izolati rodov *Brevibacterium* in *Microbacterium* pa so med inkubacijo na svetlobi tvorili živo oranžen oz. rumen pigment. Pri večini izolatov smo odkrili sposobnost razgradnje topne CMC-celuloze, hitinolitično aktivnost pa le pri izolatu *Stenotrophomonas* sp. P4-X3. Te bakterije torej morda s svojo hidrolitično aktivnostjo v resnici pomembno prispevajo k razgradnji kompleksnih biopolimerov v prebavilih navadnega prašička in s tem k prehrani gostitelja, morda pa sodelujejo tudi pri nadzoru oz. omejitvi patogenih mikroorganizmov, predvsem gliv.

Pri dveh izolatih, t.j. *Leucobacter* sp. P7a-A4 in *Stenotrophomonas* sp. P7a-A1 smo odkrili hemolitično aktivnost na krvnem agarju. V nadaljevanju dela smo zapis za hemolitično aktivnost seva *Stenotrophomonas* sp. P7a-A1 klonirali ter ugotovili nukleotidno zaporedje približno 12 kbp dolgega fragmenta genomske DNA in to zaporedje analizirali z različnimi bioinformacijskimi orodji. Na podlagi analize nukleotidnega zaporedja klona pHEM smo ugotovili, da ne kodira hemolizina, ki bi bil po nukleotidnem zaporedju prepoznavno podoben kateremu od že opisanih hemolizinov. Zato smo fragment pHEM subklonirali in z aktivnostnimi testi ugotovili, da hemolitično aktivnost najverjetneje posredujeta dva oz. trije odprtih bralnih okvirjev *orfF2* in *orfC1* oz. *orfB2*, ki so najbolj sorodni proteinu z domeno TAP in proteinu NLP/P60 seva *S. maltophilia* R551-3 oz. zunanjemembranskemu lipoproteinu seva *Stenotrophomonas* sp. SKA14.

V zadnjem delu naloge smo preverili še občutljivost oz. odpornost preučevanih izolatov na nekatere antibiotike. Vsi izolati so bili občutljivi za rifampin, izolati iz rodov *Stenotrophomonas* in *Ochrobactrum* pa so bili odporni proti večini testiranih antibiotikov. Izolati iz rodov *Enhydrobacter* in *Microbacterium* so bili nasprotno občutljivi za vse oz. večino antibiotikov. Razlike v odpornosti proti oz. občutljivosti za antibiotike smo opazili tudi med izolati, ki sodijo v iste rodove.

Čeprav je poskus izolacije avtohtonega predstavnika mikrobiote iz prebavnega trakta navadnega prašička spodletel, smo izolirali nekaj fenotipsko zanimivih predstavnikov črevesne mikrobiote. Njihovo preučevanje je razkrilo organizme z zanimivimi hidrolitičnimi sposobnostmi, kar kaže, da morda pomembno sodelujejo v prehranskih procesih gostitelja. Odkrili smo tudi organizme s potencialno patogenim fenotipom, in na genetskem nivoju opredelili zapis, ki kodira hemolitično aktivnost pri enem od izolatov.

7 VIRI

- Al Ahmadi K.J., Yazdi M.T., Najafi M.F., Shahverdi A.R., Faramarzi M.A., Zarrini G. in Behravan J. 2008. Optimization of Medium and Cultivation Conditions for Chitanase Production by the Newly Isolated: *Aeromonas* sp. Biotechnology, 7(2): 266-272
- Alouf J.E. 1999. Bacterial Protein Toxins. Methods in Molecular Biology. O. Holst Humana Press Inc, Totowa, NJ. 145
- Alouf J.E. 2003. Molecular Features of Cytolytic Pore-forming Bacterial Protein Toxins. *Folia Microbiol.*, 48(1): 5-16
- Altschul S.F., Gish W., Miller W., Myers E.W., Lipman D.J. 1990. Basic local alignment search tool. *J.Mol.Biol.*, 215, 3: 404-410
- Baida G.E., Kuzmin N.P. 1996. Mechanism of action of hemolysin III from *Bacillus cereus*. *Biochimica et Biophysica Acta*, 1284: 122-124
- Barry A.L., Fuchs P.C. 1991. In vitro activities of sparfloxacin, tosufloxacin, ciprofloxacin, and fleroxacin. *Antimicrob Agents Chemother*. Clinical Microbiology Institute, Tualatin, Oregon, 35(5): 955-960
- Beecher D.J., Wong A.C.L. 1997. Tripartite Hemolysin BL from *Bacillus cereus*. *The Journal of Biological Chemistry*. The American Society for Biochemistry and Molecular Biology, Inc., 272(1): 233-239.
- Berg G., Eberl L., Hartmann A. 2005. The rhizosphere as a reservoir for opportunistic human pathogenic bacteria. *Environmental Microbiology*, 7(11): 1673-1685
- Bhadra B., Raghukumar C., Pindi P.K., Shivaji S. 2008. *Brevibacterium oceani* sp. nov., isolated from deep-sea sediment of the Chagos Trench, Indian Ocean. *International Journal of Systematic and Evolutionary Microbiology*, 58: 57–60
- Cheng K.J., Costerton J.W. 1977. Ultrastructure of *Butyrivibrio fibrisolvens*: a Gram-Positive Bacterium? *Journal of Bacteriology*, 129, 3: 1506-1512
- Chhibber S., Gupta A., Sharan R., Gautam V., Ray P. 2008. Putative virulence characteristics of *Stenotrophomonas maltophilia*: a study on clinical isolates. *World J Microbiol Biotechnol*. Springer Verlag, 24: 2819-2825
- Clarke P.H., Tracey M.V. 1956. The Occurrence of Chitinase in some Bacteria. *J . gen. Microbiol*, 14: 188-196

- Clegg C.D., van Elsas J.D., Anderson J.M., Lappin-Scott H.M. 1994. Assesment of the role of a terrestrial isopod in the survival of a genetically modified pseudomonad and its detection using the polymerase chain reaction. FEMS Microbiol Ecol., 15: 161–168
- Cohen-Kupiec R., Chet I. 1998. The molecular biology of chitin digestion. Current Opinion in Biotechnology. Current Biology Ltd., 9: 270-277
- Cole J.R., Wang Q., Cardenas E., Fish J., Chai B., Farris R.J., Kulam-Syed-Mohideen A.S., McGarrell D.M, Marsh T., Garrity G.M., Tiedje J.M. 2009. The Ribosomal Database Project: improved alignments and new tools for rRNA analysis. Nucleic Acids Res., 37
- Connon S.A., Giovannoni S.J. 2002. High-Throughput Methods for Culturing Microorganisms in Very-Low-Nutrient Media Yield Diverse New Marine Isolates. Applied and Environmental Microbiology, 68, 8: 3878-3885
- Crossman L.C., Gould V.C., Dow J.M., Vernikos G.S., Okazaki A., Sebaihia M., Saunders D., Arrowsmith C., Carver T., Peters N., Adlem E., Kerhornou A., Lord A., Murphy L., Seeger K., Squares R., Rutter S., Quail M.A., Rajandream M., Harris D., Churcher C., Bentley S.D., Parkhill J., Thomson N R., Avison M.B. 2008. The complete genome, comparative and functional analysis of *Stenotrophomonas maltophilia* reveals an organism heavily shielded by drug resistance determinants. Genome Biology. BioMed Central Ltd., 9: R7
- De Souza M.J., Nair S., Loka Bharathi P.A., Chandramohan D. 2006. Metal and antibiotic-resistance in psychrotrophic bacteria from Antarctic Marine waters. Ecotoxicology, 15, 4: 379-384
- Del Sal G., Manfioletti G., Schneider C. 1988. A one-tube plasmid DNA mini-preparation suitable for sequencing. Nucleic Acids Res., 16: 9878.
- Denton M., Kerr K.G. 1998. Microbiological and Clinical Aspects of Infection Associated with *Stenotrophomonas maltophilia*. Clinical Microbiology Reviews. American Society for Microbiology, 11(1): 57-80
- Drobne D. 1997. Terrestrial isopods – a good choice for toxicity testing of pollutants in the terrestrial environment. Environ Toxicol Chem., 16: 1159–1164
- Drobne D., Rupnik M., Lapanje A., Štrus J., Janc M. 2002). Isopod gut flora parameters as endpoints in toxicity studies. Environ Toxicol Chem., 21: 604–609
- Garcia D.O., Timenetsky J., Martinez M.B., Francisco W., Sinto S.I., Yanaguita R.M. 2002. Proteases (caseinase and elastase), hemolysins, adhesion and susceptibility to

- antimicrobials of *Stenotrophomonas maltophilia* isolates obtained from clinical specimens. *Brazilian Journal of Microbiology*, 33: 157-162
- Gayathri R., Therese K.L., Deepa P., Mangai S., Madhavan H.N. 2010. Antibiotic susceptibility pattern of rapidly growing mycobacteria. *Journal of Postgraduate Medicine*. Staff Society of the Seth GS Medical College and KEM Hospital, Mumbai, India, 56(2): 76-78
- Gilbert H.J., Hazlewood G.P. 1993. Bacterial cellulases and xylanases. *Journal of General Microbiology*, 139: 187-194
- Gilbert R.J.C. 2002. Review: Pore-forming toxins. *Cellular and Molecular Life Sciences*. Birkhauser Verlag, Basel, 59: 832-844
- Holmes B., Popoff M., Kiredjian M., Kersters K. 1988. *Ochrobactrum anthropi* gen. nov., sp. nov. from Human Clinical Specimens and Previously Known as Group Vd. *International Journal of Systematic and Evolutionary Microbiology*. International Union of Microbiological Societies, 38(4): 406-416
- Hopkin S.P. 1991. *A Key to the Woodlice of Britain and Ireland*. AIDGAP (Aids to the Identification of Difficult Groups of Animals and Plants). Field Studies Council Publication
- Human Molecular Genetics.1999.
- <http://www.ncbi.nlm.nih.gov/bookshelf/br.fcgi?book=hmg&part=A359> (avg. 2010)
- Hunt M.L., Cox A.J., Ruffolo C.G., Rajakumar K., Adler B. 2000. Characterisation of a *Pasteurella multocida* esterase gene which confers a hemolytic phenotype in *Escherichia coli* under anaerobic conditions. Elsevier, FEMS Mocrobiology Letters, 192, 249-256
- Ihnen K., Zimmer M. 2008. Selective consumption and digestion of litte microbes by *Porcellio scaber* (Isopoda: Oniscidea). Pedobiologia. Elsevier GmbH, 51: 335-342.
- Kaeberlein T., Lewis K., Epstein S.S. 2002. Isolating "Uncultivable" Microorganisms in Pure Culture in a Simulated Natural Environment. *Science*, 296, 1127-1129
- Khawala S., Banerjee P.C., Ghosh A.K., Sengupta S. 1993. A hemolytic protein from cultured mycelia of mushroom, *Termitomyces clypeatus*. *Indian Journal of Experimental Biology*, 31, 45-49
- Kobayashi D.Y., Reedy R.M., Bick J.A., Oudemans P.V. 2002. Characterization of a Chitinase Gene from *Stenotrophomonas maltophilia* Strain 34S1 and Its Involvement in Biological Control. *Applied and Environmental Microbiology*, 68, 3: 1047-1054

- Kono M., Matsui T., Shimizu C. 1987. Effect of Chitin, Chitosan, and Cellulose as Diet Supplements on the Growth of Cultured Fish. *Nippon Suisan Gakkaishi*, 53, 1: 125-129
- Kostanjšek R., 2002. Indigena bakterijska flora v prebavilu kopenskega raka enakonožca *Porcellio scaber* (Crustacea: Isopoda). Doktorska dizertacija: 121 str.
- Kostanjšek R., Štrus J., Avguštin G. 2002a. Genetic diversity of bacteria associated with the hindgut of the terrestrial crustacean *Porcellio scaber* (Crustacea: Isopoda). *FEMS Microbiology Ecology*, 40: 171–179
- Kostanjšek R., Štrus J., Avguštin G. 2000. Genetska raznolikost bakterij v črevesu enakonožnih rakov (Isopoda, Crustacea). Zb. Biotehniške fak. Univ. v Ljubljani. Kmetijstvo. Zootehnika, 76(2000)1
- Kostanjšek R., Štrus J., Lapanje A., Avguštin G., Rupnik M., Drobne D. 2006. Intestinal Microbiota of Terrestrial Isopods. *Soil Biology*, 6, 115-130
- Kostanjšek R., Milatovič M., Štrus J. 2010. Endogenous origin of endo- β -1,4-glucanase in common woodlouse *Porcellio scaber* (Crustacea, Isopoda). *J Comp Physiol B*. Springer Verlag
- Kostanjšek R., Avguštin G., Drobne D., Štrus J. 2003. Morphological and molecular examination of bacteria associated with the wall of the papillate region of the gut in *Porcellio scaber*. Sfenthourakis S et al (eds) *Crust Monogr.*, 2: 103–120, Koninklijke Brill N V, Leiden
- Kostanjšek R., Lapanje A., Rupnik M., Štrus J., Drobne D., Avguštin G. 2004a. Anaerobic bacteria in the gut of terrestrial isopod crustacean *Porcellio scaber*. *Folia Microbiol.*, 49(2): 179–182
- Kostanjšek R., Štrus J., Drobne D., Avguštin G. 2004b. '*Candidatus Rhabdochlamydia porcellionis*' an intracellular bacterium from the hepatopancreas of the terrestrial isopod *Porcellio scaber* (Crustacea: Isopoda). *Int J Syst Evol Microbiol.*, 54: 543–549
- Kostanjšek R., Štrus J., Avguštin G. 2007. '*Candidatus Bacilloplasma*', a novel lineage of Mollicutes associated with the hindgut wall of the terrestrial isopod *Porcellio scaber* (Crustacea: isopoda). *Appl. environ. Microbiol.*, 73, 17: 5566-5573
- Koyama Y. 1991. Color of Actinomycetes. *Actinomycetologica*, 5, 2: 78-85
- Liu H., Xu Y., Ma Y., Zhou P. 2000. Characterization of *Micrococcus antarcticus* sp. nov., a psychrophilic bacterium from Antarctica. *International Journal of Systematic and Evolutionary Microbiology*, Great Britain, 50: 715-719

- Lucet J.C., Herrmann M., Rohner P., Auckenthaler R., Waldvogel F.A., Lew D.P. 1990. Treatment of experimental foreign body infection caused by methicillin-resistant *Staphylococcus aureus*. *Antimicrob Agents Chemother*. Department of Medicine, Geneva University Hospital, Switzerland, 34(12): 2312-2317.
- Margulis L., Jorgensen J.Z., Dolan S., Kolchinsky R., Rainey F.A. 1998. The Arthromitus stage of *Bacillus cereus*: Intestinal symbionts of animals. *Proc Natl Acad Sci, USA*, 95: 1236–1241
- Martin K., Schumann P., Rainey F.A., Schuetze B., Groth I. 1997. *Janibacter limosus* gen. nov., sp. nov., a New Actinomycete with meso-Diaminopimelic Acid in the Cell Wall. *International Journal of Systematic and Evolutionary Microbiology*. International Union of Microbiological Societies, 47: 529-534
- Minkwitz A., Berg G. 2000. Comparison of Antifungal Activities and 16S Ribosomal DNA Sequences of Clinical and Environmental Isolates of *Stenotrophomonas maltophilia*. *Journal of Clinical Microbiology*. American Society for Microbiology, 2001, 139-145
- Mukry S.N., Ahmad A., Khan S.A. 2010. Screening and partial characterization of hemolysins from *Bacillus* sp.: strain S128 and S144 are hemolysins B (HBL) producers. *Pak. J. Bot*, 42(1): 463-472.
- Pedros-Alio C. 2006. Marine microbial diversity: can it be determined?. Elsevier Ltd., *Trends in Microbiology*, 14, 6: 257-263
- Paoletti M.G., Hassall M. 1999. Woodlice (Isopoda: Oniscidea): their potential for assessing sustainability and use as bioindicators. *Agriculture Ecosystems & Environment*, 74: 157-165
- Popavath R.N., Gurusamy R., Kannan B.N., Natarajan S. 2008. Assessment of genetic and functional diversity of phosphate solubilizing fluorescent *Pseudomonads* isolated from rhizospheric soil. *BMC Microbiology*, 8: 230
- Ramel G. 2010. The Woodlice (Crustacea, Isopoda, Oniscidea).
<http://www.earthlife.net/insects/isopoda.html> (okt. 2010)
- Rantala M., Lahti E., Kuhalampi J., Pesonen S., Järvinen A.K., Saijonmaa-Koulumies L., Honkanen-Buzalski T. 2004. Antimicrobial resistance in *Staphylococcus* spp., *Escherichia coli* and *Enterococcus* spp. in dogs given antibiotics for chronic

dermatological disorders, compared with non-treated control dogs. *Acta vet. Scand.*, 45: 37-45.

Roberts W.K., Selitrennikoff C.P. 1988. Plant and Bacterial Chitinases Differ in Antifungal Activity. *Journal of General Microbiology*, 134: 169-176

Romanenko L.A., Uchino M., Tanaka N., Frolova G.M., Slinkina N.N. in Mikhailov V.V. 2007. Occurrence and antagonistic potential of *Stenotrophomonas* strains isolated from deep-sea invertebrates. *Arch Microbiol* (2008). Springer-Verlag, 189: 337-344.

Ryan R.P., Monchy S., Cardinale M., Taghavi S., Crossman L., Avison M.B., Berg G., van der Lelie D. In Dow J.M. 2009. The versatility and adaptation of bacteria from the genus *Stenotrophomonas*. *Nature Reviews, Microbiology*. Macmillan Publishers Limited, 7: 514-525

Sket B., Gogala m., Kuštor V. 2003. Živalstvo Slovenije. 1.izdaja. Ljubljana, Tehniška založba Slovenije: 664 str.

Smith R.F., Wiese B.A., Wojzynski M.K., Davison D.B., Worley K.C. 1996. BCM Search Launcher - An Integrated Interface to Molecular Biology Data Base Search and Analysis Services Available on the World Wide Web. *Genome Res.*, 6(5): 454-62

Somvanshi V.S., Lang E., Schumann P., Pukall R., R. M. Kroppenstedt R.M., Ganguly S., Stackebrandt E. 2007. *Leucobacter iarius* sp. nov., in the family *Microbacteriaceae*. *International Journal of Systematic and Evolutionary Microbiology*. International Union of Microbiological Societies, 57: 682-686

Staley J.T., Irgens R.L., Brenner D.J. 1987. *Enhydrobacter aerasaccus* gen. nov., sp. nov. a Gas-Vacuolated, Facultatively Anaerobic, Heterotrophic Rod. *International Journal of Systematic and Evolutionary Microbiology*. International Union of Microbiological Societies, 37(3): 289-291

Steven B., Briggs G., McKay C.P., Pollard W.H., Greer W.C., Whyte L.G. 2007. Characterizacion of the microbial diversity in a permafrost sample from the Canadian high Artic using culture-dependent and culture-independent methods. *FEMS Microbiol Ecol*, 59, 513-523

Sukumaran R.K., Singhania R.R., Pandey A. 2005. Microbial cellulases – Production, applications and challenges. *Journal of Scientific and Industrial Research*, 64: 832-844

- Świecicka I., Mahillon J. 2006. Diversity of commensal *Bacillus cereus sensu lato* isolated from the common sow bug (*Porcellio scaber*, Isopoda). FEMS Microbiol Ecol. Blackwell Publishing Ltd., 56: 132-140
- Szlávecz K., Maiorana V.C. 1998. Supplementary food in the diet of the terrestrial isopod *Porcellio scaber* Latr (Isopoda: Oniscidea). Israel J Zool, 44: 413–422
- Teather R. M., Wood P. J. 1981. Use of Congo Red-Polysaccharide Interactions in Enumeration and Characterization of Cellulolytic Bacteria from the Bovine Rumen. Applied and Environmental Microbiology, 43, 4: 777-780
- Thoma B., Straube E., Scholz H.C., Al Dahouk S., Zöller L., Pfeffer M., Neubauer H., Tomaso H. 2009. Identification and antimicrobial susceptibilities of *Ochrobactrum* spp. International Journal of Medical Microbiology, 299(3): 209-220
- Trinkerl M., Breunig A., Schauder R., König H. 1990. *Desulfovibrio termitidis* sp. nov., a Carbohydrate-degrading sulfate-reducing bacterium from the hindgut of a termite. Systematic applied microbiology, 13: 372–377
- Trujillo M.E., Velázquez E., Kroppenstedt R.M., Schumann P., Rivas R., Mateos P.F., Martínez-Molina E. 2004. *Mycobacterium psychrotolerans* sp. nov., isolated from pond water near a uranium mine. International Journal of Systematic and Evolutionary Microbiology, 54: 1459–1463
- Tsukamura M. 1981. Relationship Between Photochromogenicity and Test Temperature in Mycobacteria. Journal of Clinical Microbiology, 14, 2: 225-226
- Ullrich B., Storch V., Schairer H. 1991. Bacteria in the food, in the intestine and in the faeces of the woodlouse *Oniscus asellus* (Crustacea, Isopoda). Pedobiologia, 35: 41–51
- Vincze T., Posfai J., Roberts R.J. 2003. NEBcutter: a program to cleave DNA with restriction enzyme. Nucl. Acids Res., 31, 13: 3688-3691
- Wallace R.J. jr., Bedsole G., Sumter G., Sanders C.V., Steele L.C., Brown B.A., Smith J., Graham D.R. 1990. Activities of Ciprofloxacin and Ofloxacin against Rapidly growing Mycobacteria with Demonstration of Acquired Resistance following Single-Drug Therapy. Antimicrobial Agents and Chemotherapy. American Society for Microbiology, 34(1) 65-70
- Wang Q., Garrity G.M, Tiedje J.M, Cole J.R. 2007. Naïve Bayesian Classifier for Rapid Assignment of rRNA Sequences into the New Bacterial Taxonomy. Appl Environ Microbiol., 73(16): 5261-5267

- Warburg M.R. 1987. Isopods and their terrestrial environment. *Advances in Ecological Research*. Academic Press Inc, London, 17: 187–242
- Wauters G., Haase G., Avesani V., Charlier J., Janssens M., Van Broeck J., Delmée M. 2004. Identification of a Novel *Brevibacterium* Species Isolated from Humans and Description of *Brevibacterium sanguinis* sp. nov. Clin Microbiol. American Society for Microbiology, 42(6): 2829–2832
- Welch A.B., Maxcy R.B. 1979. Significance of Hemolytic Activity of Some Radiation-Resistant Micrococci in Food. Applied and Environmental Microbiology, 38(5): 902-905
- Wieser W. 1966. Cooper and the role of isopods in degradation of organic matter. Science, 153: 67–69
- Wolf A., Fritze A., Hagemann M., Berg G. 2002. *Stenotrophomonas rhizophila* sp. nov., a novel plant-associated bacterium with antifungal properties. International Journal of Systematic and Evolutionary Microbiology. International Union of Microbiological Societies, 52: 1937-1944
- Wood S, Griffiths B.S. 1988. Bacteria associated with the hepatopancreas of the woodlice *Oniscus asellus* (Crustacea, Isopoda). Pedobiol., 31: 89–94
- Zengler K., Toledo G., Rappe M., Elkins J., Mathur E.J., Short J.M., Keller M. 2002. Cultivating the uncultured. California Institute of Technology, Pasadena, CA, PNAS, 99, 24: 15681-15686
- Zhang Y.H.P., Himmel M.E., Mielenz J.R. 2006. Outlook for cellulase improvement: Screening and selection strategies. Biotechnology Advances, 24: 452-481
- Zimmer M., Kautz G., Topp W. 2003. Leaf litter-colonizing microbiota: supplementary food source or indicator of food quality for *Porcellio scaber* (Isopoda: Oniscidea) European Journal of Soil Biology. Elsevier SAS, 39: 209-216
- Zimmer M., Brune A. 2005. Physiological properties of the gut lumen of terrestrial isopods (Isopoda: Oniscidea): adaptive to digesting lignocellulose?. J Comp Physiol B., 175: 275-283
- Zimmer M., Topp W. 1997. Does leaf litter quality influence population parameters of the common woodlouse, *Porcellio scaber* (Crustacea: Isopoda)? Biol Fertil Soils, 24: 435–441
- Zimmer M., Topp W. 1998a. Nutritional biology of terrestrial isopods (Isopoda: Oniscidea): cooper revisited. Israel J Zool, 44: 453–462

Zimmer M., Topp W. 1998b. Microorganisms and cellulose digestion in the gut of the woodlouse *Porcellio scaber*. J Chem Ecol., 24: 1397–1408

Zimmer M., Danko J.P., Pennings S.C., Danford A.R., Ziegler A., Uglow R.F., Carefoot T.H. 2001. Hepatopancreatic endosymbionts in coastal Isopods (Crustacea: Isopoda), and their contribution to digestion. Marine Biol., 138: 955–963

ZAHVALA

V prvi vrsti se najlepše zahvaljujem mentorici doc. dr. Jerneji Ambrožič Avguštin za vodenje ter neizmerno razumevanje, potrpežljivost, prilagodljivost in vse dobrohotne nasvete. Zahvaljujem se tudi prof. dr. Miklavžu Grabnarju ter doc. dr. Roku Kostanjšku za izredno hiter pregled diplomskega dela.

Še enkrat hvala doc. dr. Roku Kostanjšku za poskusne živali, pripravo vzorcev in mikroskopijo.

Hvala tehničnim sodelavcem ga. Fani Oven, g. Gregorju Bajcu in ga. Barbari Kastelic Bokal za vso malo pomoč, optimizem in prijaznost ter tudi vsem ostalim s Katedre za molekularno genetiko in biologijo mikroorganizmov, še posebno pa dr. Zdravku Podlesku, ki je nemalokrat delil svoje znanje in nasvete ter sem ter tja odstopil tudi svoj laboratorij.

In nenazadje tudi posebna zahvala prof. dr. Gorazdu Avguštinu za velik prispevek pri nastanku tega dela.

PRILOGE

Priloga A

Nukleotidno zaporedje gena za 16S rRNA bakterijskih izolatov iz zadnjega črevesa
P. scaber

Priloga A1

Nukleotidno zaporedje gena za 16S rRNA bakterijskih izolatov, ugotovljeno s parom
začetnih oligonukleotidov fD1/1392r

Ochrobactrum sp. P3-V1

1 GCTTAAACAT GCAAGTCGAG CGCCCCGCAA GGGGAGCGGC AGACGGGTGA
51 GTAACCGCTG GGAACGTACC TTTGCTACG GAATAACTCA GGGAAACTTG
101 TGCTAATACC GTATGTGCC C TTGGGGGAA AGATTATCG GCAAAGGATC
151 GGCCCGCGTT GGATTAGCTA GTTGGTGAGG TAAAGGCTCA CCAAGGCGAC
201 GATCCATAGC TGGTCTGAGA GGATGATCAG CCACACTGGG ACTGAGACAC
251 GGCCCAGACT CCTACGGGAG GCAGCAGTGG GGAATATTGG ACAATGGCG
301 CAAGCCTGAT CCAGCCATGC CGCGTGAGTG ATGAAGGCC TAGGGTTGTA
351 AAGCTTTTC ACCGGTGAAG ATAATGACGG TAACCGGAGA AGAACCCCCG
401 GCTAACTTCG TGCCAGCAGC CGCGGTAAATA CGAACGGGGC TAGCGTTGTT
451 CGGATTTACT GGGCGTAAAG CGCACGTAGG CGGACTTTA AGTCAGGGT
501 GAAATCCCGG GGCTCAACCC CGGAACGTGCC TTTGATACTG GAAGTCTTGA
551 GTATGGTAGA GGTGAGTGGG ATTCCGAGTG TAGAGGTGAA ATTCTGTAGAT
601 ATTCGGAGGA ACACCAGTGG CGAACGGCGGC TCACTGGACC ATTACTGACG
651 CTGAGGTGCG AAAGCGTGGG GAGCAAACAG GATTAGATAC CCTGGTAGTC
701 CACGCCGTTAA ACATGAATG TTAGCCGTTG GGGAGTTTAC TCTTCGGTGG
751 CGCAGCTAAC GCATTAACACA TTCCGCCTGG GGAGTACGGT CGCAAGATTAA
801 AAACTCAAAG GAATTGACGG GGGCCCGCAC AAGCGGTGGA GCATGTGGTT
851 TAATTCGAAG CAACGCCAG AACCTTACCA GCCCTTGACA TACCGGTGCG
901 GGACACAGAG ATGTGTCTTT CAGTCGGCT GGACCGGATA CAGGTGCTGC
951 ATGGCTGTCG TCAGCTCGTG TCGTGAGATG TTGGGTTAAG TCCCGCAACG
1001 AGCGCAACCC TCGCCCTTAG TTGCCAGCAT TTAGTTGGG ACTCTAAGGG
1051 GACTGCCGGT GATAAGCCGA GAGGAAGGTG GGGATGACGT CAAGTCCTCA
1101 TGGCCCTTAC GGGCTGGGCT ACACACGTGC TACAATGGTG GTGACAGTGG
1151 GCAGCGAGCA CGCGAGTGTG AGCTAATCTC CAAAAGCCAT CTCAGTTGG
1201 ATTGCACCTCT GCAACTCGAG TGCATGAAGT TGGAATCGCT AGTAWCGCGG
1251 ATCAGCATG

Stenotrophomonas sp. P7a-A1

1 AACACATGCA AGTCGAACGG CAGCACAGTA GAGCTTGCTC TATGGGTGGC
51 GAGTGGCGGA CGGGTGAGGA ATACATCGGA ATCTACCTTT TCGTGGGGGA
101 TAACGTAGGG AAACCTACGC TAATACCGCA TACGACCTTC GGGTGAAGC
151 AGGGGACCTT CGGGCCTTGC CGGGATAGAT GAGCCGATGT CGGATTAGCT
201 AGTTGGCGGG GTAAAGGCC ACCAAGGCAGA CGATCCGTAG CTGGTCTGAG
251 AGGATGATCA GCCACACTGG AACTGAGACA CGGTCCAGAC TCCTACGGGA
301 GGCAGCAGTG GGGAAATTG GACAATGGGC GCAAGCCTGA TCCAGCCATA
351 CCGCGTGGGT GAAGAAGGCC TTGGGTTGT AAAGCCCTTT TGTTGGGAAA
401 GAAAAGCAGT CGGCTAATAC CCGGTTGTT TGACGGTACC CAAAGAATAA
451 GCACCGGCTA ACTTCGTGCC AGCACCGCG GTAATACGAA GGGTGCAAGC
501 GTTACTCGGA ATTACTGGGC GTAAAGCGTG CGTAGGTGGT TGTTAAGTC
551 TGTTGTGAAA GCCCTGGGCT CAACCTGGGA ATTGCAGTGG ATACTGGCG
601 ACTAGAGTGT GGTAGAGGGT AGTGGAAATTC CCGGTGTAGC AGTGAATGC

651 GTAGAGATCG GGAGGAACAT CCATGGCGAA GGCAGCTACC TGGACCAACA
701 CTGACACTGA GGCACGAAAG CGTGGGGAGC AAACAGGATT AGATAACCTG
751 GTAGTCCACG CCCTAACGA TGCGAAGTGG ATGTTGGGTG CAATTGGCA
801 CGCAGTATCG AAGCTAACGC GTTAAGTTCC CCGCCTGGGG AGTACGGTCG
851 CAAGACTGAA ACTCAAAGGA ATTGACGGGG GCCCGCACAA GCGGTGGAGT
901 ATGTGGTTA ATTGATGCA ACGCGAAGAA CCTTACCTGG TCTTGACATG
951 TCGAGAACTT TCCAGAGATG GATTGGTGCC TTCGGGAAC CGAACACAGG
1001 TGCTGCATGG CTGTCGTCA CTCGTGTCGT GAGATGTTGG GTTAAGTCCC
1051 GCAACGAGCG CAACCCTGT CCTTAGTTGC CAGCACGTA TGTTGGGAAC
1101 TCTAAGGAGA CCGCCGGTGA CAAACCGGAG GAAGGTGGGG ATGACGTCAA
1151 GTCATCATGG CCCTTACGAC CAGGGCTACA CACGTACTAC AATGGTAGGG
1201 ACAGAGGGCT GCAAACCCGC GAGGGCAAGC CAATCCCAGA AACCTATCT
1251 CAGTCCGGAT TGGAGTCTGC AACTCGACTC CATGAAGTCG GAATCGCTAG
1301 TAATCGCAGA TCAGCA

Enhydrobacter sp. P6a-Z1

1 CTTAACACAT GCAAGTCGAA CGATGATTAT CTAGCTTGCT AGATATGATT
51 AGTGGCGGAC GGGTGAGTAA CATTAGGAA TCTGCCTAGT AGTGGGGAT
101 AGCTCGGGGA AACTCGAATT AATACCGCAT ACGACCTACG GGTGAAAGGG
151 GGCAGCAAGCT CTTGCTATTA GATGAGCCTA AATCAGATTA GCTAGTTGGT
201 GGGGTAAAGG CCCACCAAGG CGACGATCTG TAACTGGTCT GAGAGGATGA
251 TCAGTCACAC CGGAACGTGAG ACACGGTCCG GACTCCTACG GGAGGCAGCA
301 GTGGGGAATA TTGGACAATG GGGGCAACCC TGATCCAGCC ATGCCCGTG
351 TGTGAAGAAG GCCTTTGGT TGTAAGCAGC TTTAAGCAGG GAGGAGAGGC
401 TAATGGTTAA TACCCATTAG ATTAGACGTT ACCTGCAGAA TAAGCACCGG
451 CTAACTCTGT GCCAGCAGCC CGCGTAATAAC AGAGGGTGCAG AGCGTTAAC
501 GGAATTACTG GGCAGTAAAGC GAGTGTAGGT GGCTCATTAA GTCACATGTG
551 AAATCCCCGG GCTTAACCTG GGAACACTGCAT GTGATACTGG TGGTGTAGA
601 ATATGTGAGA GGGAAAGTACA ATTCCAGGTG TAGCGGTGAA ATGCGTAGAG
651 ATCTGGAGGA ATACCGATGG CGAAGGCAGC TTCCCTGGCAT AATATTGACA
701 CTGAGATTGCG AAAGCGTGGG TAGCAAACAG GATTAGATAC CCTGGTAGTC
751 CACGCCGTAA ACGATGTCTA CTAGCCGTTG GGGTCCTTGA GACTTTAGTG
801 GCGCAGTTAA CGCGATAAGT AGACCGCCTG GGGAGTACGG CCGCAAGGTT
851 AAAACTCAAA TGAATTGACG GGGGCCGCA CAAGCGGTGG AGCATGTGGT
901 TTAATTCGAT GCAACGCGAA GAACCTTACG TGGTCTTGAC ATAGTGAGAA
951 TCCTGCAGAG ATGCAGGGAGT GCCTTCGGGA ATTACACATAC AGGTGCTGCA
1001 TGGCTGTCGT CAGCTCGTGT CGTGAGATGT TGGGTTAAGT CCCGCAACGA
1051 GCGCAACCTT TTTCCTTATT TGCCAGCGGG TTAAGCCGGG AACTTTAAGG
1101 ATACTGCCAG TGACAAACTG GAGGAAGGGCG GGGACGACGT CAAGTCATCA
1151 TGGCCCTTAC GACCAGGGCT ACACACGTGC TACAATGGTA GGTACAGAGG
1201 GTTGCTACAC AGCGATGTGA TGCTAATCTC AAAAAGCCTA TCGTAGTCCG
1251 GATTGGAGTC TGCAACTCGA CTCCATGAAG TCGGAATCGC TAGTAATCGC
1301 AGATCAGAAT G

Staphylococcus sp. P7a-A16

1 GCCTAATACA TGCAAGTCGA GCGAACAGAC GAGGAGCTTG CTCCTTGAC
51 GTTAGCGGCG GACGGGTGAG TAAACACGTAG GTAACCTACC TATAAGACTG
101 GGATAACTTC GGGAAACCAGG AGCTAATACC GGATAATATT TCGAACCGCA
151 TGGTTCGATA GTGAAAGATG GCTTGCTAT CACTTATAGA TGGACCTGCG
201 CCGTATTAGC TAGTTGGTAA GGTAACGGCT TACCAAGGCA ACGATAACGTA
251 GCCGACCTGA GAGGGTGATC GGCCACACTG GAACTGAGAC ACGGTCCAGA
301 CTCCTACGGG AGGCAGCAGT AGGGAATCTT CCGCAATGGG CGAAAGCCTG
351 ACGGAGCAAC GCCGCGTGAG TGATGAAGGT CTTCGGATCG TAAAACCTCG

401 TTATTAGGGA AGAACAAACG TGTAAGTAAC TGTGCACGTC TTGACGGTAC
451 CTAATCAGAA AGCCACGGCT AACTACGTGC CAGCAGCCGC GGTAATACGT
501 AGGTGGCAAG CGTTATCCGG ATTATTGGG CGTAAAGCGC GCGTAGGCCG
551 TTTTTAAGT CTGATGTGAA AGCCCACGGC TCAACCGTGG AGGGTCATTG
601 GAAAATGGAA AACTTGAGTG CAGAAGAGGA AAGTGGATT CCATGTGTAG
651 CGGTGAAATG CGCAGAGATA TGGAGGAACA CCAGTGGCGA AGGCGACTT
701 CTGGTCTGTA ACTGACGCTG ATGTGCGAAA GCGTGGGAT CAAACAGGAT
751 TAGATACCCT GGTAGTCCAC GCCGTAACAG ATGAGTGCTA AGTGTAGGG
801 GGTTCCGCC CCTTAGTGCT GCAGCTAACG CATTAAGCAC TCCGCCTGGG
851 GAGTACGACC GCAAGGTGA AACTCAAAGG AATTGACGGG GACCCGCACA
901 AGCGGTGGAG CATGTGGTTT AATTGAGAAGC AACGCGAAGA ACCTTACCAA
951 ATCTTGACAT CCTTTGACCC TTCTAGAGAT AGAAGTTCC CCTTCGGGGG
1001 ACAAAAGTGAC AGGTGGTGCA TGTTGTCGT CAGCTCGTGT CGTGAGATGT
1051 TGGGTTAAGT CCCGCAACGA GCGCAACCCCT TAAGCTTAGT TGCCATCATT
1101 AAGTTGGCA CTCTAAGTTG ACTGCCGGTG ACAAAACCGGA GGAAGGTGGG
1151 GATGACGTCA AATCATCATG CCCCTTATGA TTTGGCTAC ACACGTGCTA
1201 CAATGGACAA TACAAAGGGC AGCGAAACCG CGAGGTCAAG CAAATCCCAT
1251 AAAGTTGTT TCAGTTCGGA TTGTAGTCTG CAACTCGACT ACATGAAGCT
1301 GGAATCGCTA GTAATCGTAG

Staphylococcus sp. P3-E2

1 GCGTGCCTAA TACATGCAAG TCGAGCGAAC AGATAAGGAG CTTGCTCCTT
51 TGACGTTAGC GGCAGACGGG TGAGTAACAC GTGGGTAACC TACCTATAAG
101 ACTGGGATAA CTTCGGGAAA CCGGAGCTAA TACCGGATAA CATTGGAAC
151 CGCATGGTTC TAAAGTGAAA GATGGTTTG CTATCACTTA TAGATGGACC
201 CGCGCCGTAT TAGCTAGTTG GTAAGGTAAC GGCTTACCAA GGCAGACGATA
251 CGTAGCCGAC CTGAGAGGGT GATCGGCCAC ACTGGAACCTG AGACACGGTC
301 CAGACTCCTA CGGGAGGCAG CAGTAGGGAA TCTTCCGCAA TGGGCGAAAG
351 CCTGACGGAG CAACGCCGCG TGAGTGATGA AGGGTTTCGG CTCGTAACAC
401 TCTGTTATTA GGGAAAGACA AAYGTGTAAG TAACTGTGCA CGTCTTGACG
451 GTACCTAATC AGAAAAGCCAC GGCTAACTAC GTGCCAGCAG CCGCGGTAAAT
501 ACGTAGGTGG CAAGCGTTAT CCGGAATTAT TGGGCGTAAA GCGCGCGTAG
551 GCGGTTCTT AAGTCTGATG TGAAAGCCCA CGGCTCAACC GTGGAGGGTC
601 ATTGGAAACT GGGAAACTTG AGTGCAGAAG AGGAAAGTGG AATTCCATGT
651 GTAGCGGTGA AATGCGCAGA GATATGGAGG AACACCAGTG GCGAAGGCGA
701 CTTTCTGGTC TGTAACTGAC GCTGATGTGC GAAAGCGTGG GGATCAAACA
751 GGATTAGATA CCCTGGTAGT CCACGCCGTA AACGATGAGT GCTAAGTGT
801 AGGGGGTTTC CGCCCCTTAG TGCTGCAGCT AACGCATTAA GCACTCCGCC
851 TGGGGAGTAC GACCGCAAGG TTGAAACTCA AAGGAATTGA CGGGGACCCG
901 CACAAGCGGT GGAGCATGTG GTTTAATTCC AAGCAACGCG AAGAACCTTA
951 CCAAATCTG ACATCCTTTG AAAACTCTAG AGATAGAGCC TTCCCCTCG
1001 GGGGACAAAG TGACAGGTGG TGCATGGTT TGCTCAGCTC GTGTCGTGAG
1051 ATGTTGGTT AAGTCCCGCA ACGAGCGCAA CCCTTAAGCT TAGTTGCCAT
1101 CATTAAAGTTG GGCACCTCTAG GTTGACTGCC GGTGACAAAC CGGAGGAAGG
1151 TGGGGATGAC GTCAAATCAT CATGCCCTT ATGATTGGG CTACACACGT
1201 GCTACAATGG ACAATACAAA GGGCAGCTAA ACCGCGAGGT CATGCAAATC
1251 CCATAAAAGTT GTTCTCAGTT CGGATTGTAG TCTGCAACTC GACTACATGA
1301 AGCTGGAATC GCTAGTAATC GTAGATCAGC AT

Leucobacter sp. P7a-A4

1 TTAAACATGC AAGTCGAACG CTGAAGCCCA GTGCTTGCAC TGGGTGGATG
51 AGTGGCGAAC GGGTGAGTAA CACGTGAGTA ACCTGCCCG GACTCTGGG
101 TAAGCGCTGG AAACGGTGTC TAATACTGGA TAGGTGACGT GGCGCATGG
151 TCTGCGTTTG GAAAGTTTT TCGGTTCGGG ATGGGCTCGC GGCCTATCAG

201 CTGGATGGTG GGGTAATGGC TCACCAGGC GACGACGGGT AGCCGGCCTG
251 AGAGGGTGAC CGGCCACACT GGGACTGAGA CACGGCCCAG ACTCCTACGG
301 GAGGCAGCAG TGGGAATAT TGCAACATGG GCGCAAGCCT GATGCAGCAA
351 CGCCCGTGA GGGATGACGG CCTTCGGGTT GTAAACCTCT TTTAGTCAGG
401 AAGAACGCTT TCAGGGTGAC GGTACTGGCA GAAAAAGCAC CGGCTAACTA
451 CGTGCCAGCA GCGCGGTAA TACGTAGGGT GCAAGCGTT TCCGGAATT
501 TTGGCGTAA AGAGCTCGTA GGCAGCTTGT CGCGTCTGCC GTGAAATCCT
551 CAGGCTCAAC CTGGGGCTTG CGGTGGGTAC GGGCAGGCTA GAGTGCAGG
601 GGGGAGATTG GAATTCTGG TGTAGCGGTG GAATGCGCAG ATATCAGGAG
651 GAACACCGAT GGCAGAAGGCA GATCTCTGGG CCGCTACTGA CGCTGAGGAG
701 CGAAAGCATG GGGAGCGAAC AGGATTAGAT ACCCTGGTAG TCCATGCCGT
751 AAACGTTGGG AACTAGATGT AGGGCCTGTT CCACGGGTTG TGTGTCGTAG
801 CTAACGCATT AAGTCCCCG CCTGGGGAGT ACGGCCGCAA GGCTAAAAC
851 CAAAGGAATT GACGGGGGC CGCACAAAGCG GCGGAGCATG CGGATTAATT
901 CGATGCAACG CGAAGAACCT TACCAAGGCT TGACATATAG GAGAACGGGC
951 CAGAAATGGT CAACTCTTG GACACTCTA TACAGGTGGT GCATGGTTGT
1001 CGTCAGCTG TGTCGTGAGA TGTTGGTTA AGTCCGGCAA CGAGCGCAAC
1051 CCTCGTCATA TGTTGCCAGC ACGTGATGGT GGGAACTCAT GGGATACTGC
1101 CGTGGTCAAC ACGGAGGAAG GTGGGGACGA CGTCAAATCA TCATGCCCT
1151 TATGTCTGG GCTTCACGCA TGCTACAATG GCCGGTACAA TGGGCTGCGA
1201 TGCCGTAAGG TGGAGCGAAT CCCAAAAAGC CGGTCTCAGT TCGGATTGGG
1251 GTCTGCAACT CGACCCCATG AAGTCGGAGT CGCTAGTAAT CGCAG

Janibacter sp. P2-W2

1 ATGCAAGTCG AACGGTGAAG CTCCAGCTTG CTGGAGTGGG TCAGTGGCGA
51 ACGGGTGAGT AACACGTGAG CAACCTGCC CAAACTCTGG ATAAGCGCT
101 GGAAACGGCG TCTAATACTG GATACGAGAC CAACCTGCAT GGGTATGGTT
151 TGGAAAGTTT TTCGGTTGG GATGGGCTCG CGGCCTATCA GCTTGGTGGT
201 GAGGTAATGG CTCACCAAGG CGACGACGGG TAGCCGGCCT GAGAGGGCGA
251 CCGGCCACAC TGGGACTGAG ACACGGCCA GACTCCTACG GGAGGCAGCA
301 GTGGGAATA TTGCACAATG GGCAGAAGCC TGATGCAGCG ACGCCCGTGT
351 AGGGATGACG GCCTTCGGGT TGTAACCTC TTTCAGCAGG GAAGAACGCA
401 AAGTGACGGT ACCTGCAGAA GAAGCACCAG CTAACTACGT GCCAGCAGCC
451 GCGGTAATAC GTAGGGTGCG AGCGTTGTCC GGAATTATTG GCGTAAAGA
501 GCTTGTAGGC GGTTTGTGCG GTCTGCTGTG AAAATCCGGG GCTCAACCCC
551 GGACTTGCAG TGGGTACGGG CAGACTAGAG TGTGGTAGGG GAGACTGGAA
601 TTCCTGGTGT AGCGGTGAAA TGCGCAGATA TCAGGAGGAA CACCGATGGC
651 GAAGGCAGGT CTCTGGCCA CTACTGACGC TGAGAACGCA AAGCATGGGG
701 AGCGAACAGG ATTAGATACC CTCGGTAGTCC ATGCCGTAAA CGTTGGGAAC
751 TAGGTGTGGG TCTCATTCGA CGAGATCCGT GCCGCAGCTA ACGCATTAAG
801 TTCCCCGCCT GGGGAGTACG GCCGCAAGGC TAAAACCTAA AGGAATTGAC
851 GGGGCCCGC ACAAGCGCG GAGCATGCGG ATTAATTGCA TGCAACGCGA
901 AGAACCTTAC CAAGGCTTGA CATATACCGG AAACCTCCAG AGATGGTTGC
951 CCCTTTAGG TCGGTATACA GGTGGTGCAT GGTTGTCGTC AGCTCGTGT
1001 GTGAGATGTT GGGTTAAGTC CCGCAACGAG CGCAACCCCTC GTTCTATGTT
1051 GCCAGCACGT AATGGTGGGG ACTCATGGAA GACTGCCGG GTCAACTCGG
1101 AGGAAGGTGG GGATGACGTC AAATCATCAT GCCCCTTATG TCTTGGGCTT
1151 CACGCATGCT ACAATGGCCG GTACAAAGGG CTGCGATACC GCAAGGTGGA
1201 GCGAATCCCA AAAAACCGGT CTCAGTTCGG ATTGGGTCT GCAACTCGAC
1251 CCCATGAAGT CGGAGTCGCT AGTAATCGCA GATCAGCAAC

Microbacterium sp. P6a-W1

1 TAAACATGCA AGTCGAACGA TGAACCAGGT GCTTGCACCTT GGGGATTAGT
51 GGCGAACGGG TGAGTAACAC GTGAGCAACC TGCCCTGAC TCTGGGATAA

101 GCGCTGGAAA CGGTGTCTAA TACTGGATAC GAACAAGAAT CGCATGGTTA
151 CTTGTTGGAA AGATTTTG GTTGGGGATG GGCTCGCGC CTATCAGCTT
201 GTTGGTGAGG TAATGGCTCA CCAAGGCCTC GACGGTAGC CGGCCTGAGA
251 GGGTGACCGG CCACACTGGG ACTGAGACAC GGCCCAGACT CCTACGGGAG
301 GCAGCAGTGG GGAATATTGC ACAATGGGCC GAAGCCTGTAT GCAGCAACGC
351 CGCGTGAGGG ATGACGGCCT TCGGGTTGTA AACCTCTTT AGCAGGGAAG
401 AAGCGTGAGT GACGGTACCT GCAGAAAAAG CGCCGGCTAA CTACGTGCCA
451 GCAGCCGCGG TAATACGTAG GGCAGCAAGCG TTATCCGGAA TTATTGGGCG
501 TAAAGAGCTC GTAGGGCGTT TGTCGCGTCT GCTGTGAAAT CCCGAGGCTC
551 AACTCGGGT CTGCAGTGAGG TACGGGCAGA CTAGAGTGCG GTAGGGGAGA
601 TTGGAATTCC TGGTGTAGCG GTGGAATGCC CAGATATCAG GAGGAACACC
651 GATGGCGAAG GCAGATCTCT GGGCCGTAAC TGACGCTGAG GAGCGAAAGG
701 GTGGGGAGCA AACAGGCTTA GATACCCTGG TAGTCCACCC CGTAAACGTT
751 GGGAACTAGT TGTGGGGTCC ATTCCACGGG TTCCGTGACG CAGCTAACGC
801 ATTAAGTTCC CCGCCTGGGG AGTACGGCCG CAAGGCTAAA ACTCAAAGGA
851 ATTGACGGGG ACCCGCACAA GCGGCGGAGC ATGCGGATTA ATTGATGCA
901 ACACGAAAGAA CCTTACCAAG GCTTGACATA TACGAGAACG GGCCAGAAAT
951 GGTCAACTCT TTGGACACTC GTAAACAGGT GGTGCATGGT TGTCGTCAGC
1001 TCGTGTGTTG AGATGTTGGG TTAAGTCCCG CAACGAGCGC AACCCCTCGTT
1051 CTATGTTGCC AGCACGTTAT GGTGGGAAC CATGGGATAC TGCCGGGGTC
1101 AACTCGGAGG AAGGTGGGGTA TGACGTAAA TCATCATGCC CCTTATGTCT
1151 TGGGCTTCAC GCATGCTACA ATGGCCGGTA CAATGGGCAG CGATACCGTG
1201 AGGTGGAGCG AATCCCAAAA AGCCGGTCCC AGTCGGATT GAGGTCTGCA
1251 ACTCGACCTC ATGAAGTCGG AGTCGCTAGT AATCGCAGAT CAGCAACG

Mycobacterium sp. P5-X1

1 CGTGCTTAAC ACATGCAAGT CGAACGGAAA GGCCCTTCGG GGTACTCGAG
51 TGGCGAACGG GTGAGTAACA CGTGGGTGAT CTGCCCTGCA CTTTGGGATA
101 AGCCTGGAA ACTGGGTCTA ATACCGAATA TGACCACGCG CTTCATGGTG
151 TGTGGTGGAA AGCTTTGCG GTGTGGGATG GGCCCGCGGC CTATCAGCTT
201 GTTGGTGGGG TAATGGCTA CCAAGGCCAC GACGGGTAGC CGGCCTGAGA
251 GGGTGACCGG CCACACTGGG ACTGAGATAC GGCCCAGACT CCTACGGGAG
301 GCAGCAGTGG GGAATATTGC ACAATGGGCC CAAGCCTGTAT GCAGCGACGC
351 CGCGTGAGGG ATGACGGCCT TCGGGTTGTA AACCTCTTT AATAGGGACG
401 AAGCGCAAGT GACGGTACCT ATAGAAGAAC GACCAGCCAA CTACGTGCCA
451 GCAGCCGCGG TAATACGTAG GGTCCGAGCG TTGTCGGAA TTACTGGGCG
501 TAAAGAGCTC GTAGGTGGTT TGTCGCGTT TGCGTAAAA CTCACAGCTT
551 AACTGTGGGC GTGCAGGCAGA TACGGGCAGA CTAGAGTACT GCAGGGGAGA
601 CTGGAATTCC TGGTGTAGCG GTGGAATGCC CAGATATCAG GAGGAACACC
651 GGTGGCGAAG GCGGGTCTCT GGGCAGTAAC TGACGCTGAG GAGCGAAAGC
701 GTGGGGAGCG AACAGGATTA GATACCCTGG TAGTCCACGC CGTAAACGTT
751 GGGTACTAGG TGTGGGTTTC CTTCTTGGG ATCCGTGCCG TAGCTAACGC
801 ATTAAGTACC CCGCCTGGGG AGTACGGCCG CAAGGCTAAA ACTCAAAGGA
851 ATTGACGGGG GCCCGCACAA GCGGCGGAGC ATGCGGATTA ATTGATGCA
901 ACACGAAAGAA CCTTACCTGG GTTGACATG CACAGGACGC CGGTAGAGAT
951 ATCGGTTCCC TTGTGGCCTG TGTGCAGGTG GTGCATGGCT GTCGTCAGCT
1001 CGTGTGTTG GATGTTGGGT TAAGTCCCAG AACGAGCGCA ACCCTTGTCT
1051 CATGTTGCCA GCACGTTATG GTGGGGACTC GTGAGAGACT GCCGGGGTCA
1101 AACTCGGAGGA AGGTGGGGAT GACGTCAAGT CATCATGCC CTTATGTCCA
1151 GGGCTTCACA CATGCTACAA TGGCCGGTAC AAAGGGCTGC GATGCCGTAA
1201 GGTGGAGCGA ATCCTTCAA AGCCGGTCTC AGTCGGATC GGGGTCTGCA
1251 ACTCGACCCC GTGAAGTCGG AGTCGCTAGT AATCGCAG

Priloga A2

Nukleotidno zaporedje gena za 16S rRNA bakterijskih izolatov, ugotovljeno z začetnim oligonukleotidom fD1

Ochrobactrum sp. P4-X5

1 ACATGCAAGT CGAGCGCCCC GCAAGGGGAG CGGCAGACGG GTGAGTAACG
51 CGTGGGAACG TACCTTTGC TACGGAATAA CTCAGGGAAA CTTGTGCTAA
101 TACCGTATGT GCCCTTCGGG GGAAAGATTG ATCAGGCAAAG GATCGGCCCG
151 CGTTGGATTA GCTAGTTGGT GAGGTAAAGG CTCACCAAGG CGACGATCCA
201 TAGCTGGTCT GAGAGGATGA TCAGCCACAC TGGGACTGAG ACACGGCCCA
251 GACTCCTACG GGAGGCAGCA GTGGGGAATA TTGGACAATG GGCGCAAGCC
301 TGATCCAGCC ATGCCCGTG AGTGTGAAG GCCCTAGGGT TGTAAGCTC
351 TTTCACCGGT GAAGATAATG ACGGTAACCG GAGAAGAAC CCCGGCTAAC
401 TTCGTGCCAG CAGCCGCGGT AATACGAAGG GGGCTAGCGT TGTCGGATT
451 TACTGGCGT AAAGCGCACG TAGGCGGACT TTTAAGTCAG GGGTGAAATC
501 CCGGGGCTCA ACCCCGGAAC TGCCCTTGAT ACTGGAAGTC TTGAGTATGG
551 TAGAGGTGAG TGGATTCCG AGTGTAGAGG TGAAATTCTGT AGATATTCCGG
601 AGGAACACCA GTGGCGAAGG CGGCTCACTG GACCATTACT GACGCTGAGG
651 TGCAGAAAGCG TGGGGAGCAA ACAGGATTAG ATACCTGGT AGTCCACGCC
701 GTAAACGATG AATGTTAGCC GTTGGGGAGT TTACTCTTCG GTGGCGCAGC
751 TAACGCATTA AACATTCCGC CTGG

Stenotrophomonas sp. P4-X3

1 ACATGCAAGT CGAACGGCAG CACAGTAAGA GCTTGCTCTT ACGGGTGGCG
51 AGTGGCGGAC GGGTGAGGAA TACATCGGAA TCTACTTTT CCGTGGGGAT
101 AACGTAGGGA AACTTACGCT AATACCGCAT ACGACCTTCG GGTGAAAGCA
151 GGGGACCTTC GGGCCTTGCG CGATTGAATG AGCCGATGTC GGATTAGCTA
201 GTTGGCGGGG TAAAGGCCCA CCAAGGCGAC GATCCGTAGC TGGTCTGAGA
251 GGATGATCAG CCACACTGGA ACTGAGACAC GGTCCAGACT CCTACGGGAG
301 GCAGCAGTGG GGAATATTGG ACAATGGCG CAAGCCTGAT CCAGCCATAC
351 CGCGTGGGTG AAGAAGGCCT TCGGGTTGTA AAGCCCTTT GTTGGGAAAG
401 AAAAGCAACT GGTTAATACC CGGTTGTTCT GACGGTACCC AAAGAATAAG
451 CACCCGCTAA CTTCGTGCCA GCAGCCGCG TAATACGAAG GGTGCAAGCG
501 TTACTCGGAA TTACTGGCG TAAAGCGTGC GTAGGTGGTT GTTTAAGTCT
551 GTTGTGAAAG CCCTGGGCTC AACCTGGGAA CTGCAGTGGA AACTGGCAA
601 CTAGAGTGTG GTAGAGGGTA GCGGAATTC

Stenotrophomonas sp. P4-X6

1 ATGCAAGTCG AACGGCAGCA CAGTAAGAGC TTGCTCTTAC GGGTGGCGAG
51 TGGCGGACGG GTGAGGAATA CATCGGAATC TACTTTTCG TGGGGATAA
101 CGTAGGGAAA CTTACGCTAA TACCGCATAAC GACCTTCGGG TGAAAGCAGG
151 GGACCTTCGG GCCTTGCAGC ATTGAATGAG CCGATGTCGG ATTAGCTAGT
201 TGGCGGGGTA AAGGCCACC AAGGCGACGA TCCGTAGCTG GTCTGAGAGG
251 ATGATCAGCC ACACTGGAAC TGAGACACGG TCCAGACTCC TACGGGAGGC
301 AGCAGTGGGG AATATTGGAC AATGGGCGCA AGCCTGATCC AGCCATACCG
351 CGTGGGTGAA GAAGGCCCTC GGGTTGTAAA GCCCTTTGT TGGGAAAGAA
401 AAGCAACTGG TTAATACCCG GTTGTCTGA CGGTACCCAA AGAATAAGCA
451 CCGGCTAACT TCGTGCCAGC AGCCGCGGT AATACGAAGGG TGCAAGCGTT
501 ACTCGGAATT ACTGGGCGTA AAGCGTGCAGT AGGTGGTTGT TTAARTCTGT
551 TGTGAAAGGCC CTGGGCTCAA CCTGGGAACT GCAGTGGAAA CTGGGCAACT
601 AGAGTGTGGK AGAGGG

Stenotrophomonas sp. P6a-Z3

1 CATGCAAGTC GAACGGCAGC ACAGTAAGAG CTTGCTCTTA CGGGTGGCGA
51 GTGGCGGACG GGTGAGGAAT ACATCGGAAT CTACTTTTC GTGGGGGATA
101 ACGTAGGGAA ACTTACGCTA ATACCGCATA CGACCTTCGG GTGAAAGCAG
151 GGGACCTTCG GGCCTTGCAC GATTGAATGA GCCGATGTCG GATTAGCTAG
201 TTGGCGGGGT AAAGGCCAC CAAGGCGACG ATCCGTAGCT GGTCTGAGAG
251 GATGATCAGC CACACTGGAA CTGAGACACG GTCCAGACTC CTACGGGAGG
301 CAGCAGTGGG GAATATTGGA CAATGGCGC AAGCCTGATC CAGCCATACC
351 GCGTGGGTGA AGAAGGCCTT CGGGTTGTAA AGCCCTTTG TTGGGAAAGA
401 AAAGCAACTG GTTAATACCC GGTTGTTCTG ACGGTACCCA AAGAATAAGC
451 ACCGGCTAAC TTCGTGCCAG CAGCCGCGGT AATACGAAGG GTGCAAGCGT
501 TACTCGGAAT TACTGGCGT AAAGCGTGCG TAGGTGGTTG TTTAAGTCTG
551 TTGTGAAAGC CCTGGGCTCA ACCTGGGAAC TGCAGTGGAA ACTGGGCAAC
601 TAGAGTGTGG TAGAGGGTAG CGGAATTCCC GGTGTAGCAG TGAAATGCGT
651 AGAGATCGGG AGGAACATCC ATGGCGAAGG CAGCTACCTG GACCAACACT
701 GACACTGAGG CACGAAAGCG TGGGGAGCAA ACAGGATTAG ATACCCTG

Stenotrophomonas sp. P6a-Z4

1 ACATGCAAGT CGAACGGCAG CACAGTAAGA GCTTGCTCTT ACGGGTGGCG
51 AGTGGCGGAC GGGTGAGGAA TACATCGGAA TCTACTTTT CGTGGGGGAT
101 AACGTAGGGAA AACTTACGCT AATACCGCAT ACGACCTTCG GGTGAAAGCA
151 GGGGACCTTC GGGCCTTGCAC CGATTGAATG AGCCGATGTC GGATTAGCTA
201 GTTGGCGGGG TAAAGGCCA CCAAGGCGAC GATCCGTAGC TGGTCTGAGA
251 GGATGATCAG CCACACTGGG ACTGAGACAC GGTCCAGACT CCTACGGGAG
301 GCAGCAGTGG GGAATATTGG ACAATGGGCG CAAGCCTGAT CCAGCCATAC
351 CGCGTGGGTG AAGAAGGCCT TCGGGTTGTAA AAGCCCTTTT TTGGGAAAG
401 AAAAGCAACT GTTAAATACC CGGTTGTTCT GACGGTACCC AAAGAATAAG
451 CACCGGCTAA CTTCGTGCCA GCAGCCGCGG TAATACGAAG GGTGCAAGCG
501 TTACTCGGAAT TTACTGGCG TAAAGCGTGC GTAGGTGGTT TTTAAGTCT
551 GTTGTGAAAG CCCTGGGCTC AACCTGGGAA CTGCAGTGGAA AACTGGGCAA
601 CTAGAGTGTG GTAGAGGGTA CGGAATTCC CGGTGTAGCA GTGAAATGCG
651 TAGAGATCGG GAGGAACATC CATGGCGAAG GCAGCTACCT GGACCAACAC
701 TGACACTGAG GCACGAAAGC GTGGGGAGCA AACAGGATTAA GATACCCTGG
751 TAGTCCACGC CCTAAACGAT CGGAACCTGGA TGTTGGGTGC ACTTTGGCAC
801 GCAGTATCGA AGCTAACGCG TTAAGT

Micrococcus sp. P2-S5

1 CATGCAAGTC GAACGATGAA GCCCAGCTTG CTGGGTGGAT TAGTGGCGAA
51 CGGGTGAGTA ACACGTGAGT AACCTGCCCT TAACTCTGGG ATAAGCCTGG
101 GAAACTGGGT CTAATACCGG ATAGGAGCGT CCACCGCATG GTGGGTGGTT
151 GAAAGATTAA TCGGTTTGG ATGGACTCGC GGCCTATCAG CTTGTTGGTG
201 AGGTAATGGC TCACCAAGGC GACGACGGGT AGCCGGCCTG AGAGGGTGAC
251 CGGCCACACT GGGACTGAGA CACGGCCAG ACTCCTACGG GAGGCAGCAG
301 TGGGAAATAT TGCACAATGG CGCNAAGCCT GATGCAGCGA CGCCGCGTG
351 GGGATGACGG CCTTCGGGTT GTAAACCTCT TTCAGTAGGG AAGAAGCGAA
401 AGTGACGGTA CCTGCAGAAG AAGCACCGGC TAACTACGTG CCAGCAGCCG
451 CGGTAATACG TAGGGTGCAGA CGCTTATCCG GAATTATTGG GCGTAAAGAG
501 CTCGTAGGCG GTTTGTCGCG TCTGTCGTGA AAGTCCGGGG CTTAACCCCCG
551 GATCTGCGGT GGGTACGGGC AGACTAGAGT GCAGTAGGG AGACTGGAAT
601 TCCTGGGTGA CGGGTGGAAAT CGCAGATAT CAGGAGGAAC ACCGATGGCG
651 AAGGCAGGTC TCTGGGTGT AACTGACGCT GAGGAGCGAA AGCATGGGAA
701 CGCAACAGGA TTAGATAACCC TGGTAGTCCA TGCCGTAAAC GTTGGGCACT

751 AGGTGTGGGG ACCATTCCAC GGTTCCGCG CCGCAGCTAA CGCATTAAGT
801 GCCCCGCCTG G

Brevibacterium sp. P3-Z2

1 CATGCAAGTC GAACGCTGAA GCCGACAGCT TGCTGTTGGT GGATGAGTGG
51 CGAACGGGTG AGTAACACGT GAGTAACCTG CCCCTGATTT CGGGATAAGC
101 CTGGGAAACT GGGTCTAATA CCGGATACGA CCAATCCTTG CATGAGGGTT
151 GGTGGAAAGT TTTTCGATCG GGGATGGGCT CGCGGCCTAT CAGCTTGTG
201 GTGGGTAAT GGCCTACCAA GGCACGACG GGTAGCCGGC CTGAGAGGGC
251 GACCGGCCAC ACTGGGACTG AGACACGGCC CAGACTCCTA CGGGAGGCAG
301 CAGTGGGAA TATTGCACAA TGGGGAAAC CCTGATGCAG CGACGCAGCG
351 TGCGGGATGA CGGCCTTCGG GTTGTAAACC GCTTCAGCA GGGAAAGAAGC
401 GAAAGTGACG GTACCTGCAG AAGAAGTACC GGCTAACTAC GTGCCAGCAG
451 CCGCGGTAAT ACGTAGGGTA CGAGCGTTGT CCGGAATTAT TGGGCGTAAA
501 GAGCTCGTAG GTGGTTGGTC ACGTCTGCTG TGGAAACGCA ACGCTTAACG
551 TTGCGCGTGC AGTGGGTACG GGCTGACTAG AGTGCAGTAG GGGAGTCTGG
601 ATTCTCTGGT GTAGCGGTGA AATGCGCAGA TATCAGGAGG AACACCGGTG
651 GCGAAGGCAGG GACTCTGGGC TGTAACTGAC ACTGAGGAGC GAAAGCATGG
701 GGAGCGAACAA GGATTAGATA CCCTGGTAGT CCATGCCGTA AACGTTGGGC
751 ACTAGGTGTG GGGGACATTC CACGTTCTCC GCGCCGTA

Microbacterium sp. P4-S3

1 CATGCAAGTC GAACGGTGAA GCAGGAGCTT GCTCTTGTGG ATCAGTGGCG
51 AACGGGTGAG TAACACGTGA GCAACCTGCC CCGGACTCTG GGATAAGCGC
101 TGGAAACGGC GTCTAATACT GGATACGAGT AGCGACCGCA TGGTCAGCTA
151 TTGGAAAGAA TTTCGGTCTG GGATGGGCTC CGCGGCCTAT AGCTTGTGG
201 TGAGGTAATG GCTCACCAAG GCGTCGACGG GTAGCCGGCC TGAGAGGGTG
251 ACCGGCCACA CTGGGACTGA GACACGGCC AGACTCCTAC GGGAGGCAGC
301 AGTGGGAAAT ATTGCACAAT GGGCGAAAGC CTGATGCAGC AACGCCGCGT
351 GAGGGATGAC GGCCTTCGGG TTGTAAACCT CTTTTAGTAG GGAAGAAGCG
401 AAAGTGACGG TACCTGCAGA AAAAGCGCCG GCTAACTACG TGCCAGCAGC
451 CGCGGTAATA CGTAGGGCAG AAGCGTTATC CGGAATTATT GGGCGTAAAG
501 AGCTCGTAGG CGGTTTGTCTG CGTCTGCTGT GAAATCTGGG GGCTCAACCC
551 CCAGCCTGCA GTGGGTACGG GCAGACTAGA GTGCGGTAGG GGAGATTGGA
601 ATTCTCTGGT TAGCGGTGGA ATGCGCAGAT ATCAGGAGGA ACACCGATGG
651 CGAAGGCAGA TCTCTGGGCC GTAACTGACCG CTGAGGAGCG AAAGGGTGGG
701 GAGCAAACAG GCTTAGATAC CCTGGTAGTC CACCCCGTAA ACGTTGGGAA
751 CTAGTTGTGG GGTCCATTCC ACGGATTCCG TGACGCAGCT AACGCATTAA
801 GTTCCCCGCC TGGGGAGTAC GGCGCAAGG CTAAACTCA AAGGAATTGA
851 CGGGGAC

Microbacterium sp. P3-Z5

1 CATGCAAGTC GAACGATGAA CCAGGTGCTT GCACCTGGGG ATTAGTGGCG
51 AACGGGTGAG TAACACGTGA GCAACCTGCC CCTGACTCTG GGATAAGCGC
101 TGGAAACGGT GTCTAATACT GGATACGAAC AAGAATCGCA TGGTTACTTG
151 TTGGAAAGAT TTTTGTTTG GGGATGGGCT CGCGGCCTAT CAGCTTGTG
201 GTGAGGTAAT GGCTCACCAA GGCACGACGG GGTAGCCGGC CTGAGAGGGT
251 GACCGGCCAC ACTGGGACTG AGACACGGCC CAGACTCCTA CGGGAGGCAG
301 CAGTGGGAA TATTGCACAA TGGGCGGAAG CCTGATGCAG CAACGCCGCG
351 TGAGGGATGA CGGCCTTCGG GTTGTAAACC TCTTTAGCA GGGAAAGAAGC
401 GAGAGTGACG GTACCTGCAG AAAAAGCGCC GGCTAACTAC GTGCCAGCAG
451 CGCGGTAAT ACGTAGGGCG CAAGCGTTAT CCGGAATTAT TGGGCGTAAA
501 GAGCTCGTAG GCGGTTTGTC CGCTCTGCTG TGAAATCCCG AGGCTCAACT

551 TCGGGTCTGC AGTGGGTACG GGCAGACTAG AGTGCCTGAG GGGAGATTGG
601 AATTCTGGT GTAGCGGTGG AATGCGCAGA TATCAGGAGG AACACCGATG
651 GCGAAGGCAG ATCTCTGGC CGTAACTGAC GCTGAGGAGC GAAAGGGTGG
701 GGAGCAAACA GGCTTAGATA CCCTGGTAGT CCACCCCGTA AACGTTGGGA
751 ACTAGTTGTG GGGTCCATT CACGGATTCC GTGACGCAGC TAACGCATTA
801 AGTTCC

Microbacterium sp. P3-Z6

1 CATGCAAGTC GAACGATGAA CCCGGGGCTT GCTCTGGGG ATTAGTGGCG
51 AACGGGTGAG TAACACGTGA GCAACCTGCC CCTGACTCTG GGATAAGCGC
101 TGGAAACGGC GTCTAATACT GGATACGAGT AGTGATCGCA TGGTCAGCTA
151 CTGGAAAGAT TTTTGGTTG GGGATGGGCT CGCGGCCTAT CAGCTTGTG
201 GTGAGGTAAT GGCTCACCAA GGCCTCGACG GGTAGCCGGC CTGAGAGGGT
251 GACCAGGCCAC ACTGGGACTG AGACACGGCC CAGACTCCTA CGGGAGGCAG
301 CAGTGGGAA TATTGCACAA TGGGCGGAAG CCTGATGCAG CAACGCCGCG
351 TGAGGGATGA CGGCCTTCGG GTTGTAAACC TCTTTAGCA GGGAAAGAAC
401 GAAAGTGACG GTACCTGCAG AAAAAGCGCC GGCTAACTAC GTGCCAGCAG
451 CCGCGGTAAT ACGTAGGGCG CAAGCGTTAT CGGAAATTAT TGGGCGTAAA
501 GAGCTCGTAG GCGGTTGTC GCGTCTGCTG TGAAATCCCG AGGCTCAACC
551 TCGGGCCTGC AGTGGGTACG GGCAGACTAG AGTGCCTGAG GGGAGATTGG
601 AATTCTGGT GTAGCGGTGG AA

Priloga B
Nukleotidno zaporedje 11,3 kbp dolgega fragmenta *PstI* v klonu pHEM

```

1   CTGGCGCTG  CTGCCTGCCG  GTTGCAGCAG  GCGCTGTCTC  GCACGTTGCA
51  AGGTGGCGC  AAATCGCTCG  CGGCTGAAGG  GCTTGACCAG  GTAATCCACC
101 GCGTTGGCCT  CGAACGCCCT  CACCGCGTGC  TGTCGTAAG  CCGTCACGAA
151 GACGGTGGCC  GGCATGCCTT  CTGCGCCAAT  CGTCGCCACC  ACGTCCAGCC
201 CGGTGATCGC  GGGCATCTGG  ATGTCCAGGA  ACACCAGGT  CGGGGATTGT
251 TCGCGAATGG  CTCTCACTGC  CGAAAACGCCA  TCGCCGCATT  CGCCGATCAG
301 CGCCAGCGCC  GGATCTTCGG  CGAGCAGCCG  TACGATCGCC  CGTCGGGCGA
351 TCGGCTCATC  GTCCACCACC  AGTACCGTGA  TGCTCACGCC  TGCGCGACTC
401 CGGCACTGAA  TTATGGTCG  TCGTCGATGG  GGGCGAGCTC  GCGGAACGGC
451 AGCCGCACGC  GGCACGCCAC  GCCTCGGGC  CAGAGCATAT  CCAGGCGTAC
501 GTCGCGGCC  TCGCGTACA  GTTCCTTCAG  CCGCAGACGG  GTGTTGGACA
551 TGCCGATGCC  GTGGCCCTTC  GGCGCAGCGG  GGCGGGGTT  CAGCGTGCTG
601 TTGCGGTTGC  GGACTTCGAT  GCACAGCGT  TCGCCGTCAC  GGCGGGTCTC
651 GATTCCACC  ACGTCCCCGC  CGACGCGCTG  GCCGATGCCA  TGGCGCAGCG
701 CGTTTCCAC  CAGCGGCTGC  AGCAGCTGTT  TGACCTCGGT  CTGGAAGCCC
751 AGGGTCTCTT  TGTGGGTCTG  CTCGGTCATG  CGACGGTACT  CCTTGACTAC
801 GGTGGCGCGC  GGTGCGCGGC  GGCTGGCTCA  AGGGGTAGGG  ATCGATTGTC
851 CCGATTTCAA  GGCGCGCGGC  TTTCAATTTC  TACGTACTGG  GGAGGCCGCC
901 GGGCAGCCCC  GCTCCGGGAC  ACGCCGGGTC  CGGAATGAAA  GGCAACGCCG
951 GTAGCGCCGG  CCGTTGGCCG  GCCCTCATGA  GTCTGCGCG  GCGCGGTATC
1001 CTTCACACAT  GAAAGCGCGT  TCTTCTGCCT  CACCTACTAT  CGGCCAGGTC
1051 CGCATCATCG  GCGGCAAATG  GCGCAACACC  AAGCTGCCGG  TACCGCTGGC
1101 GCCCGGCCTG  CGGCCAGCA  GCGACAGGGT  CCGCGAGACC  CTGTTCAACT
1151 GGCTGATGCC  GCGCCTGGGC  GGGGCCCGGG  TGCTGGACCT  GTTCGCCGGC
1201 AGCGGAGCGC  TGGGGCTGG  GGCCATTTCG  CGCGCGCGCC  CCCACGCCAC
1251 CCTGGTCGAG  CGCGACCGCG  CGCTGGCCCG  GCAGTTGCGG  GAGTCGGTGG
1301 CCAAGCTGGG  CGCGCAGGCG  CAGGTCGAGG  TGGTCCAGGC  CGATGCGCTG
1351 CACTGGCTGG  GCCAGCGCCC  GTCTGGGCTG  GCCGACATCG  CCTTCGTCGA
1401 TCCCCCTTC  GCCGACGGGC  TCTGGGAGGC  GGTGCTGGCC  GGGCTGGGGC
1451 CGCACCTGGC  CGCCGATGCC  TGGCTGTACC  TGGAGTCGCC  GGCGGGGAG
1501 ACCCTGCGGC  TGCCGCCGGG  CTGGCTGCTG  CACCGGGAGG  GCGGCACCCG
1551 CGAGGTCGGC  TTTGCCCTGT  ACCGGCGCGC  CACTGCTACA  CTTTCACCAG
1601 ATCAGAACGC  GTAGCTTCCG  CATGACCGTA  GCCAACCGCC  GCATGCCCGT
1651 ATACCCGGGC  ACCTTCGATC  CGATCACCAA  CGGTACATC  GACCTGGTGA
1701 ACCGGGCCGC  GCGTTGTTC  GAGAAGCTGG  TGGTTGGCGT  GGCAGAGAGC
1751 CCTTCGAAGG  GCCCCCTCGCT  GCCGCTGGAG  CTGCGGGTGT  CGCTGGCGCG
1801 GGACCGCGCTG  GCCCCACACC  GCAATGTGGA  AGTACCGGGC  TTCGACACCC
1851 TGCTGGCACA  CTTCGTGCGC  TCGGAGCAGG  GGGGGGTGTT  GCTGCGCGGG
1901 CTGCGCGCG  TGTCCGATTT  TGAATATGAA  TTCCAGATGG  CGAGCATGAA
1951 CCGCCACCTG  ATTCCGGAGG  TCGAGACCCCT  GTTCCCTGACC  CCGGCCGAGC
2001 AGCACAGCTT  CATTTCGTCC  TCGCTGGTCC  GCGAGATCGC  CCGCCTTGGT
2051 GGTGACGTGT  CCGGCTTCGT  GCCGGCCTCG  GTGCTCGAGG  CGCTGCGCAA
2101 GGTCCGCGAA  GCGAAGTCGG  GCCCGTCGTA  AACCCAAGAC  CCACACATAC
2151 CAAGAACATC  CAAGAGGGAG  ACTCCATGAA  CAACACCATG  CGTGCCTATGT
2201 TGATCGCGTC  GTTCGCGCTG  GCCTTCACCG  CCTGCAAGAA  GGAAGAAGCC
2251 GCGCCGGTCG  CCGAAGGCCA  GCAGGCGCTC  GTCGCCCCGG  CCAAGGACGA
2301 CGATGCGGGC  TGGAAAAAGT  ACCTGCAGCG  CTACACCGTG  TACCCCAAGA
2351 CCCACTACGC  CACCACCGCG  GAGCGGGTGC  TGTCGGCGGT  GGATACGATC
2401 AAGGCCGAGC  TCAAGGTGCG  GCTGGAACAG  CTGTACGAGC  AGAACAAAGCT
2451 GGTGGAAGCG  CAGCGCTGG  CGCAGCGCAC  CCAGTTGAC  CTGGAATGAA
2501 TGGCCGAGGT  CGGCTCTGC  AACGGCATCG  AAAACTACTC  GCGGCATCTC
2551 ACTGGTAAAG  CCGCCGGCGA  GCCGCCGCCCG  ACCCTGTTG  ACTACCTGCC
2601 GCCGGATGCG  CTGCTGGTGA  TCGACGAATC  GCACGTGACC  ATTCCGAGA
2651 TCGCGGCCAT  GTACAAGGGT  GACCGCTCGC  GCAAGGAAAC  CCTGGTCGAG

```

2701 TTCGGCTTCC GGCTGCCCTC GGCCTGGAC AACCGCCCGC TGCGCTTCGA
 2751 GGAATGGAA GCGCGCTGCC CGCGCAGCAT CTACGTGTCC GCCACGCCGG
 2801 GGCGTATGA GCTGCGCGAA CGCGCCGATG AAATCACCGA GCTGGTGGTG
 2851 CGCCCGACCG GCCTGATCGA CCCGGTGGTG GAGATCCGTC CGGTGGGTAC
 2901 GCAGGTCGAC GACCTGATGA GCGAGGTCAA CGAACGCATC AAGCTGGCG
 2951 ACCCGTGTCT GGTCACCACG TTGACCAAGC GCATGCCGA AACACTCACC
 3001 GAGTACCTCA CCGAACACGG CATCCGCGTG CGCTACCTGC ATTGGATAT
 3051 CGACACCGTC GAGCGCGTGG AGATCATCCG TGACCTGCGC CTGGGCAAGT
 3101 TCGACGTGCT GGTGGGCATC AACCTGCTGC GCGAAGGCCT GGACATGCC
 3151 GAAGTGTGCG TGGTAGCGAT CCTGGACGCG GACAAGGAAG GCTTCCTGCG
 3201 TTCGACTGGT TCGCTGATCC AGACCACCGG TCGTGCCGCA CGAACACTGC
 3251 GTGGCAAGGC GATCCTGTAT CGGGACAAGA TCACCCGCTC GATGCAGGCG
 3301 GCGATCGATG AAACCGACCG CCGCCGTGCC AAGCAGGTGG AATACAACCA
 3351 AGCGCACGGG ATCGTCCCCA AGTCGGTGCT GCGCCCGATC GTGGACGTGC
 3401 TGGAAAGGCACG ACGTTCGGAA CGGGCCGAAA AGGAAGCGCG TGGCAAGGGC
 3451 AAGGGCCGCG CGGGCCCGT CGCCGAGGAA CGGGTGGATT ACCGCACGCT
 3501 GGAACCGGCA CAGATGCCA AGCGATTGCA GGCCTGGAA CAGCAGATGT
 3551 ACCACGACGC CCGTGACCTG GAGTCGAAG ATGCCGCCG CGTGCACGAC
 3601 CAGATCCGCC GGTTGAAGGA GGCCAGCCTG GGCTGAACAA CGCGTTGTGA
 3651 AATAACCTCA CAAAAGTGT GCTCTTCACA CCCGACGTCC GTAATATAACG
 3701 CGGCCTGCC CGCGCAATT GTGGCGCGC AGCGAGAAAA ACGGGCGGTT
 3751 AGCTCAGCGG TAGAGCACTA CCTTGACATG TAGGGGTCA CAGGTTCGAA
 3801 CCCTGTACCG CCCACCACTC CAGTCCCAGC GACTGCCGTG GAACAACAGA
 3851 AAAGCCGGCC ATCAGGTGCG CTTTTTGCG TTGTGGATT CGCCCAGCGG
 3901 CGCTTCCGA CAACACACTC CGCGCACGCC TGATGGCGAC CTTGGCGCCG
 3951 CGGGCCAAAC ATGCAGGGTTC CAGCACGTGG TGCCCTGCAT GTCGTTCTG
 4001 TCGAACTTCC TCTCCCGTTC GTTTCCGTG TCCCTGCCCG TGTGCGGCAA
 4051 GGCATGTGCG GCCGCGTTGC TGGTGGGGGT GTGCGCCGTG GTGTTCGCAC
 4101 CGGTGCTGCT TGCCCCGGTTG CCTGCATGGT GCGCACTGGT CTGTGGGGCG
 4151 GGGGTGTGGT CGGGATGGCC CGCCGCGCGA TGGTTCGCG CATTGTTGAC
 4201 CGGCATGGGC TGGGTGACCC TGCATGCGCA TGCGGGTCTG GCCCTGCAGC
 4251 GGCCTGGTGA CCTACGTCTA CGGGAAATG CTGGACCTGA AGCTGCCGCG
 4301 TACCTCGCGC GACCTGGCGG CGGTACAGGG CCCGAAGATC GATCCGAAGC
 4351 GGCTGGCGCC GGGCGACCTG GTGTTCTTCG GCAACCGCGG CAACGTTTC
 4401 CACGTGGCA TCTATGTGGG CGAAGGGCGC TTCGTGCATG CCCCAGAC
 4451 CGGCGAACG GTCCGCTGG ATTGCTCGG CGGCAGCTAC TGGAAAGGAGC
 4501 ACTACACGGG CGCGAAACGT GTTCTTCACT GAAATGAACA GGCGGAAGGT
 4551 CCATAAAATGA GACATTACAT ACATTTACAT TAACCAATAT TTAACGAAAT
 4601 TTGTACCAAA TCACACGTAT TACACGGCAT CATCACCCAT CGTTTTTT
 4651 CAGTGACCGC CGCGTGACGA CAGCCGACCT GACGTGCCAA GGCCAGACCG
 4701 CCACCTTCCG CGCGACCGCC CGCCCCGCTC TTCTCGCTT CGCCCTCTGC
 4751 GTGCCAGCC TTCCGGCTG GGCGCAGACG GCACCGACGC CCCTCGTCGA
 4801 TACTGCTCCG GTTGCCACCG TCGCCGCTGT CGAGACCCCT GCCGCCGCCA
 4851 AGGCCGAGGC GCCGGCCCGC AGCAAGGCCG ATGCCGCTGC CAGCGCCACC
 4901 CTCGCCGCC TGCTTCCGCA CCTGGCAGCG AACGACTCGA TTCCGCTCAT
 4951 GGACCGTTCG GCGATGTTCG CCGCGATCT GAGCCGCTG CTGGCCAAC
 5001 ACGATGCAAG CTCCGGCGCC AACGGTTCGG TGGTTGGCGG CGCTGCCGAC
 5051 AACGGCAAGG TGCAGTCGCT GCTGCCGGT GCGATGACCC TGCTGGGCAC
 5101 CCCGTACCGC TGGGGCGGTA CCTCGCCGGA CAGCGGTTTC GACTGCAGGT
 5151 CAGCCGCCAG GATTACCGCC AGCGCGCGT GGTGCCTAC ATCGATACCG
 5201 AACAGGACAA CCAGGCCACG GCCTGGCAAC GTTCCCTGGC CAGCGGCCCG
 5251 TTGGCGGTGC TGCCCCGCCGG CGCGCGACGC AGCTCCATCG TATGGACGCT
 5301 GCCCGATGCC GAGGCCGAGC CGGTGCTGGC GCTGGACGAA GCCACCTCA
 5351 ACGCCGAGCT GACCCGCGCC TTCGGCGCCCG GGTTGGGTGC GATGACGCTT
 5401 GCTTCGCGTC CGGCCGCCCTT CCCGCTGCCGT CGTCAACTGG TCAGTGCCTA
 5451 CGTGGCCGGC CGTGTGCTGG CGCTGGCGA CGCGGCCGAT GTGGTGCACC
 5501 CCTTGGCCGG GCAGGGCGTG AACCTGGGCC TGCGCGACGT GGCGGCCGCTG
 5551 CATGCCCTGG TGCTGCCGCG ACAGCAGCGG CGGCAGGACT GGGCCTCGCC

5601 CGATCGCCTG CAGCTGAAGC AGCATGACGA GCTGGAGGTC CAGGACATCA
 5651 ATGCGCAGGG CGTGTCCGGG CAGGGTCCCT CGGGTGCAGT GCCCAAGGAC
 5701 ATGAGTATT CCCAGCTCAA TGAAGCCACC TTGCGCAAGC AGCTGGCCA
 5751 GCAGCTGAAC GACGATGCC TGAACAACCG CTACAGGCAC CTGATCCTGA
 5801 TCGCCGACCC GAAAACGCTC GGCCATATCC GTCCGCAGCT GCACAAGGAA
 5851 GTCGAGACGC GCCTGCTGAA GGACATGCC AAAGACTTCA CCAATGCCAC
 5901 GCTGGAAGAT ATCCAGCGTG CCCTGGCAGC CTGAGGCCATG GCATACGCGC
 5951 GCACCTTAC CCAGTTCCG GAGCCGACCC GCGCCGAGGT GGAAGCCGGC
 6001 GCGGGCTGGC AGCTGCTGGA ATTGGCACCG GACTGGTGC GGCATTGCGT
 6051 TGCCGCGCAG CGGGTGGTCA AGGGCTTCGT TGAGGGCCAC GACCTTGACC
 6101 ACCGCAAGGT CGAGGACGGC AAGGGGCGCC CGCTGGGCG CGCCTTCGAG
 6151 GTCAAGCTCT GGCGCACCT GGTCTGCTG CGCGATGGC AGGAGGTGGC
 6201 GCGGGTGGTA CGCCCGACCG CAACCGACGA TCTTGGCCCG CTCGAAAGCG
 6251 CGCTGACGTA GATGAATATC CCTTAATTCC CAATTAAACC AAAAAGGGTA
 6301 TAGTGGCCAC ATCCCTCCGC TGGATGTCCG TCATGAGCCT GCCCCTGGAT
 6351 GTTCCCGGCC TGGAAAAGGC CACTGCGTCA TCGGTGAAGA CCCGTGGCTG
 6401 GCCGAGCCTG ATGCGCACCG TGCGCGAGAA GCAGGCAC TGATCACCA
 6451 ACCACAAACCA CCCTGAAGCG GTGATCGTGG ACATCAAGGC CTACCAGGAA
 6501 CTGCTGGCCC GCGCCGCCGG CAACCCCGAT GACACCCGCC AAGGGGAGCT
 6551 GGACCGCCTT CGCGCGGAGT TCGATACCAC CTTGGCCAGT CTGAAGGGTG
 6601 ACGGGGGCCT GGGCAGGGTG TTGGGCCAGC CGATCCGTG CGGGCGCAAA
 6651 ACCGCCCTTG GCGCGTCGCT CTGATCGGTG GCGCGGATAC TGGTACTGGC
 6701 CGGCGTCAAT GGCGCCGGTA AAAGCTCGCT GCTGGGTACC TGGCTGCCG
 6751 AGGCCGGGCT GACCTGGTTC AACCCGGACA GCTTCACCCG GCGCCTGGCG
 6801 GAGCAGGGCT GGCGCTGGA TGAGGCCAAC GCGGCCGGCAT GGAGCGAGGG
 6851 CGCGCGGCCG CTGCGCCAGG CGATGAGCGA TGGCACCGAT TTCGCGTTCG
 6901 AAACCACGCT CGCGGGCAAC ACCATTCCAC GCCTGCTGCG CGATGCCTGC
 6951 CGCACCCACG ACGTGGCGAT ATGGTTCTGT GGCCTGCACA GCGTGGCGCT
 7001 GCACATCGAA CGCGTGGCGG ATCGGGTCAG CCAGGGCGGT CACGATATCC
 7051 CGCACGACAA GATCCCGCGC CGTTTCGATT CCGCGCGTGA GAATCTGATC
 7101 GCACTGCTGC CACATCTTGC CGAGTTGCAT GTGTACGACA ACAGCGCACC
 7151 GGCGATGCA AAGGGCAGGG CGGCACCGCT GCCGCTGCTG CAGCTTGACC
 7201 GCGAGGGATT GCACTTCCCG GTGACCGTGA TCGATCTGCT GCAGACGCCG
 7251 GACTGGGCCA AGCCGATCGT CATGCGTGCA ATGGAGTTGC ACGCAAGAAC
 7301 GTAACGCGAC CCCCTGAAAA ACGCCTTGAA ACAAGGTGTT TCATCGACAT
 7351 GTGAAGAATC GATAGAGGTC GCATGCACAC ATTGTGGTAA CATGGTCGCC
 7401 TGATCATTGC CTCGGGCCAT TGCCCGTCTC TCGGTCTCATCC TTCCCTGCAGC
 7451 GCCGTGGTGT ACCTCGCGC CGTCCGGGAA CGCCTGTTGC TCCCCCTCTTC
 7501 GCGCATCGT CCGCGTTCTT CCGGAGGCCG TGTTTCCTG TGCCTGCCG
 7551 GGGACCTCGG GTGTGTTGAT GGCCTGCTT CCAGGAGAAA GCAGATGCAG
 7601 GAACTGCATG CCGCACACGC CCATTTCGGG TGGTTCAAGC GCGCCGCCA
 7651 GATGAACGTC GACGAAGTCA CCGTGGTCGA CCGCCCCATG CTCAAGAAC
 7701 CCGTCGGTGC CGCCCGCCTT GGCAACGCGA TGGAATGGTT CGATTCGGC
 7751 GTCTACGGCT ATCTCGCGGT CACCCCTGGC CAGGTGTTCT TTCCCGCCAG
 7801 CAGCCCGACC GCGCAGCTGA TCGCCACCTT TGCCACGTT ACCGTGGCGT
 7851 TCCTGGTGC CCGCGCTGGC GGGCTGGTGT TCGGCCCCGCT GGGTGACCGC
 7901 TACGGCCGCC AGAAAGTGC GGCCTTCACC ATGATCCTGA TGGCGCTGGG
 7951 CACCTTCAGC ATTGGCTGA TTCCGTCTA CGGCAGCATE GGCATGTGGG
 8001 CACCGGCATT GCTGCTGCTC GCACGGCTCG TGCAGGGCTT CTCCACCGGC
 8051 GGCGAATACG GTGGGGCGGC GACCTTCATC GCCGAATATT CCACCGACCG
 8101 CAACCGCGGC CTGATGGCA GCTGGCTGA ATTTCGGCACG CTGGCGGGTT
 8151 ACATCGCCGG TGCGCCACC GTGACCGTGC TGCACATGGC ACTGAGCAGC
 8201 ACGCAGATGC TGGACTGGGG CTGGCGCTG CCGTTCTGA TCGCCGGCCC
 8251 GCTGGGGCTG CTTGGCTGT ACATGCGCAT GAAGCTGGAA GAAACCCGG
 8301 CCTTCCGCCG CTACGCAGAA GAGGCCGACA AGCGCGACCA CGAGCGCCCG
 8351 GGCGCTGGCG CGTTGCTGCG CGTGCATTGG CCGCAGCTGC TCAAGTGCCTG
 8401 GGCGCTGGTG CTGGTGTCA ACGTCACCGA TTACATGCTG CTGACCTACA
 8451 TGCCCGACTA CCTCAGCGTG ACCATGGCT ATGCGGAGAG CAAGGGCCTG

8501 CTGCTGATCA TCATCGTGAT GCTGGTGATG ATGCCGCTCA ACGTGGTGGG
 8551 CGGGCTGTTG AGTGACCGGC TGGGGCGCCG GCCGATGATC ATCGGTGCGT
 8601 GCATCGCGCT GTTCGCGCTG GCCATTCCGT GCCTGCTGCT GTTGGCAGC
 8651 GGTGATGACG GGTTGATCTT CCTGGGCCTG ATGCTGCTCG GCCTGGCGCT
 8701 GGTGTGTTTC ACCAGCTCGA TGCCCTCAC GCTGCCGGCG CTGTTCTATA
 8751 CCCCGGTACG CTACAGCGCG TTGTCGATTG CCTTCAATGT GTCGGTCTCA
 8801 CTGTTCGGCG GCACCACACC GCTGATCACC GCCTGGCTGG TCGAGCGCAC
 8851 CGGGGACCCA CTGGTGCCGG CGTATTACCT GATGGGCGCG GCGGTGATCG
 8901 GCCTGGTCAC CATGCTGTTG GTCAATGAAA CCGCCAACCT GCCGCTGCGC
 8951 GGCTCGCCGC CGGCCGTGGC CAGCGAAGCC GAAGCCCACG CGCTGCTGCG
 9001 CAGCGACGAA CCGGTACCCG TGGACGCCAC CCAGCCCACG CTCCCGGAGG
 9051 TGGCCGTCCC AAGCGAAGCA AGGCCGGCGT AACGCCACGC ACTACGAGGC
 9101 AACCCCGAAA TCCAACCGAA GCCGCTACCC GGGCTATCCC CATGCCAAC
 9151 GCCACGTAAC GGTGACGTAG TGCCACGCC TGCGTGGCAA CCCCAGCCAA
 9201 CCCACCCCGA GCAAAAACCC CGCGCCGCAA CATGCGACAC AGCCCCCACC
 9251 AATGCTAGGA TCGATCAACC TTGAATCGAT CTAAATTCAT ATGAGCAGAG
 9301 CGGGGAAGTC GGGATGGCG GCGCTGGCAA TCGGCCCAT GCTTGCAGCA
 9351 GGGGGGGCAA CAGCAGCCCC GCAGAGCGCA GGCGAACCGCG CCTACGCCGC
 9401 GGTGGACCCG TTCATCGGCA CCGGCGCGA AGGGCATACC TATCCCGGCG
 9451 CAACGGTGCCT GTTCGGCATG GTCCAGCTCA GCCCGGATAC GCGCATCCAG
 9501 CCGCGCGAAA AGGCCTACGA CTGGGCCGCG GGCTACCGCT ATGACGACAG
 9551 CAGCATCGTC GGCTTCTCGC ATACCCACTT CTCCGGCAGC GGCCACTCCG
 9601 ATCTGGCGA TGTGCTGGTG ATGCCCTTCA CCGGCGATCC CGGGCTGGAA
 9651 CGCGCGGACCC CGGAGAAGCC GCGCAGCGGC TACGCCCTCGC GCTTGCACCA
 9701 CAAGGACGAA CAAGCGGAGC CCGGCTACTA CGCAGTGACC CTGCAGGACT
 9751 ACAAGGTCCG CGCCGAGCTG ACCGCCAGCG CCCGTACCGG CGTGCACCGT
 9801 TATACGTATC CGAAGGGCGA GTCGGCCAAG CTGCTGCTCG ACCTGCGCAC
 9851 CAGCCTGTAC GACTACCCCG GCAAGATCCT GTGGTCACGC CTGCGCCTGC
 9901 GCGACGACGG CACGGTGACC GGCTTCCCG AAACCCCGGG CTGGGCCCCG
 9951 GGCCGGCAGC TGTACTTCGC CATCGTTTC TCGCGCCCAC TCACCGGGCA
 10001 CGCGCTGCAC AACACCGAAA CCGACATCGC CTACAAGGGC TTCCCGCCGC
 10051 CGGGCCAGAA CAACCCGGAG CAGCGCCCGC AGATCGAAGG CCGCCAGCTG
 10101 GTCGGCACGT TCGATTCGG CAAACTCGAC GCGCCGCTGG TGGTGAGCGT
 10151 GGCGATCTCC TCGGTGAGCG AAGCCGGCGC CATGCCAAC CTCGACGCCG
 10201 AGGCCAGGGA CCAGGACTTC GACCGCATCC GCGCCGACGC GCGTACGCAA
 10251 TGGCAGCAGG CGTTGTCGGT GCTCGATATC GACGCCCGG CGCATGACCG
 10301 GCGCAGCGCC TACACCGCGC TGTACCACAG CCTGCTCGGC CCGACCCCTGT
 10351 TCATGGACGT GGACGGCCAG TACCGTGGTT CGGACAACGC CGTGCACCGC
 10401 GCCGAGGGCT ACACCAACTA TTGACCTTC TCGCTGTGGG ATACCTACCG
 10451 CGCGCTGCAC CCGCTGCTGA CCCTGGTGCA GCCGGAAAAG CGCACCGAGCG
 10501 ACATGGTCAA TTGCGTCTGC GCCCACCAGC ACAACAGCGC CTACGGCATG
 10551 CTGCCGGTAT GGGCGTTCCA TGGCCAGGAA ACCTGGTGCA TGATCGGTTA
 10601 CCACCGGGT CGGGTGATCG CCGATGCCTA CGTCAAGGGC ATCCCGGGTT
 10651 TCGATGCCGA CAAGGCGCTG CAGTCGATG GCCGATTCGA AGGTGTTGGC
 10701 GAAATCGCCA CCCACCGCCA GGTCAATTGG CGCCACCCCG TCGATCACCA
 10751 CCGCACGGGT GTGCTGCCGG AAGCGCGCG CGTACTGCTG GGCCACGCCG
 10801 GTACCGTAGG AACCGCCGAC CAGGTTGATC TTGTCACCGC CCAGCGCAGC
 10851 ACGCACCGCG TCCAGGTAC CAATGGCCTC GGTGGTGGTG TAGAAGCGGG
 10901 TGTGGCACG GTCCACCGAC GCGCGGGCGC AGCGCGTGGC GAACTCGGCG
 10951 ATCACCTCGG GCGTGGCCGC TCGTTCTCG TCGAACGCCA GTTCCTTACC
 11001 GTCGGCATCC ACGCAGCTGA GCGGGTTGGA TTTGCCGGTG CCGCGCTGGT
 11051 CCACCAGGAT GATGTCGCGC TTCTTGCAC CCTCGCGCAG CGACTGGTTG
 11101 ATGATGGCCG CCACCTCCGT GGCGCACTGG CCCGGGCCAC CGGCCAGGAA
 11151 GAACACCGGG TCCTGCTTGC CCTCGCCTTC GTTGGCGGTA TCCAGCCAGG
 11201 CGATGTTGAG CCCGATCTTT CGACCCCTCCG CGCGCATCGG

Priloga C

Plazmidni vektor pUC19 (vir Human Molecular Genetics, 1999)

